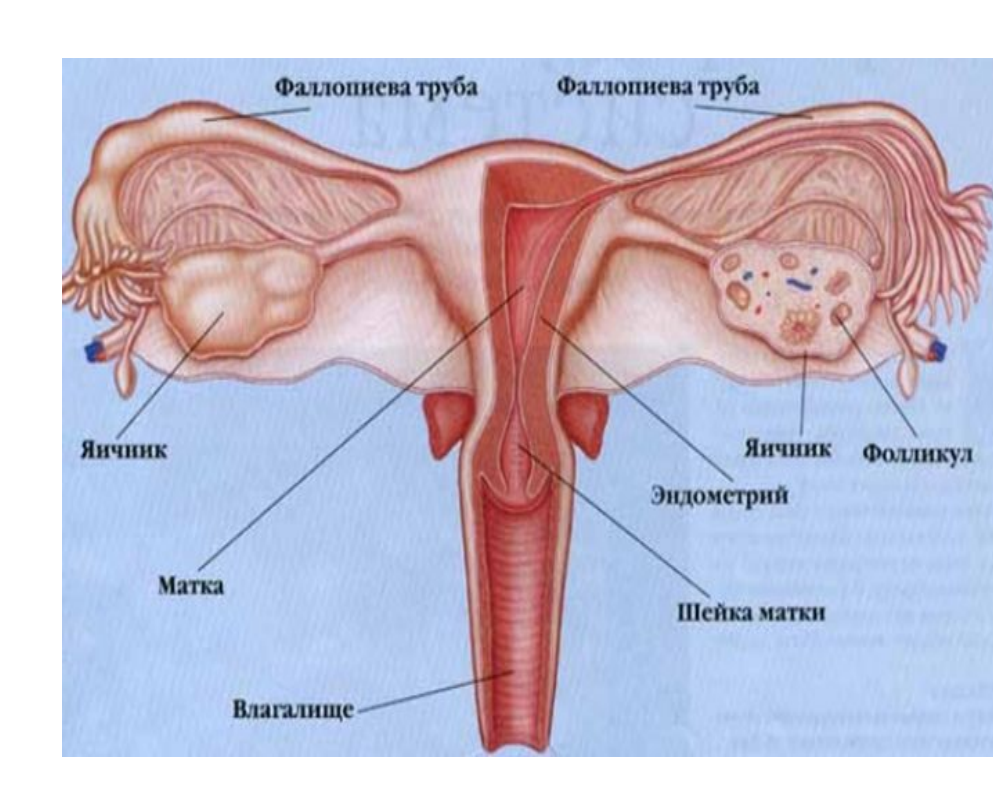


Кондратьева С.В.

К.м.н., Врач КЛД высшей категории специалист Центра по лабораторному делу и контролю качества Томской области ОГАУЗ «ОПЦ»

Председатель правления ассоциации специалистов лабораторной медицины Томской области ТРОО «ПАСЛМ»

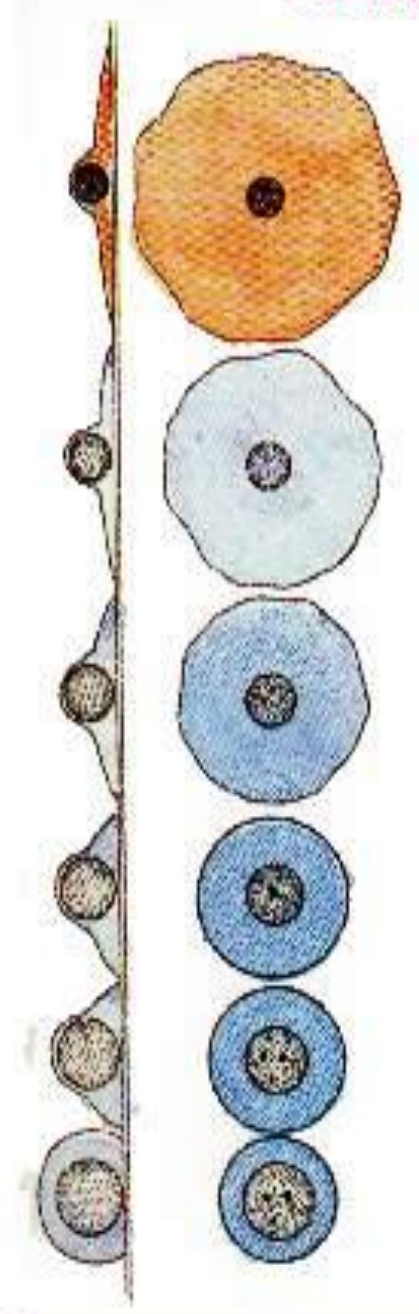
Цитологическая диагностика заболеваний женских половых органов



Томск - 2015г.

Схема созревания клеток многослойного плоского эпителия.





- 1-3 базальные и парабазальные клетки
- 4 незрелые промежуточные клетки
- 5 зрелые промежуточные клетки
- 6 поверхностные клетки
- По мере дифференцировки и созревания клеток размер цитоплазмы увеличивается, размер ядер уменьшается
 - Клетки с крупным ядром и необильной цитоплазмой в цитологических препаратах сохраняют округлую форму (1-3).
- Клетки с мелким ядром и обильной цитоплазмой принимают неправильно-округлую (полигональную) форму, цитоплазма располагается свободно, ложится складками, контуры ее
- 3 становятся неровными (4-6)
 - Накопление гликогена в клетках поверхностного слоя
- изменяет характер окрашивания цитоплазмы (при окрашивании по Папаниколау в розовые (оранжевые) тона, при окрашивании по Романовскому в светло голубые
 - (почти бесцветные) тона (6).

МКБ-10

Класс XIV (Болезни мочеполовой системы, № 00-99) [Международная

статисти ческая классификация болезней и проблем, связанных со здоровьем: Десятый пересмотр: Пер. с англ. ВО 3.-Женева,1995. – Т. 1 (ч. 2).- Класс XIV, блоки (N 80–N 98).- С. 36.].

Воспалительные заболевания шейки матки: цервицит, эндоцервицит, эндоцервицит с эрозией или эктропионом или без них N 72

Туберкулезная инфекция шейки матки N 74.0

Другой эндометриоз (включая шейку матки) N 80.8

Полип шейки матки N 84.1

Невоспалительная болезнь матки неуточненная - N85.9

Эрозия и эктропион шейки матки - N86

Дисплазия шейки матки - N87

Слабовыраженная дисплазия шейки матки - N87.0

Умеренная дисплазия шейки матки - N87.1

Резко выраженная дисплазия шейки матки, не классифицированная в других рубриках - N87.2

Дисплазия шейки матки неуточненная - N87.9

Другие невоспалительные болезни шейки матки - N88

Лейкоплакия шейки матки - N88.0

Старый разрыв шейки матки - N88.1

Стриктура и стеноз шейки матки - N88.2

Недостаточность шейки матки - N88.3

Гипертрофическое удлинение шейки матки - N88.4

Другие уточненные невоспалительные болезни шейки матки - N88.8

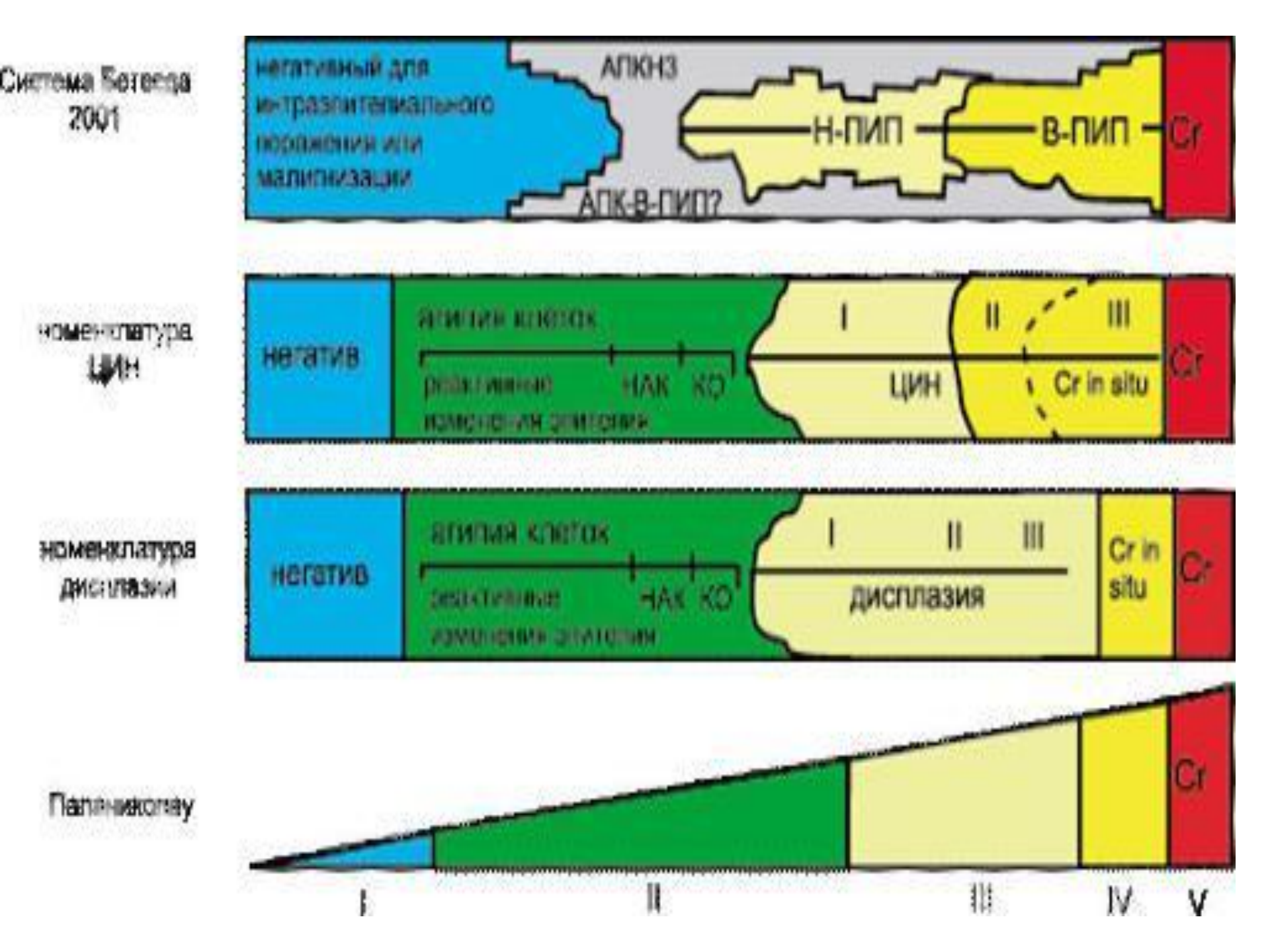
Невоспалительная болезнь шейки матки неуточненная - N88.9

Классификации поражений шейки матки

- Гистологическая классификация опухолей шейки матки (ВОЗ, Лион, 2003)
- Классификация Папаниколау (5 классов)
- Классификация Бетесда (the Bethesda System- TBS, 1988, 2001)

1. Определение адекватности (качества) пре- парата, пред- ставленного для исследования 2. Определение категории кле- точных изме-	 материал полноценный (определить наличие или отсутствие эндоцервикальных компонентов зоны трансформации, их количество и качество); материал неудовлетворительный для оценки (указать причину); оценка материала ограничена чем-то (указать причину) отсутствие интраэпителиальных изменений или злокачественной опухоли (NIL); патологические изменения эпителиальных клеток (опреде-
нений (General Categorization)	лить плоскоклеточные или железистые): см. «Интерпретация результатов»;
	• другое
3. Интерпретация результатов (Interpretation/ Result)	 NIL с наличием микроорганизмов: а) Trichomonas vaginalis, b) грибы, морфологически сходные с Candida, с) изменения влагалищной микрофлоры, позволяющие предположить бактериальный вагиноз, d) бактерии, морфологически сходные с Actinomyces, е) изменения клеток, сходные с Herpes simplex virus. Другие доброкачественные находки (произвольное описание). Реактивные изменения клеток, связанные с: а) воспалением (включая репарацию),
	 b) облучением, c) наличием внутриматочного контрацептива, d) атрофией (и воспалением), е) доброкачественные железистые клетки после гистерэктомин. • Атипические клетки плоского эпителия (сокращения см. табл. 3):
	 а) ASCUS, ASC-H; b) LSIL, включающие изменения, связанные с HPV (койлоцитоз), слабую дисплазию/CIN I; c) HSIL, включающие умеренную и тяжелую дисплазию (CIN
	 II/III), CIS; d) с признаками, позволяющими подозревать наличие инва- зивной плоскоклеточной карциномы;
	 е) плоскоклеточная карцинома. • Атипические железистые клетки (сокращения см. табл. 3): а) AGC, favor neoplastic, b) AGUS-NOS, c) эндоцервикальная аденокарцинома in situ, d) аденокарцинома: эндоцервикальная, эндометриальная, характерная для других локализаций или не дифференцированная. • Другие злокачественные опухоли

NIL	Negative for intraepithelial lesion or malignancy	Отсутствие интраэпителиальных из- менений или злокачественной опухо	
ASC	Atypical squamous cells	Атипичные клетки плоского эпителия	
ASC-US	Atypical squamous cells of undertermined significance	Атипичные клетки плоского эпителия неясного значения	
ASC-H	Atypical squamous cells cannot exclude HSIL	Атипичные клетки плоского эпителия, не позволяющие исключить высокую степень плоскоклеточного интраэпи- телиального поражения	
CIN I, II, III	Cervical intraepithelial neoplasia grade I, II or III	Цервикальная интраэпителиальная неоплазия I, II или III степ.	
CIS	Carcinoma in situ	Карцинома in situ	
SIL	Squamous intraepithelial lesion	Плоскоклеточное интраэпителиальное поражение	
HSIL	High grade squamous intraepithelial lesion	Высокая степень плоскоклеточного интраэпителиального поражения	
LSIL	Low grade squamous intraepithelial lesion	Низкая степень плоскоклеточного интраэпителиального поражения	
AGC	Atypical glandular cells	Атипичные железистые клетки	
AGC, favor neoplastic	Atypical glandular cells, favor neoplastic	Атипичные железистые клетки, похожие на неопластичные	
AGUS- NOS	Atypical glandular cells of undertermined significance not otherwise specified	Атипичные железистые клетки неясного значения, неопределенные	
AIS	Adenocarcinoma in situ	Аденокарцинома in situ	



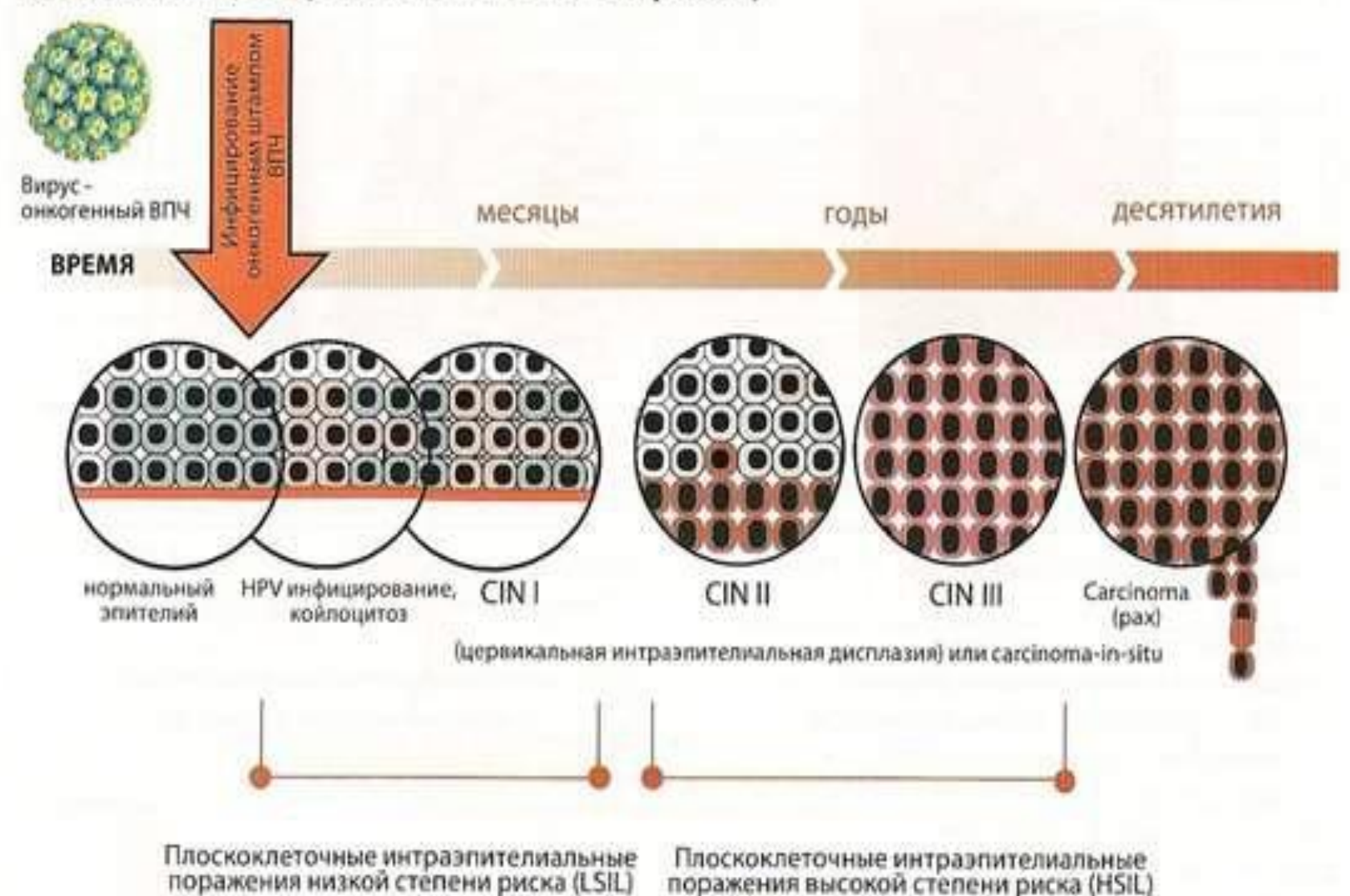
Классификация по Папаниколау	Номенклатура дисплазий	CIN номенклатура	The Bethesda System	
1	Норма	Норма	Норма	
II	Плоскоклеточная атипия	Плоскоклеточная атипия	ASC-US ASC-H	
III	Легкая (слабая) дисплазия	CIN1		
	Умеренная (средняя) дисплазия	CIN2	LSIL	
IV	Тяжелая (выраженная) дисплазия	CIN3	HSIL	
٧	Карцинома	Карцинома	Карцинома	

Система Папаниколау	Описательная система ВОЗ	CIN	ТБС (Терминологическая система Бетесда)
Класс 1 (норма)	Отсутствие злокачественных клеток	Отсутствие	Норма
Класс 2 (метаплазия эпителия, воспалительный тип)	Атипия, связанная с воспалением	неоплас- тических изменений	Peaктивные изменения клеток ASC: ASC — US; ASC — H
Класс 3 («дискариоз»)	Слабая дисплазия	CIN I Койлоцитоз	LSIL
	Умеренная дисплазия	CIN II	
	Тяжелая дисплазия		
Класс 4 (клетки, подозрительные на рак или карцинома in situ)	Карцинома in situ	CIN III	HSIL
Класс 5 (рак)	Инвазивная карцинома	Карцинома	Карцинома

Таблица 1. Соотношение терминологии предраковых состояний шейки матки

Дисплазии	Классификация цитологических мазков по Папаниколау	СІМ (цервикальная интразпители- альная неоплазия)	SIL (плоскокле- точное интра- эпителиальное поражение) по Bethesda system
Легкая дисплазия или дискариоз, койколоцитоти- ческая атипия, плоская кондилома	Класс III	CIN 1	Плоскоклеточное интразпителиальное поражение низкой степени тяжести
Умеренная (средняя) дисплазия или дискариоз	Класс IV	CIN 2	Плоскоклеточное интраэпителиальное поражение высокой степени тяжести
Тяжелая (выраженная) дисплазия или дискариоз	Класс IV	CIN 3	Плоскоклеточное интразпителиальное поражение высокой степени тяжести
Carcinoma in situ	Класс V	CIN 3	Плоскоклеточное интраэпителиальное поражение высокой степени тяжести

МОРФОЛОГИЧЕСКАЯ КЛАССИФИКАЦИЯ ИЗМЕНЕНИЙ ЦЕРВИКАЛЬНОГО ЭПИТЕЛИЯ (BO3, BETHESDA SYSTEM, 2001)



Терминологическая система Бетесда (Bethesda System) создана рабочей группой Национального института рака США г. Бетесда в 1991 г. и пересмотрена в 2001 г.

Заключение ци	тологического исследования, Bethesda System, 2001		
Тип материала	Методика приготовления препарата – традиционная/ жидкостная		
Интерпретация/результат			
Отсутств	ие интраэпителиального поражения или рака		
Инфекционные агенты	Tr. vaginalis, грибки схожие со штаммами рода Candida, бактериальный вагиноз, бактерии схожие со штаммами Actino myces, изменения клеток характерные для вируса простого repneca		
	Реактивные клеточные изменения связанные с воспалением, заживлением, облучением, наличием ВМК		
	Состояние железистых клеток после гистреэктомии		
	Атрофия		
	Клетки эндометрия у женщин старше 40 лет		
Патолог	ические изменения эпителиальных клеток		
	ПЛОСКИЕ КЛЕТКИ		
Атипические плоские клет	ки		
ASC-US	неопределенной значимости		
ASC-H	нельзя исключить HSIL		
Плоскоклеточное интраэп	ителиальное поражение		
LSIL	Слабая степень поражения, HPV эффект, легкая дисплазия, CIN		
HSIL	Умеренная и тяжелая степень поражения, CIN II, III, cr in citu, возможна инвазия		
	Плоскоклеточный рак		
	ЖЕЛЕЗИСТЫЕ КЛЕТКИ		
Атипические эндоцервика	льные клетки, клетки эндометрия, железистые клетки		
AGC	Атипические эндоцервикальные клетки железистые/ эндометриальные		
AGC, favor neoplastic	Атипические эндоцервикальные клетки, вероятно неопластические		
AIS	Эндоцервикальная аденокарцинома in situ		
	ДРУГОЕ		
	Эндометриальные клетки у женщин старше 40 лет		

Цитологическое описание по Папаниколау (PAP-smear test)

- 1-й класс- нормальная цитологическая картина, не вызывающая подозрений.
- 2-й класс- изменения морфологии клеток, обусловленное воспалительным процессом во влагалище и (или) шейки матки.
- 3-й класс- обнаруживаются единичные клетки с аномалией ядер и цитоплазмы, однако окончательный диагноз установить не удается. Требуется повторение цитологического исследования или гистологического исследования.
- 4-й класс- имеются отдельные клетки с явными признаками озлокачествления (аномальная цитоплазма, измененные ядра, увеличение массы ядер).
- 5-й класс- для мазка характерно большое число типично раковых клеток. Диагноз злокачественного процесса не вызывает сомнений.
- Наибольшую диагностическую информативность имеют следующие признаки: клеточный и ядерный полиморфизм, выраженная анизохромия, высокий ядерно-цитоплазматический индекс.

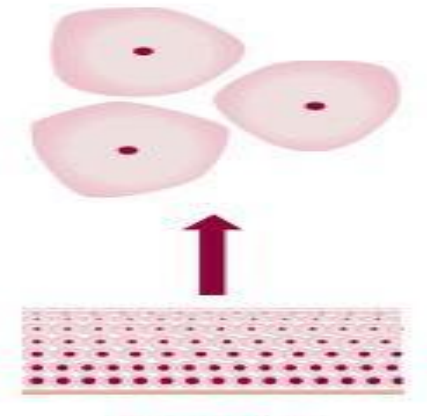
Гистологические признаки	Цитологические признаки
Клетки базального типа с атипией занимают: • Дисплазия I — до 1/3 пласта. • Дисплазия II — от 1/3 до 2/3 пласта. • Дисплазия III — более 2/3 пласта	Клетки базального типа с атипией, дискариозом встречаются: • Дисплазия I — крайне редко. • Дисплазия II — в небольшой количестве. • Дисплазия III — часто
Способность клеток к дифференцировке: • Дисплазия I — сохраняется. • Дисплазия II — уменьшена. • Дисплазия III — слабо выражена	 Клеточный состав: Дисплазия I — преимущественно зрелые поверхностные и промежуточного типа клетки с дискариозом. Дисплазия II — помимо зрелых, встречаются единичные клетки парабазального типа с дискариозом. Дисплазия III — преобладают клетки парабазального типа с дискариозом, единичные синцитиоподобные структуры из клеток с атипией
Атипия в ядрах клеток нарастает от дисплазии I к дисплазии III	Степень выраженности дискариоза в ядрах клеток от дисплазии I к дисплазии III нарастает
С увеличением степени выраженности дисплазии постепенно ослабевают межклеточные связи	Количество клеток с дискариозом увеличивается от дисплазии I к дисплазии III

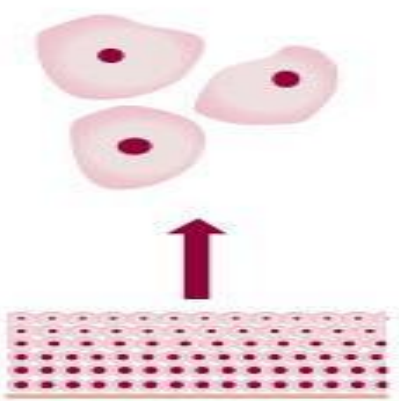
НОРМАЛЬНАЯ ШЕЙКА МАТКИ

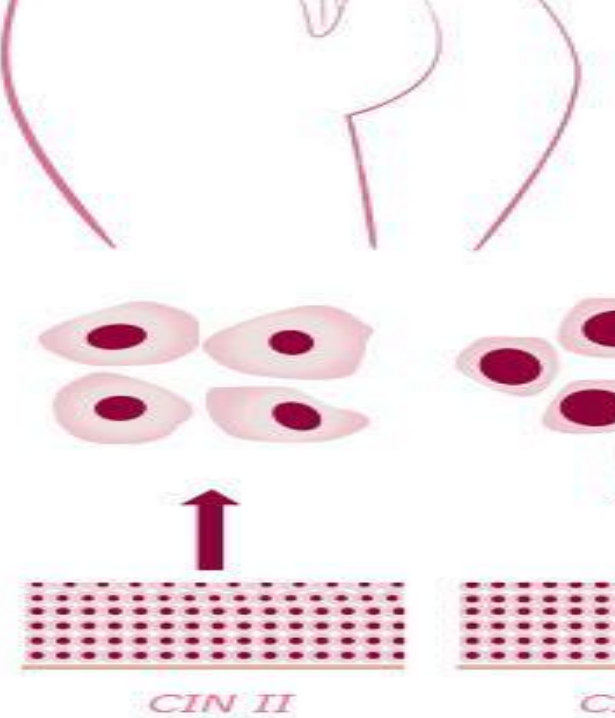


ДИСПЛАЗИЯ ШЕЙКИ МАТКИ





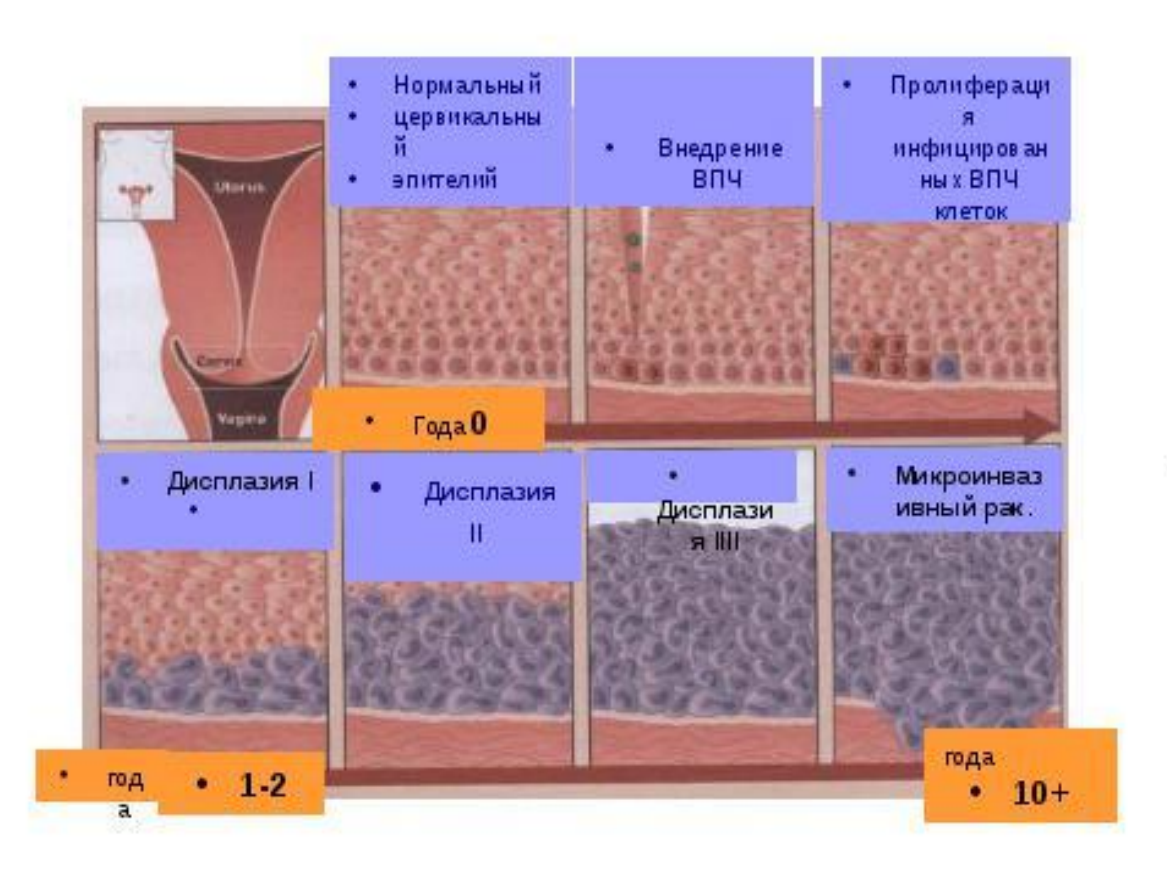




NORMAL CIN I CIN III CIN III



• Этапы канцерогенеза шейки матки



Дисплазия



• Фоновое заболевание



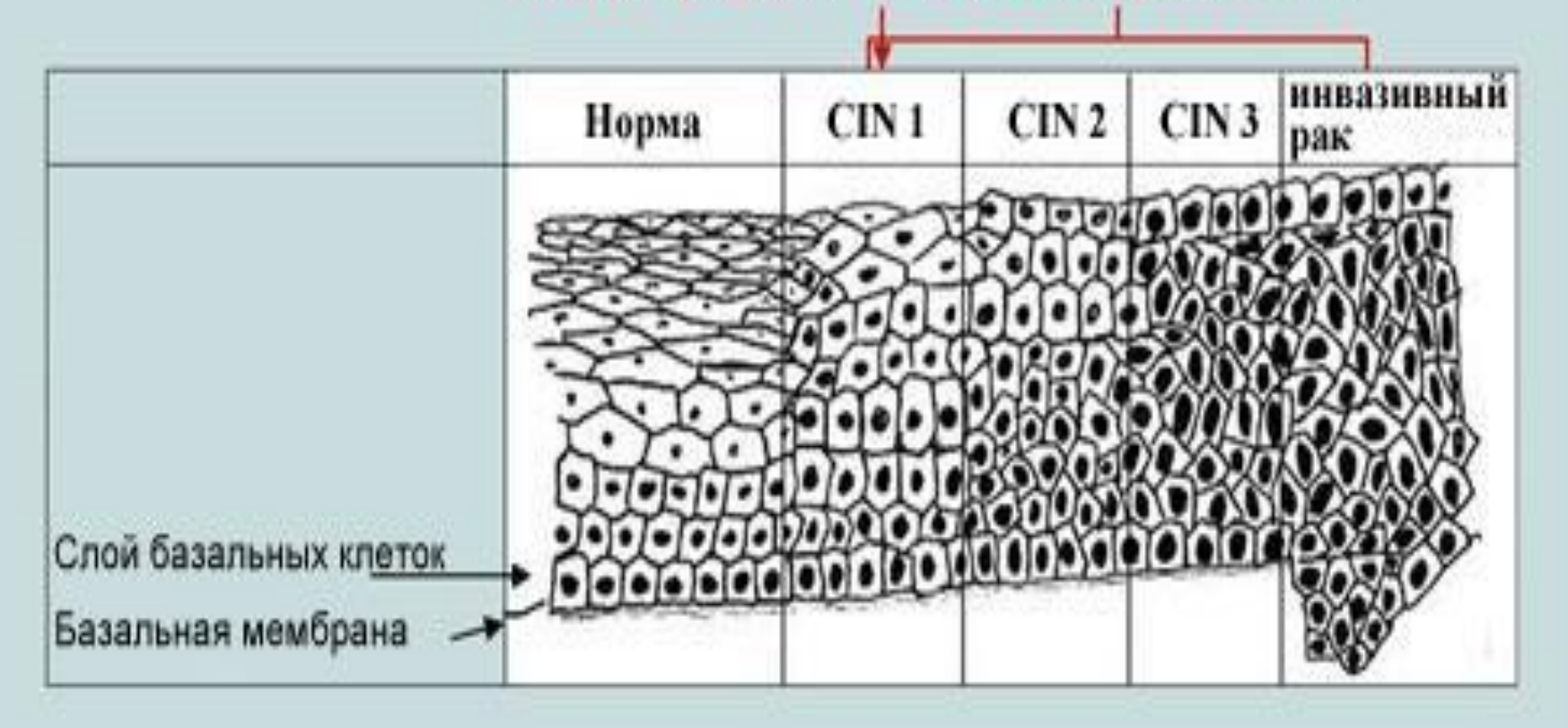
• Ранняя диагностика патологических изменений цервикального эпителия на этапе профилактических осмотров – важное звено профилактики РШМ

Non- Dysplastic Epithelium	LSIL	LSIL HSIL CIN 1 CIN 2 CIN 3		Micro- Invasion	
///	CIN 1			CIN 3	
	Mild Dysplasia	Moderate Dysplasia	Severe Dysplasia	Carcinoma in Situ	

Images courtesy of Chisa Aoyama, MD, David Geffen School of Medicine at UCLA.

Степени дисплазии

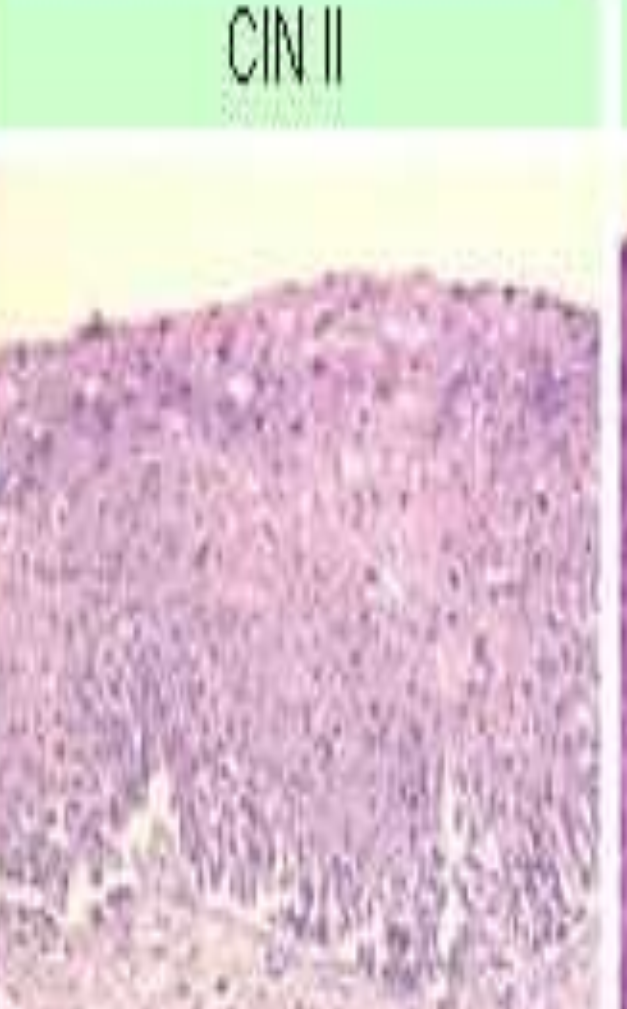
Низкий риск HPV Высокий риск HPV

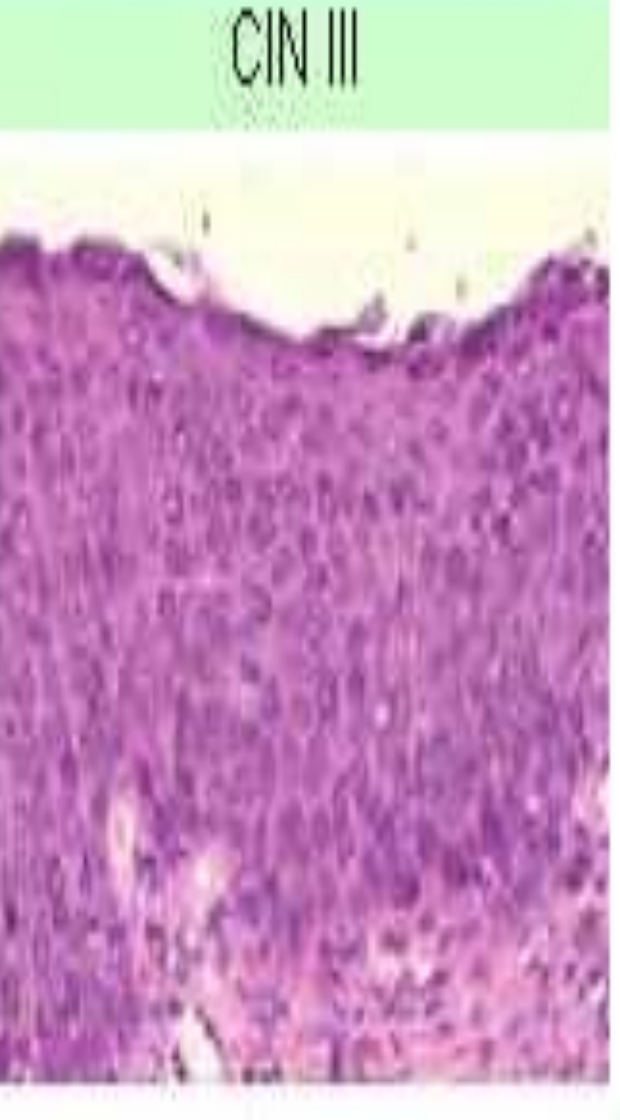


Low-grade squamous intra-epithelial neoplasia

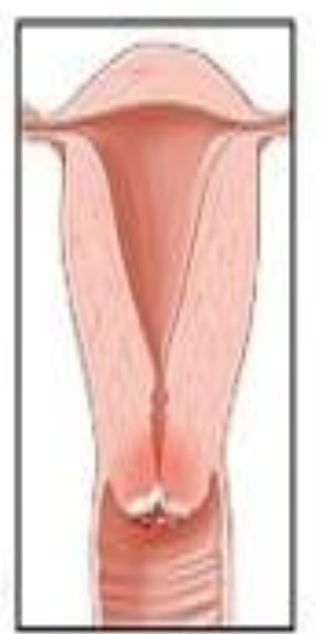
High-grade squamous intra-epithelial neoplasia

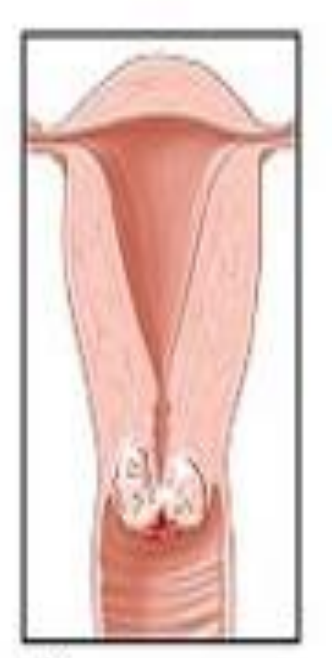
CINI

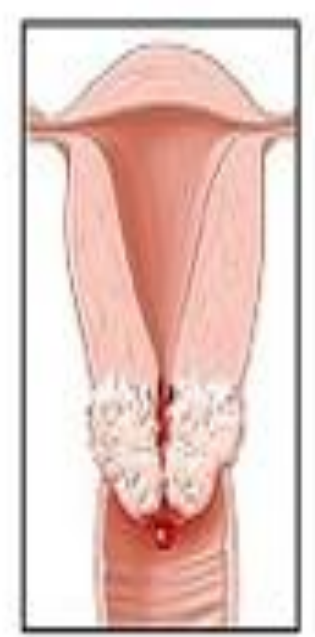












Рак шейки матки - стадии

Вид шейки матки при вагинальном обследовании



Норма



Стадия І



Стадия II

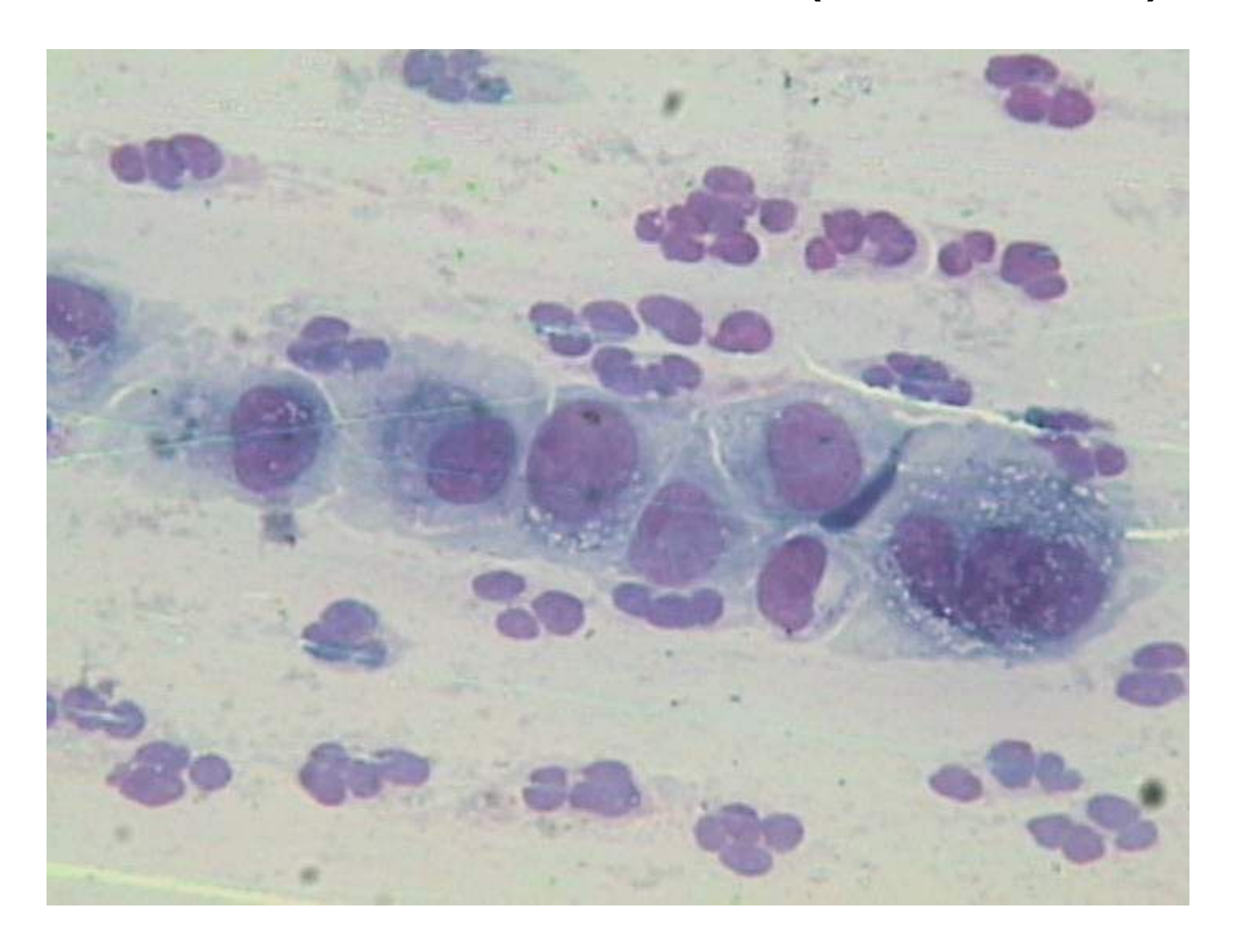


Стадия III

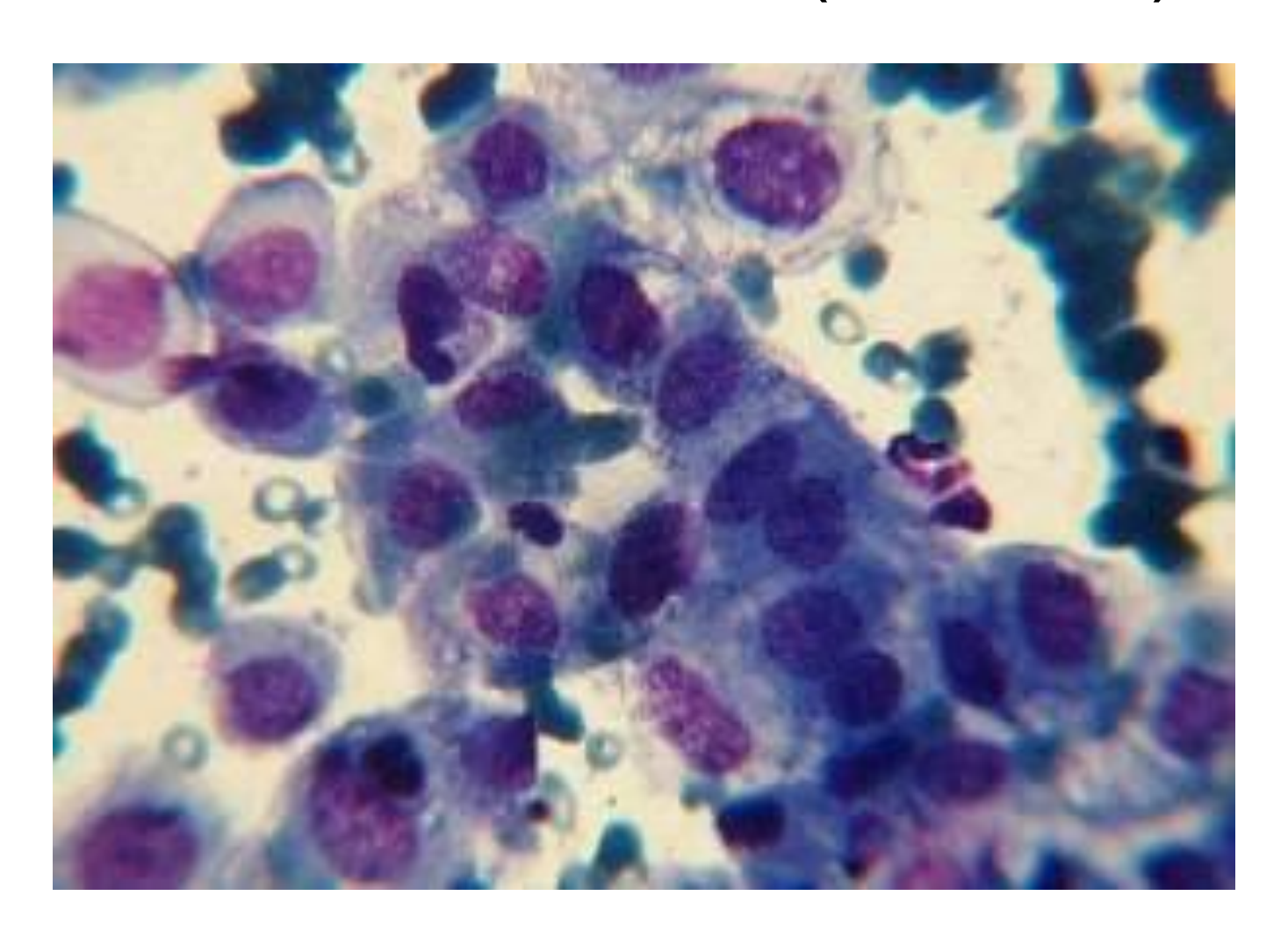
Патологические изменения плоского эпителия

- Клетки плоского эпителия неясного значения (ASC-US) TBS
- Клетки плоского эпителия неясного значения, не исключающие плоское интраэпителиальное поражение высокой степени(ASC-H) – TBS
- Найденные изменения трудно дифференцировать между реактивными изменениями эпителия и дисплазией
- Обнаружены клетки трактовка которых затруднена (с дискариозом, укрупненными ядрами, гиперхромными ядрами и т.д.)

Патологические изменения плоского эпителия: клетки плоского эпителия неясного значения (ASC-US)



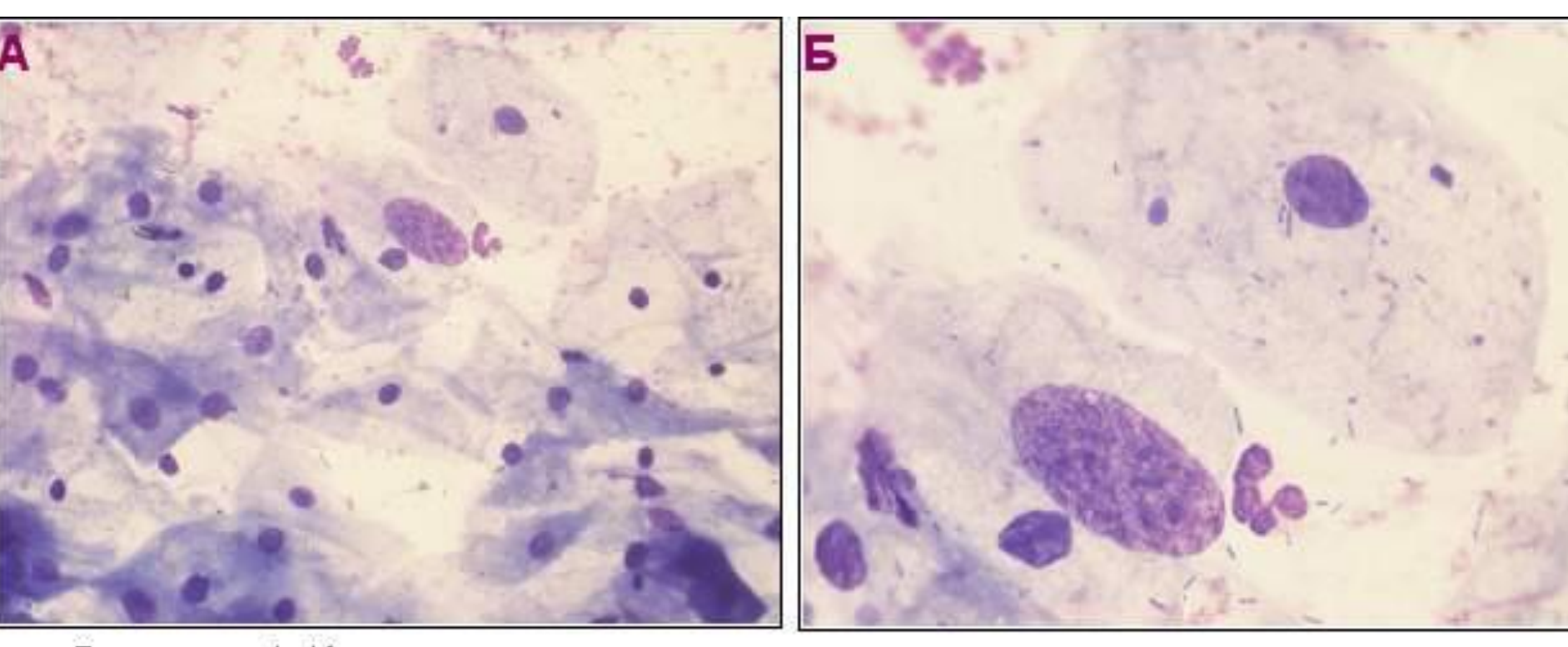
Патологические изменения плоского эпителия: клетки плоского эпителия неясного значения (ASC-US)



Неопухолевые изменения плоского эпителия, достойные динамического наблюдения

- Плоское интраэпителиальное поражение низкой степени (LSIL): папилломавирусная инфекция (HPV), слабая дисплазия (CIN I)
- Плоское интраэпителиальное поражение высокой степени (HSIL): умеренная, тяжелая дисплазия и внутриэпителиальный рак (CIN II, CIN III, cr in situ)

Плоское интраэпителиальное поражение низкой степени (LSIL): (HPV), слабая дисплазия (CIN I)



Дисплазия I. Клетка плоского эпителия с крупным ядром среди нормальных клеток плоского эпителия. Ядро овальной формы, контуры неровные, хроматин распределен сравнительно равномерно, с участками конденсации. Окрашивание по Романовскому, А- ×400, Б - × 1000

HPV, папилломавирус человека

Вирус передается половым путем, при наличии вируса чаще всего нет никаких симптомов. HPV вызывает рак



- передается половым путем.
 вызывает рак
- Известно более 100 типов вируса
- 15 из них связаны с высоким риском развития рака шейки матки.

Cervical cancer



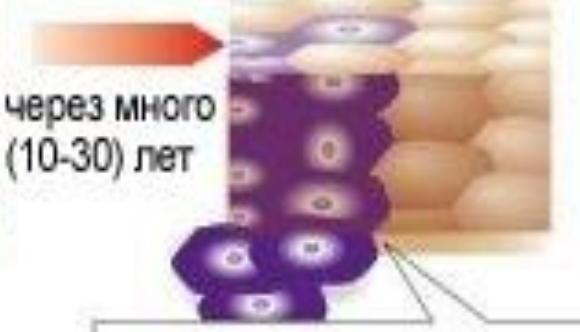
проникает в клетки

2 вирус размножается

в 90% случаев вылечивается за 2 года 3 в 0.8% случаев развивается рак

через несколько недель

инфекция распространяется



развиваются предраковые изменения, а далее рак.

Дисплазия шейки матки ДНК вируса Cervix Инфициро вание ВПЧ ДНК вируса встраивается в ДНК клетки размножение вируса дисплазия шейки матки ВПЧ в базальной клетке инфицирование базальной клетки

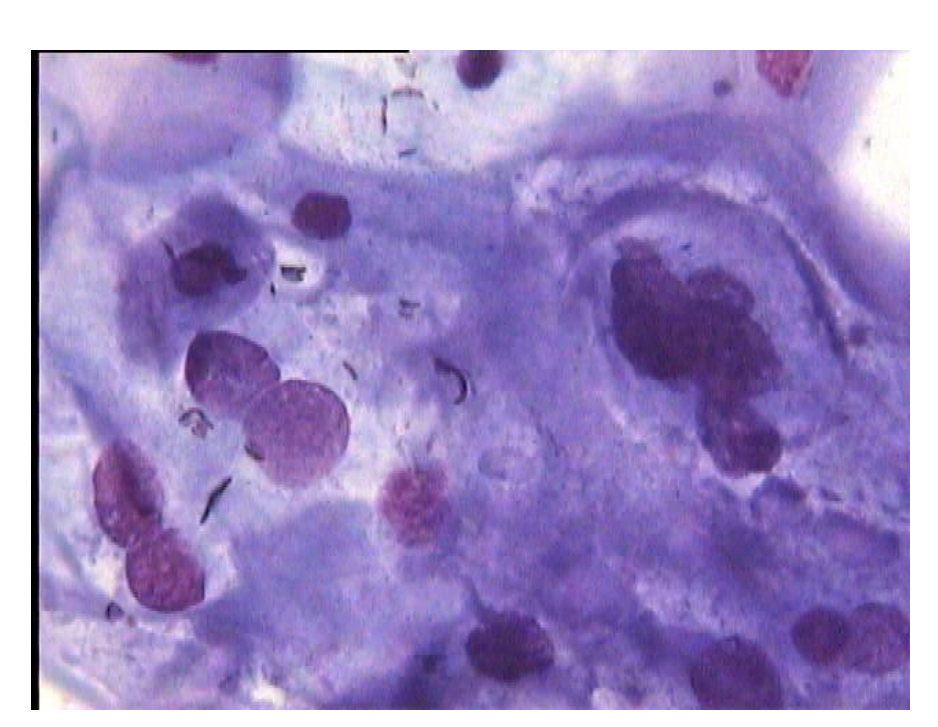
Внутриэпителиальная неоплазия (дисплазия)

Цитологические признаки папилломавирусной инфекции:

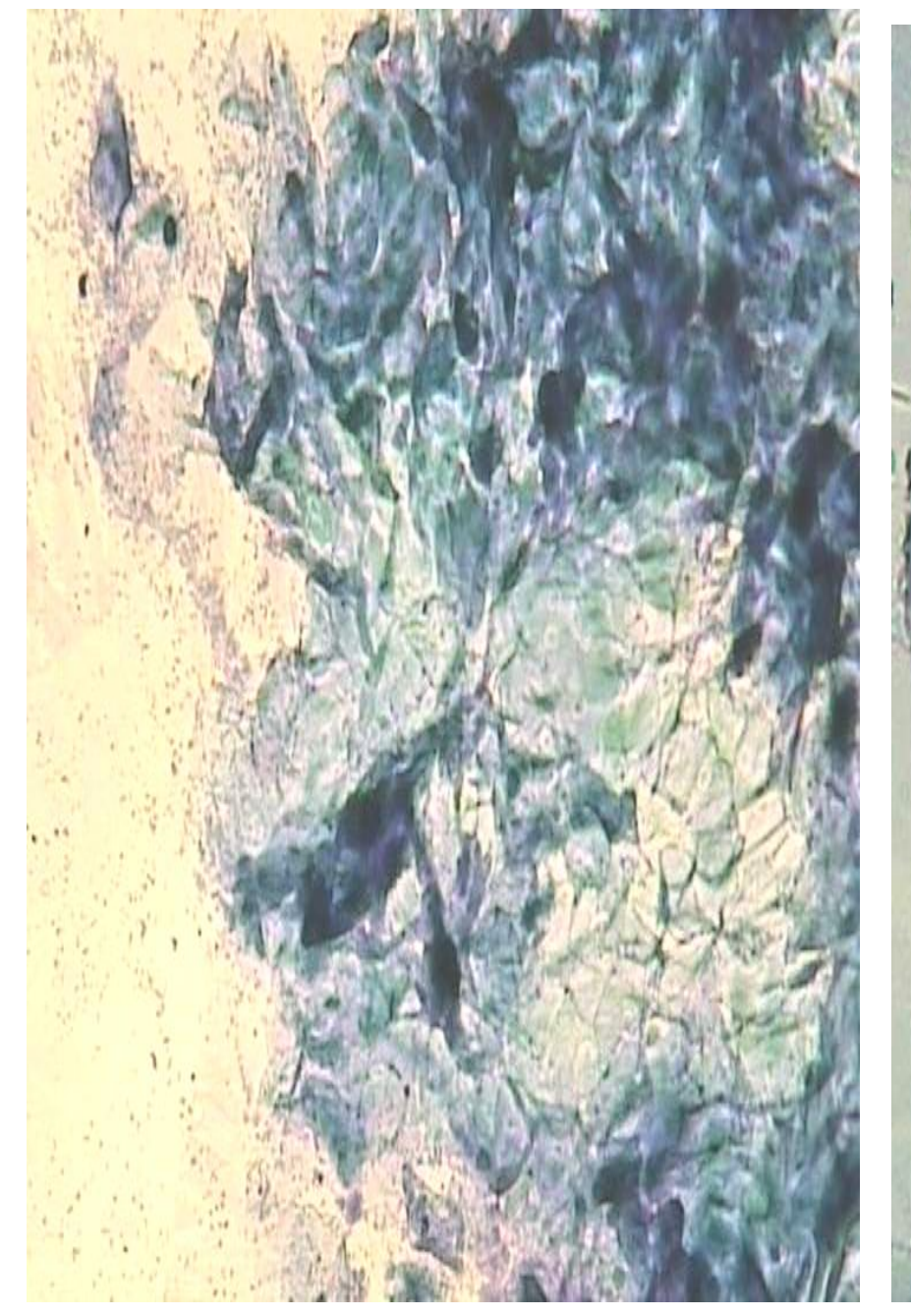


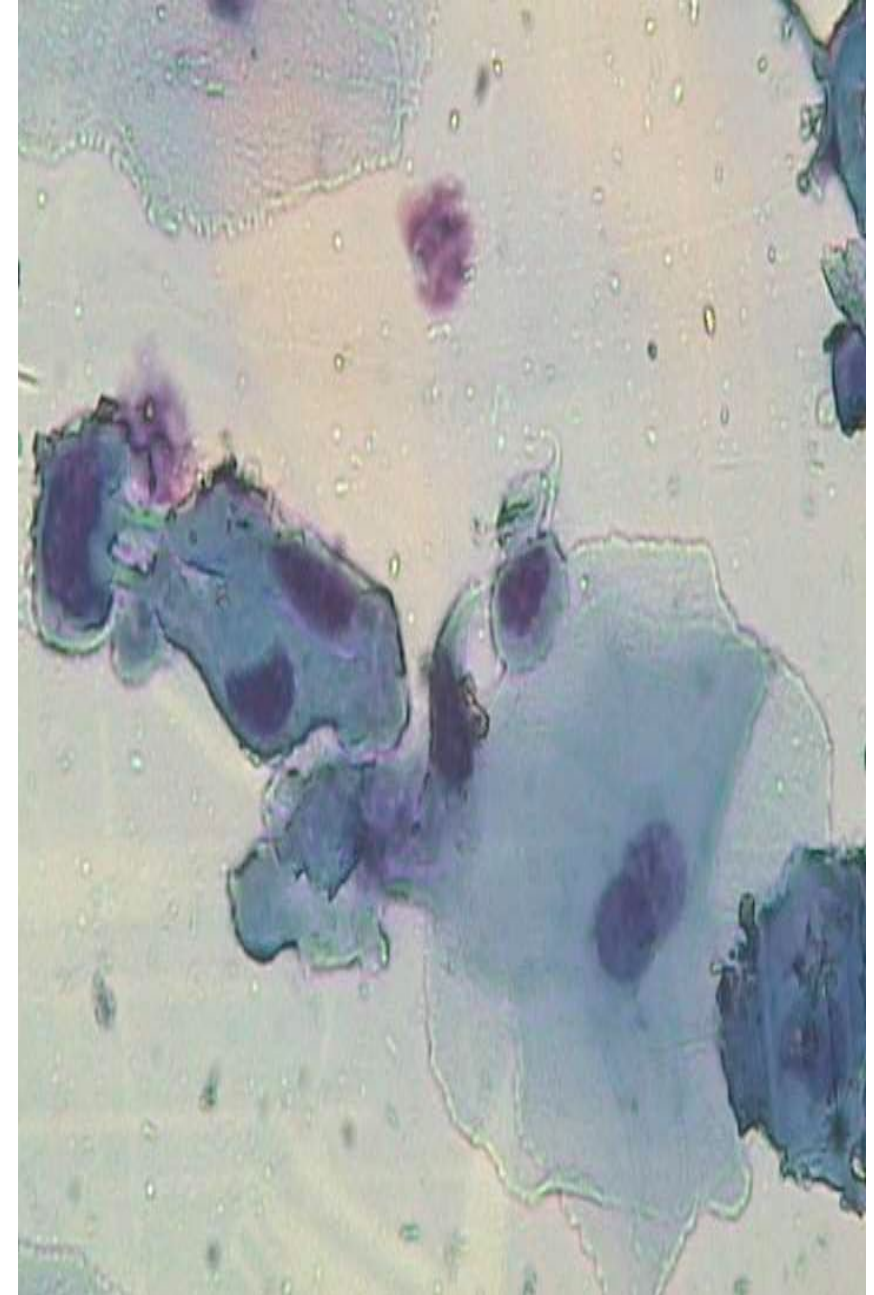
Имеются и другие признаки папилломавирусной инфекции

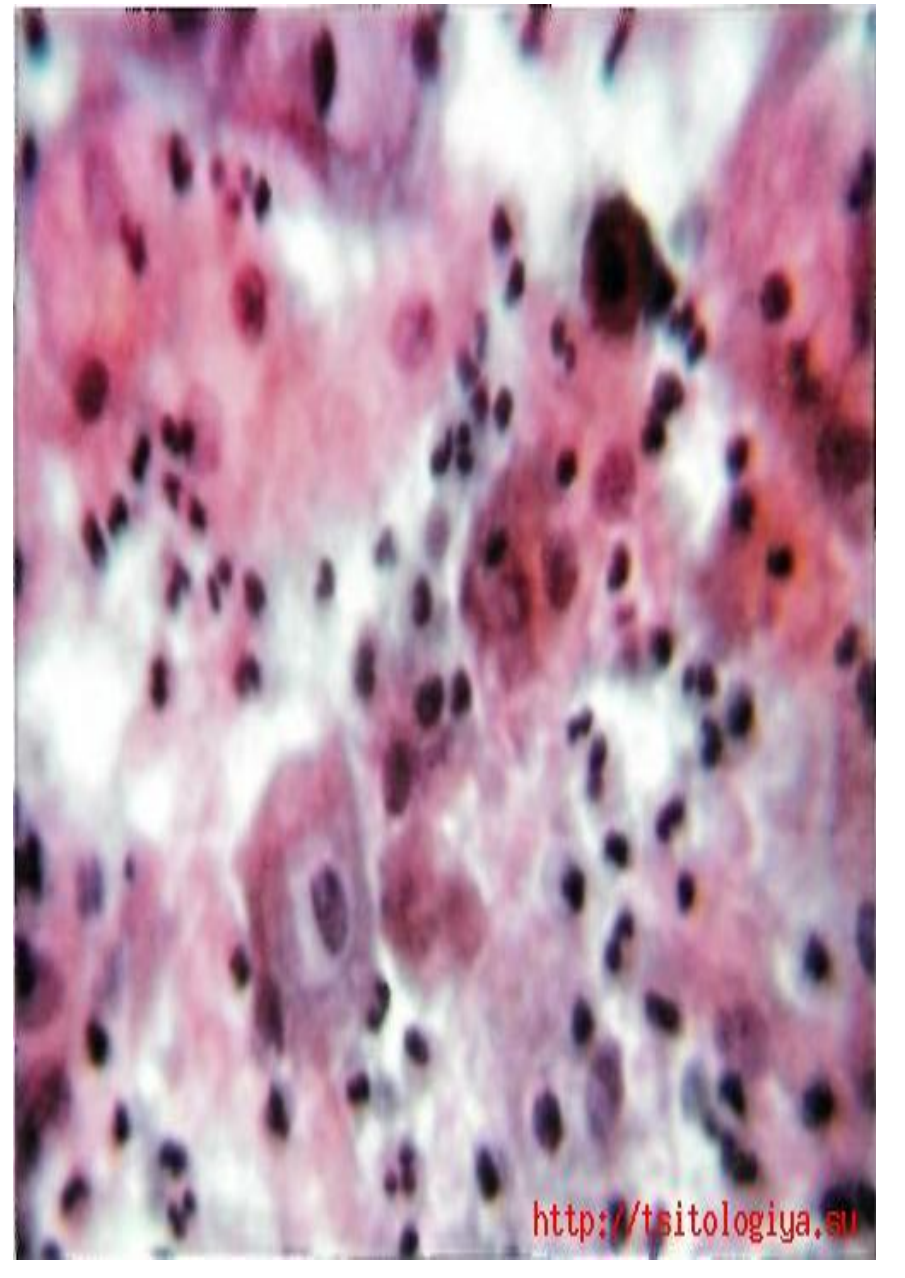
Плоское интраэпителиальное поражение низкой степени (HPV, слабая дисплазия - CIN I)



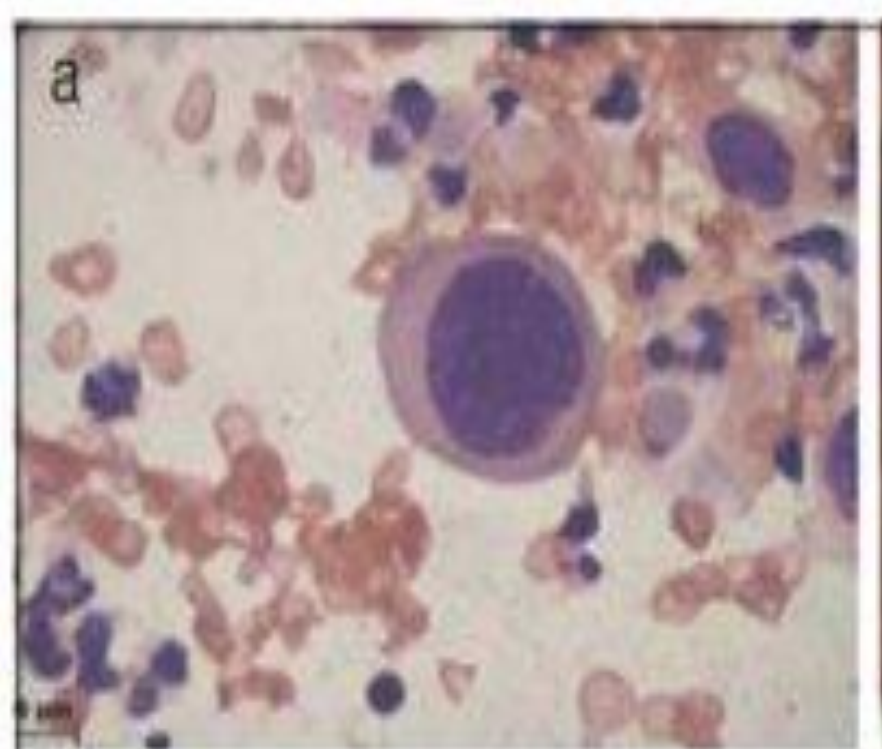










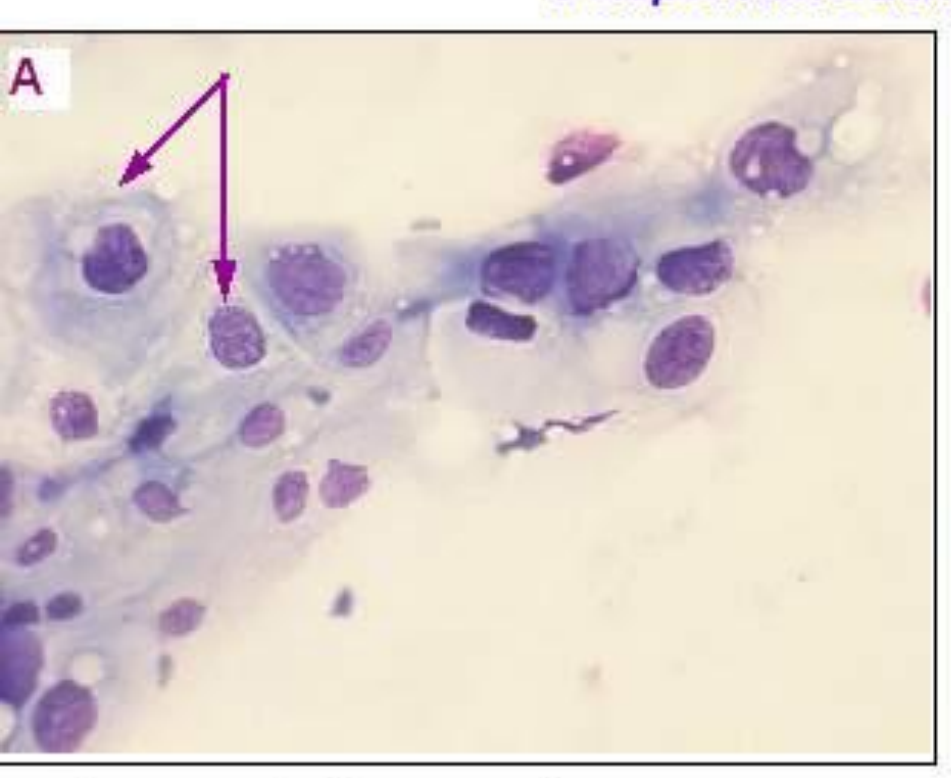


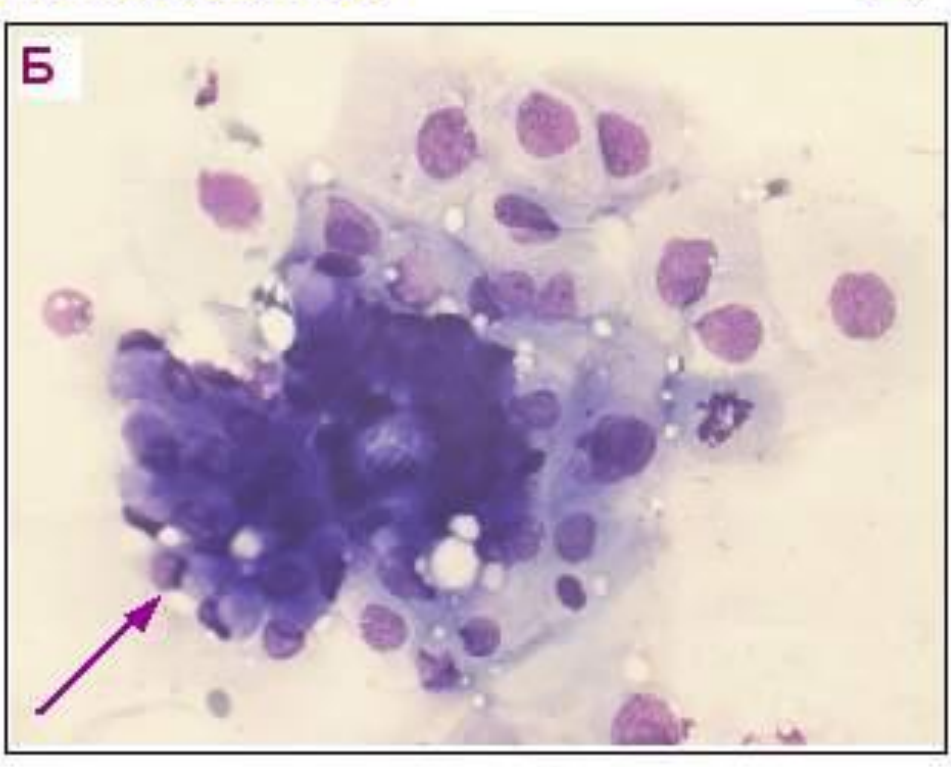


Puc.2(a,6). Клетки плоского эпителия с атипией неясного значения, не исключающие HSIL (atypical squamous cells of undetermined significance cannot exclude HSIL (ASC-H): а - цитологическая картина, б – кольпоскопическая картина

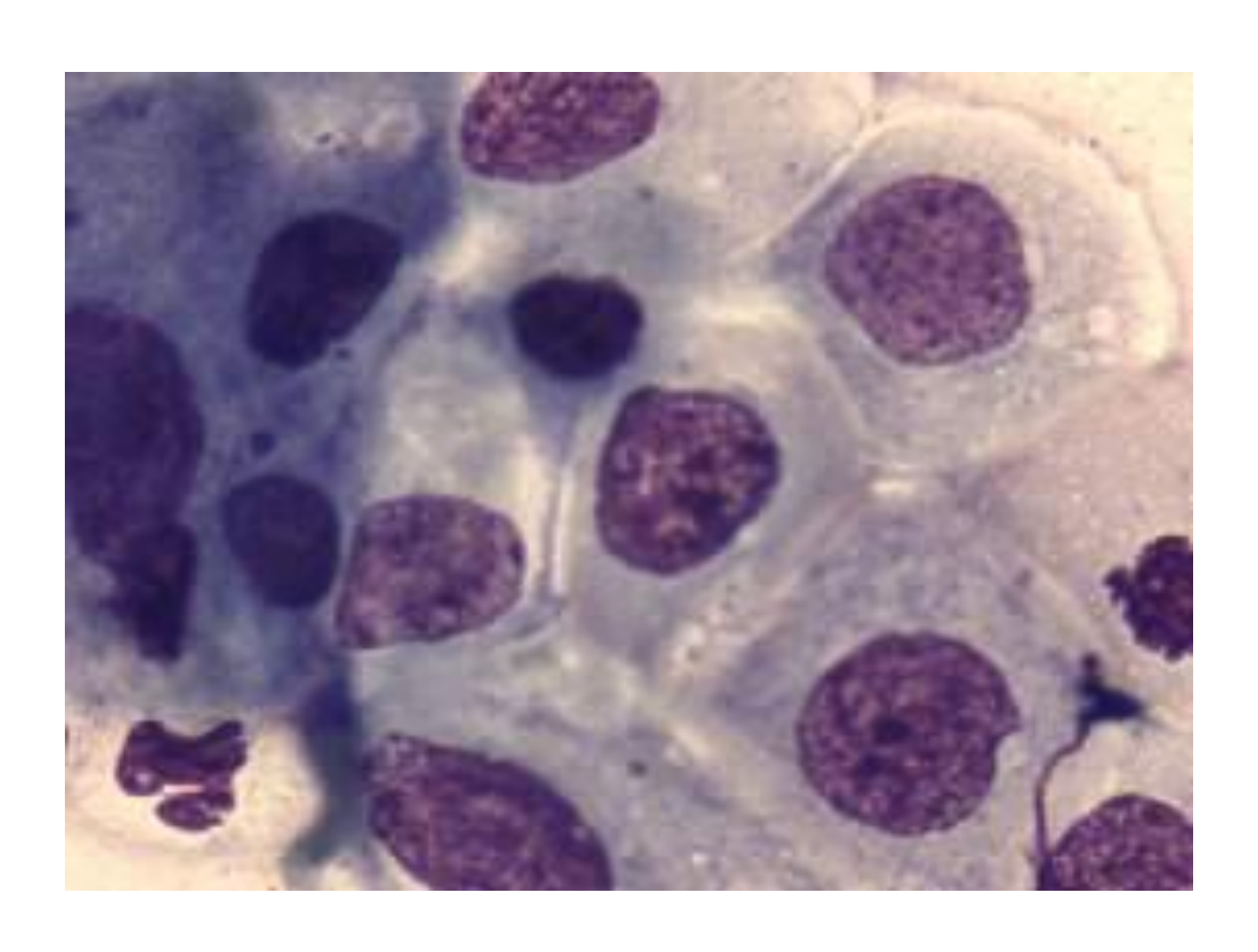
Умеренная дисплазия. Примеры







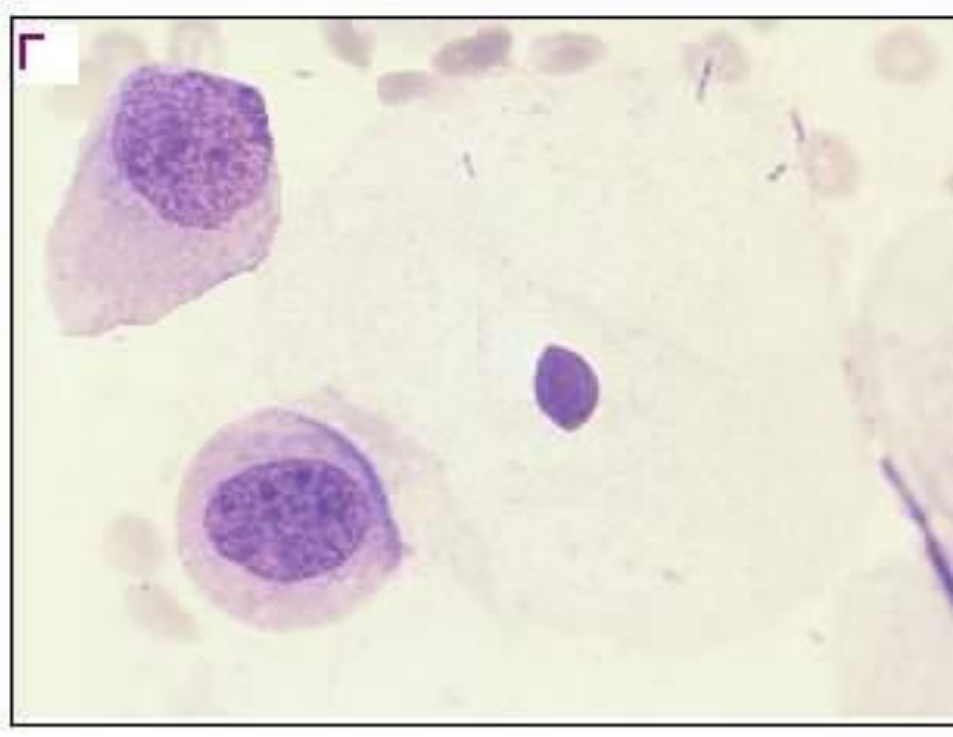
Дисплазия II. Клетки парабазального и промежуточного типа с дискариозом. Ядра укрупнены, контуры ядерной мембраны неровные, хроматин распределен сравнительно равномерно, есть небольшие участки конденсации (хромоцентры): а — присутствуют койлоциты (отмечены стрелкой), б - клетки, характерные для дисплазии и клетки цилиндрического эпителия (бокаловидные) — отмечены стрелкой, Окрашивание по Паппенгейму, а, б — х400



Умеренная дисплазия. Примеры



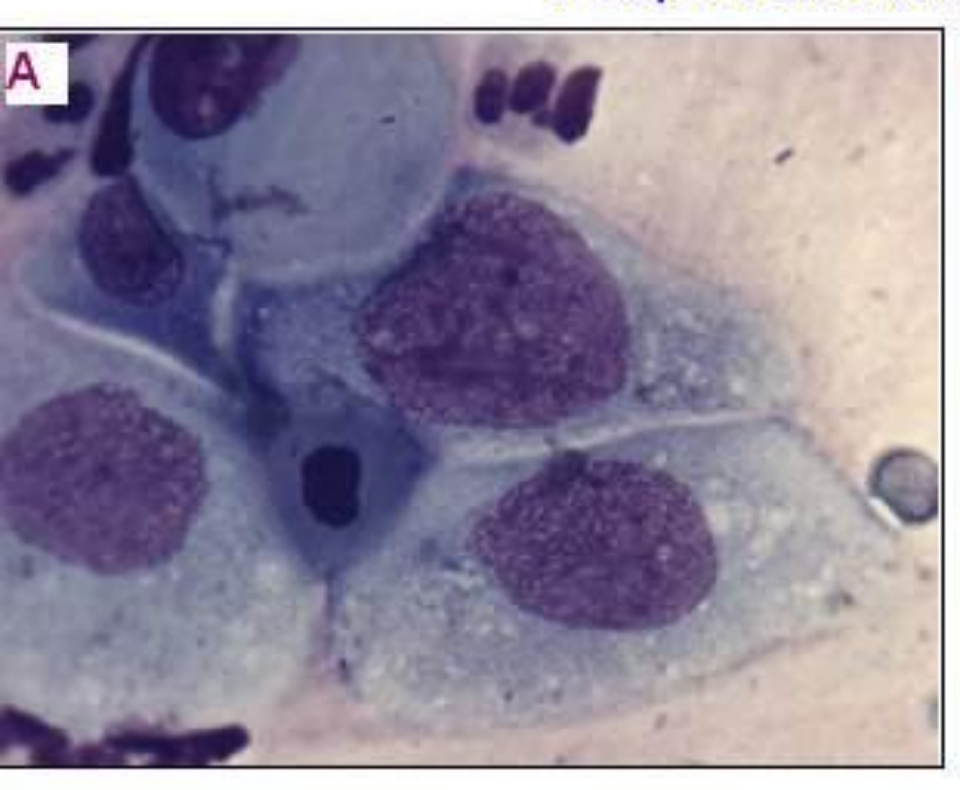


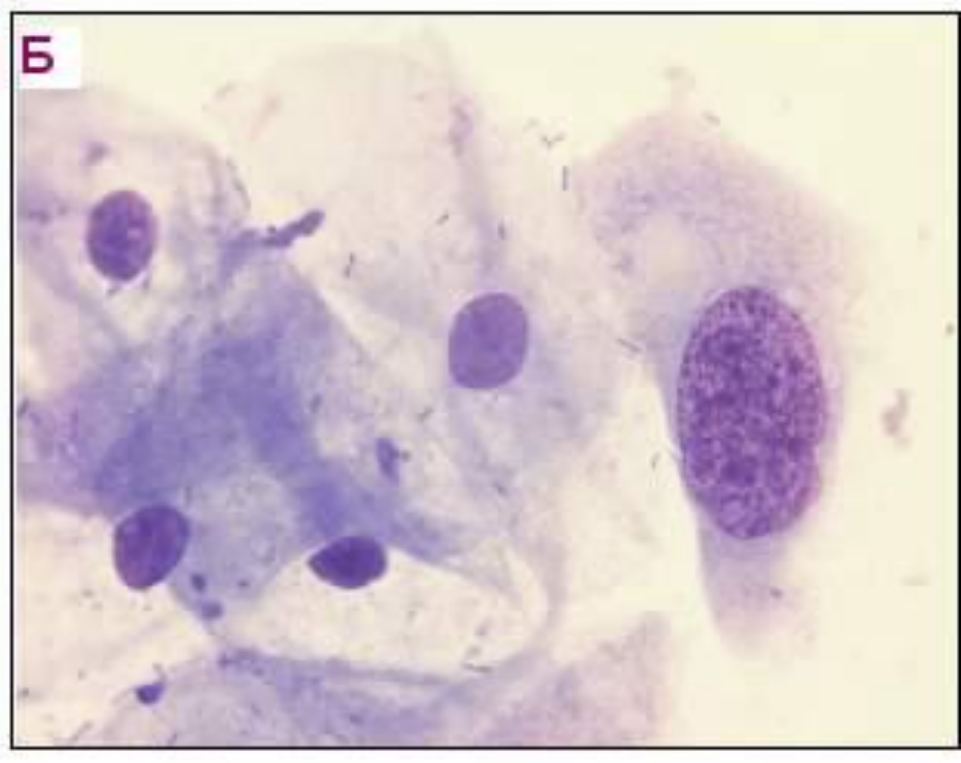


Дисплазия II. Клетки парабазального и промежуточного типа с дискариозом. Ядра укрупнены, контуры ядерной мембраны неровные, хроматин распределен сравнительно равномерно, есть небольшие участки конденсации (хромоцентры). В –двухъядерная клетка. Окрашивание по Паппенгейму, В,Г - х1000

Умеренная дисплазия. Примеры



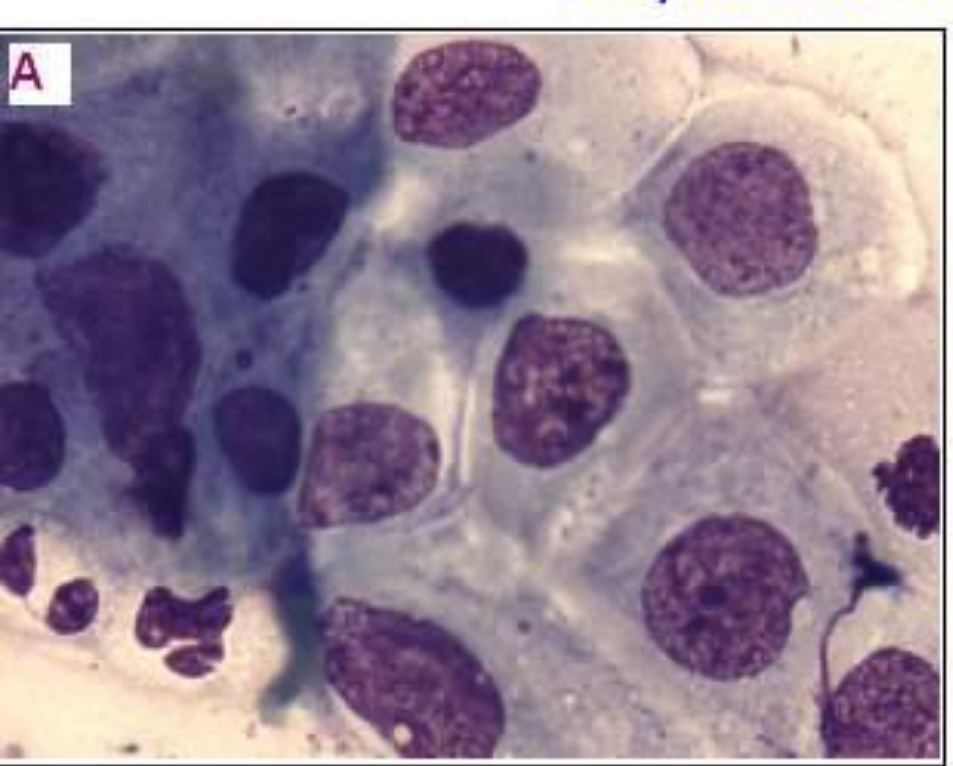


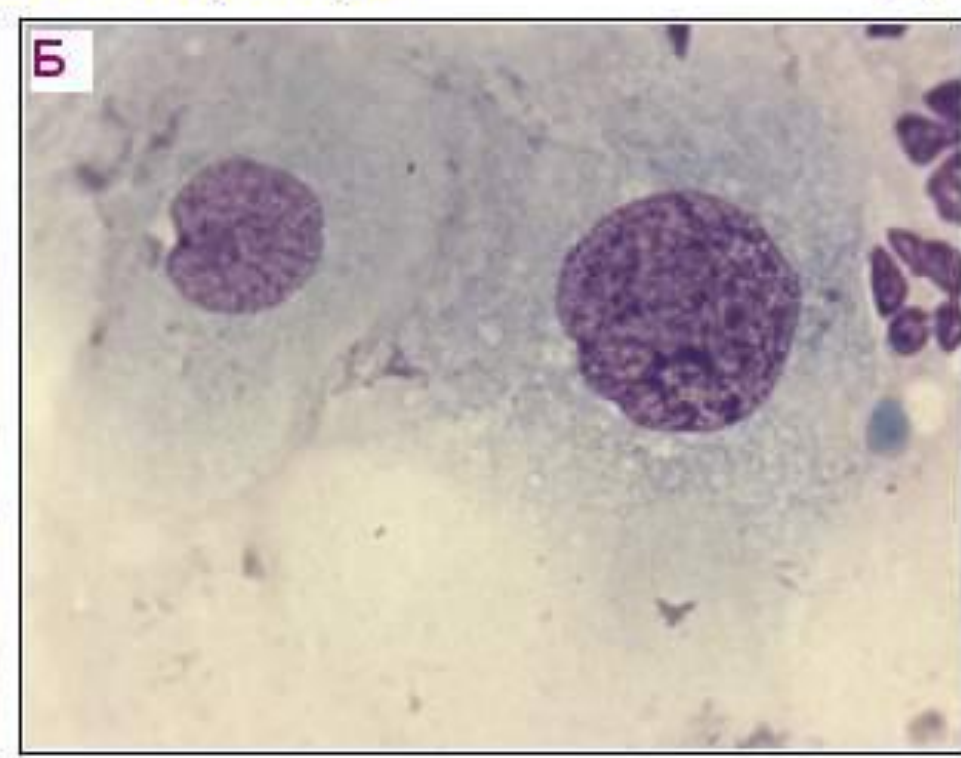


Дисплазия II. Клетки промежуточного типа с умеренно выраженной атипией ядра: неровные контуры ядерной мембраны, складки, неравномерное распределение хроматина, хромоцентры. Окрашивание по Паппенгейму, ×1000

Умеренная дисплазия. Примеры







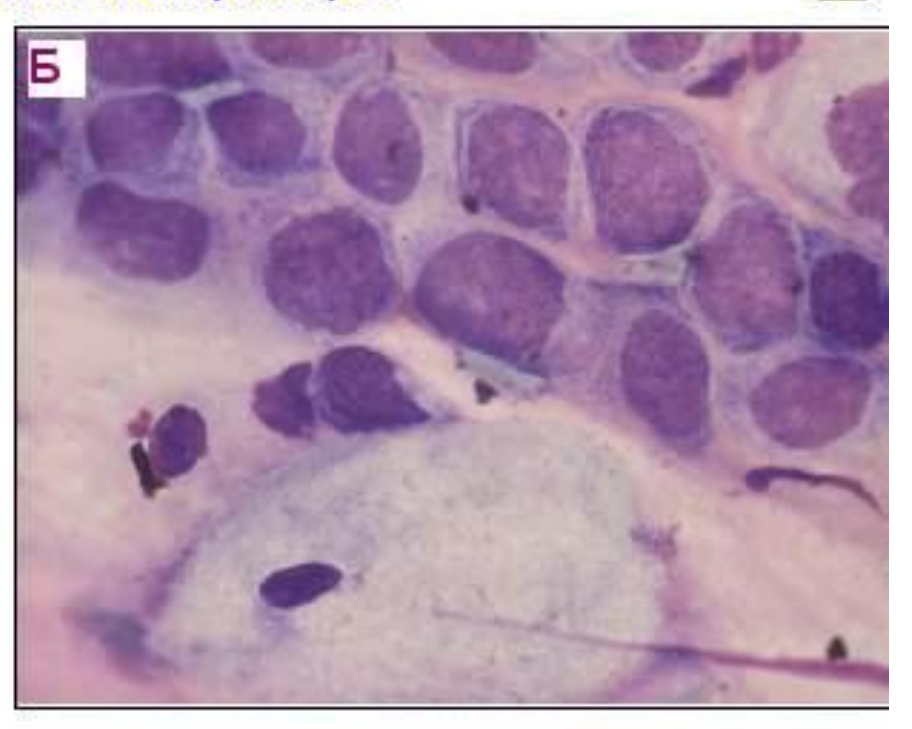
Дисплазия II: а - клетки парабазального типа со слабым дискариозом: ядра увеличены, контуры неровные, хроматин распределен сравнительно равномерно, участки конденсации хроматина, единичные лейкоциты; б - клетки промежуточного типа с умеренным дискариозом. Окрашивание по Романовскому, ×1000

Плоское интраэпителиальное поражение высокой степени (тяжелая дисплазия -CIN III)

Выраженная дисплазия. Примеры





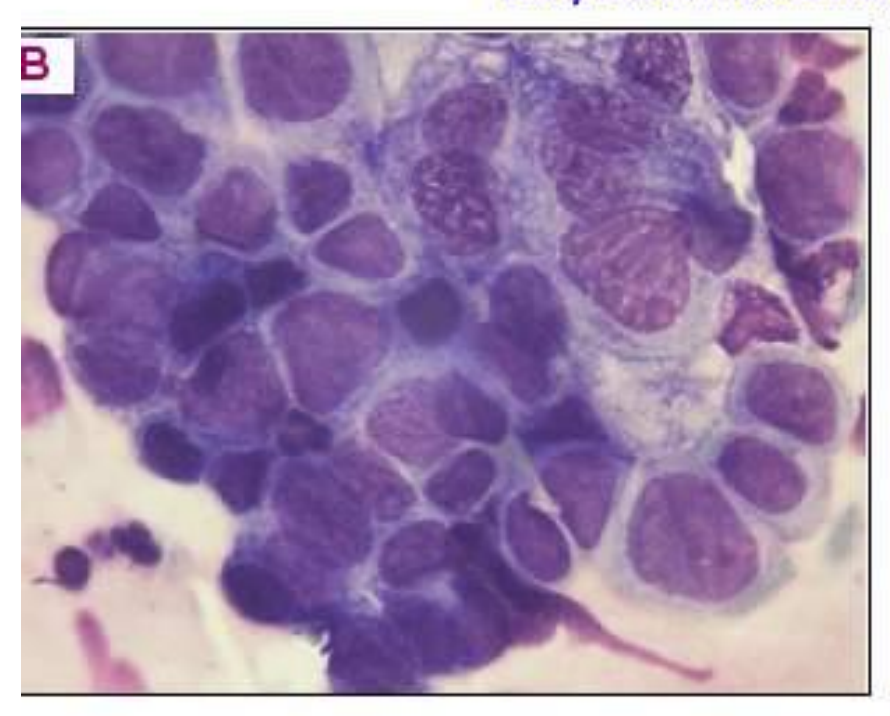


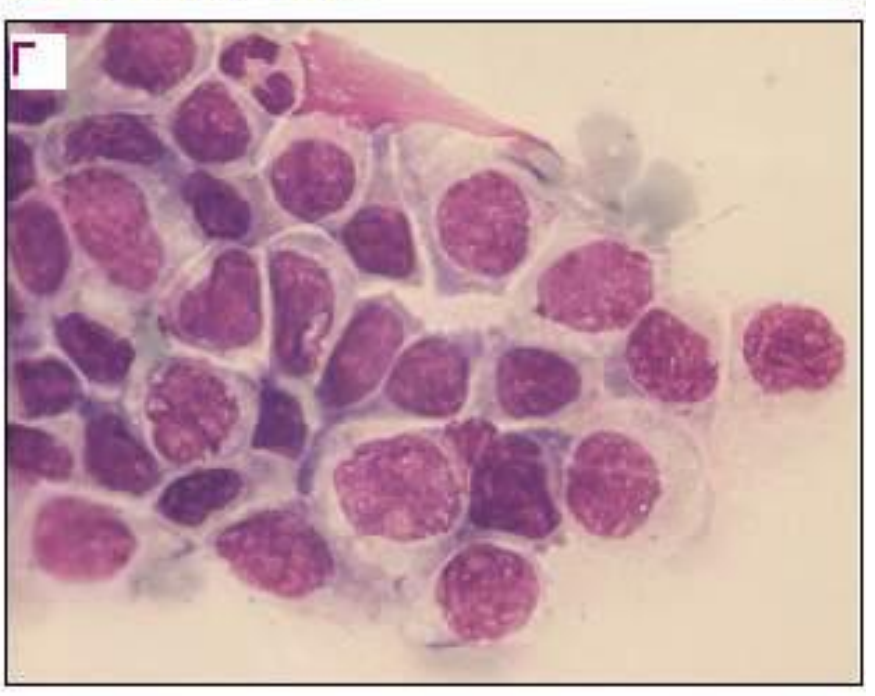
Мазок из шейки матки. Дисплазия III: а, б – разрозненно лежащие клетки, в – синцитиоподобная структура. Дискариоз в клетках парабазального типа: ядерно-цитоплазменное соотношение сдвинуто в сторону ядра, неровный контур ядер, хроматин зернистый, распределен сравнительно равномерно. Окрашивание по Романовскому, х1000

Плоское интраэпителиальное поражение высокой степени (тяжелая дисплазия -CIN III)

Выраженная дисплазия. Примеры

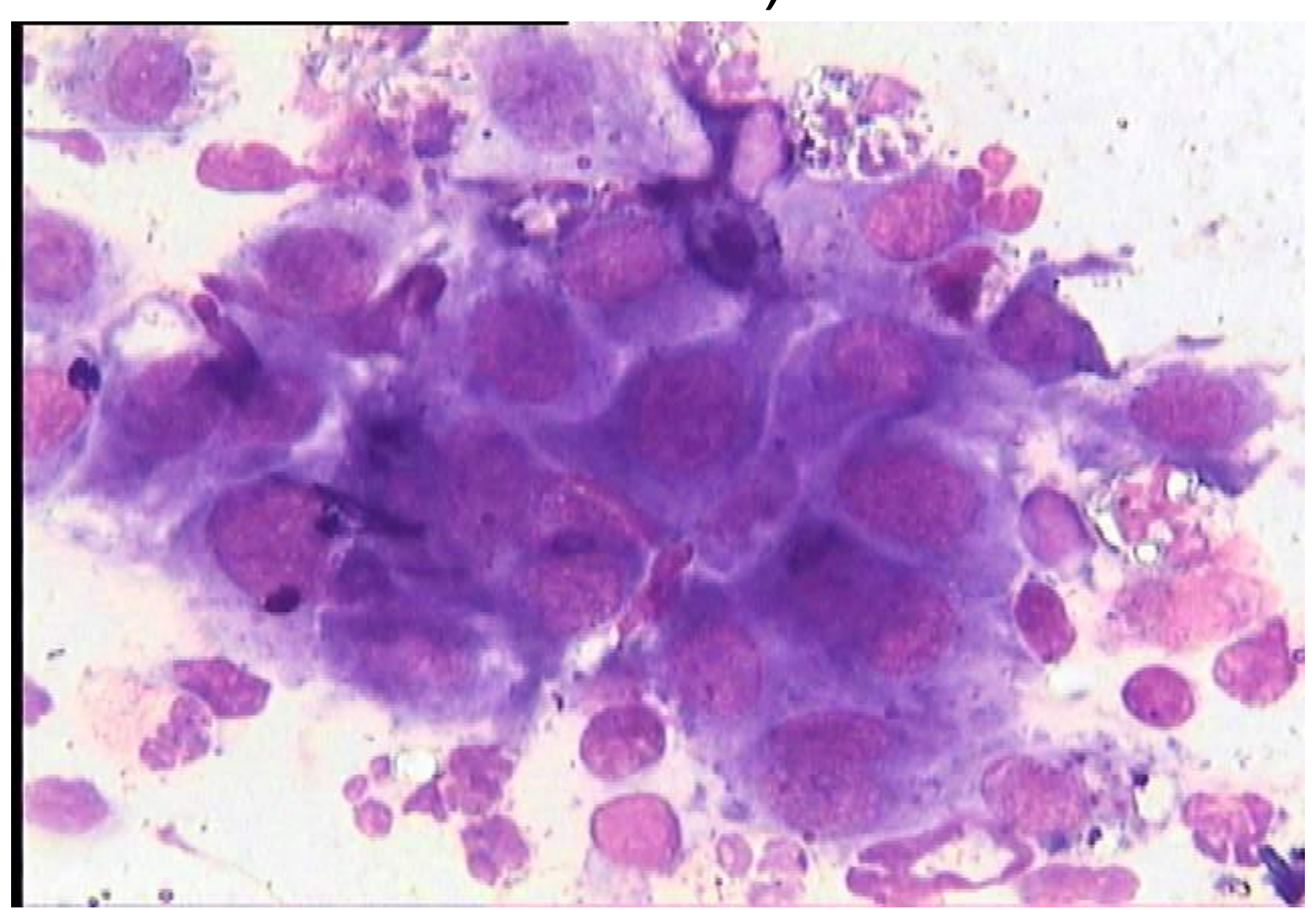




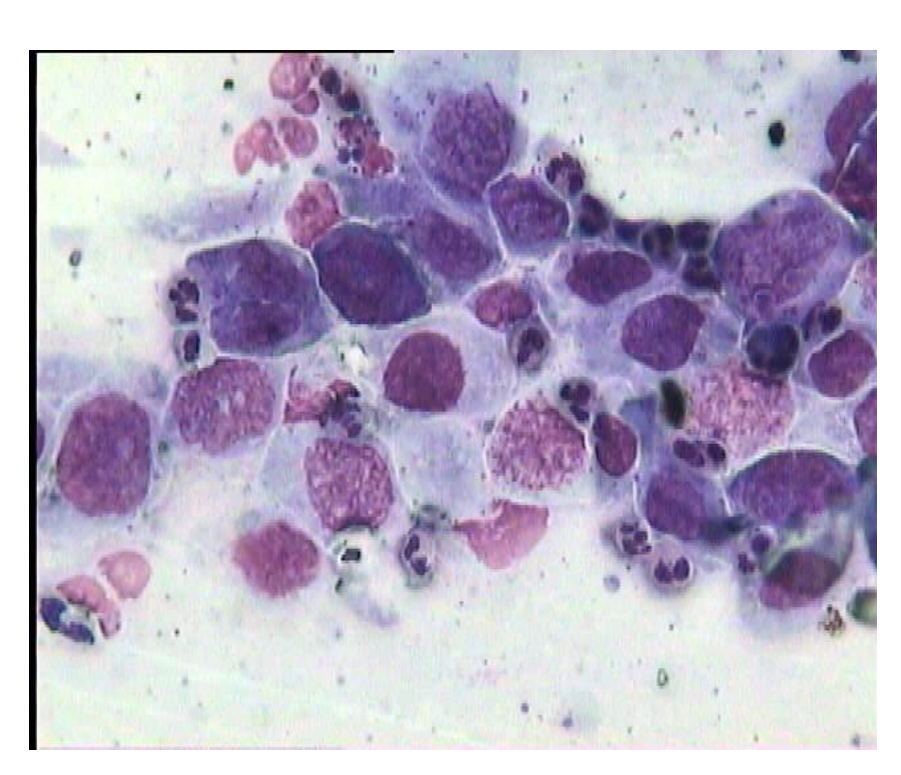


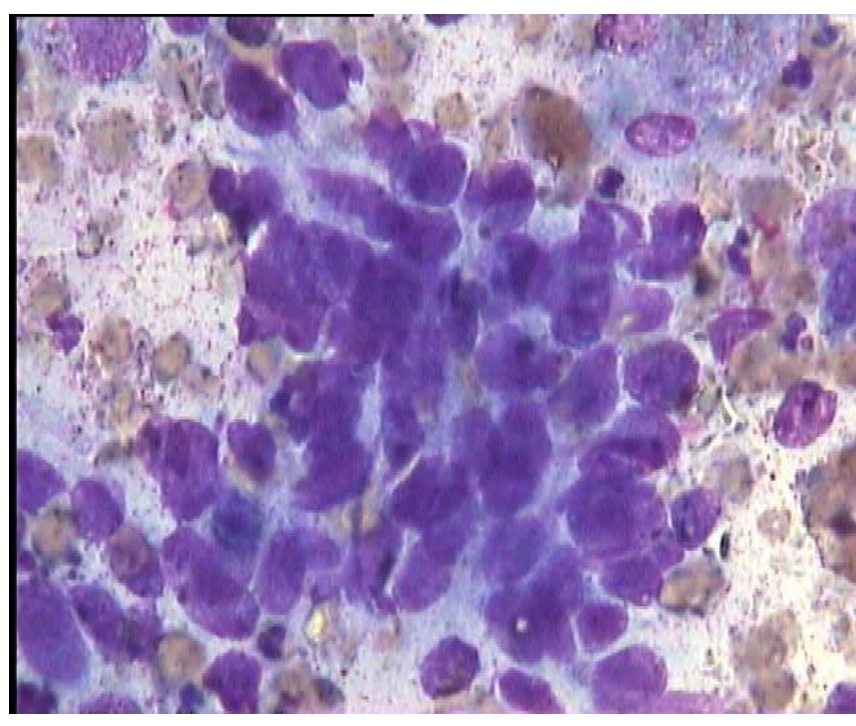
Мазок из шейки матки. Дисплазия III: а, б – разрозненно лежащие клетки, в – синцитиоподобная структура. Дискариоз в клетках парабазального типа: ядерно-цитоплазменное соотношение сдвинуто в сторону ядра, неровный контур ядер, хроматин зернистый, распределен сравнительно равномерно. Окрашивание по Романовскому, ×1000

Плоское интраэпителиальное поражение высокой степени (тяжелая дисплазия -CIN III)



Плоское интраэпителиальное поражение высокой степени (внутриэпителиальный рак - CIS)

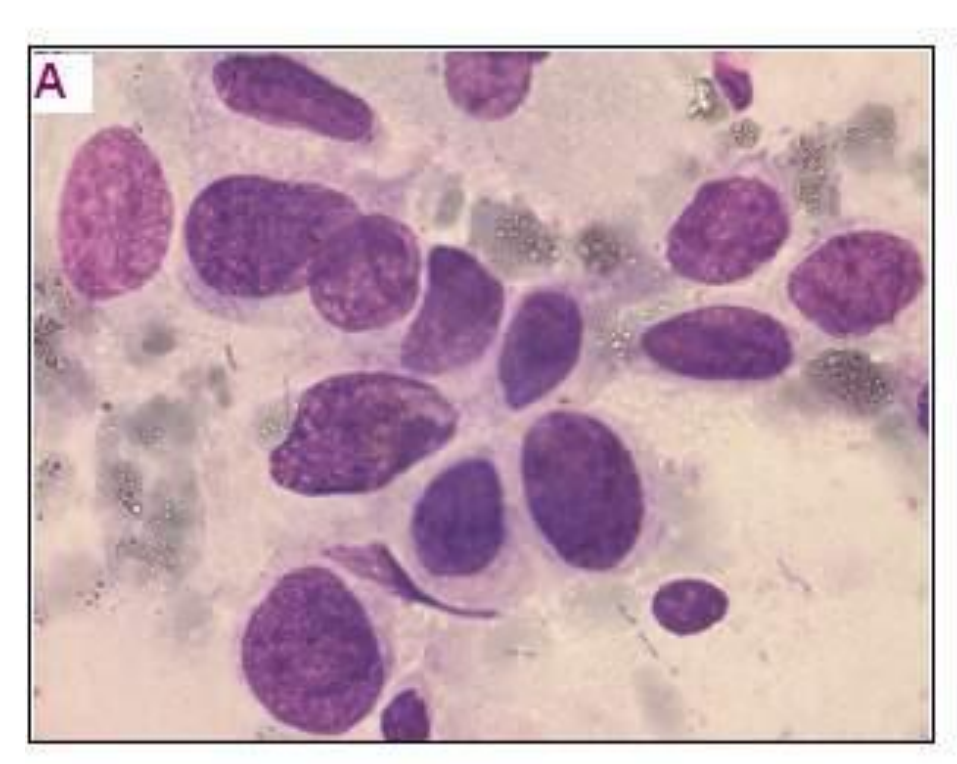


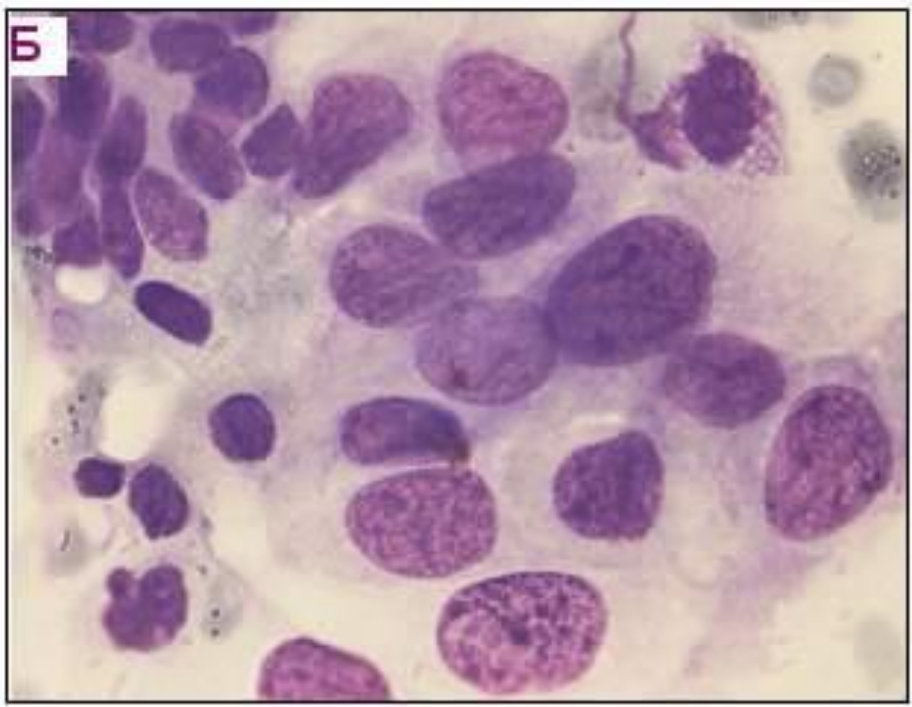


Плоское интраэпителиальное поражение высокой степени (внутриэпителиальный рак - CIS)

Внутриэпителиальная неоплазия (дисплазия)







Внутриэпителиальный рак. Рыхлые синцитиоподобные структуры из незрелых клеток. Изменения в клетках сравнительно мономорфные. Окрашивание по Паппенгейму, ×1000

Рак шейки матки –

это злокачественное новообразование, возникающее в области шейки матки.

Гистологическая классификация:

 Плоскоклеточный рак



Аденокарцинома



Poct:

- Экзофитный
- •Эндофитный



При гинекологическом исследовании: Экзофитный рост: Эндофитный рост:

- Разрастания по типу цветной капусты красного, серозеленого или белесоватого цвета, легко разрушающиеся и кровоточащие при прикосновении
- При распаде гноевидные или цвета мясных помоев выделения с зловонным запахом
- Наложения фибрина серого

цвета



- Увеличение шейки матки
- Бочкообразная форма, неровная бугристая поверхность и неравномерная розовомраморная окраска шейки матки
- Инфильтраты в параметрии, малом тазу при ректовагинальном исследовании





-дисплазия



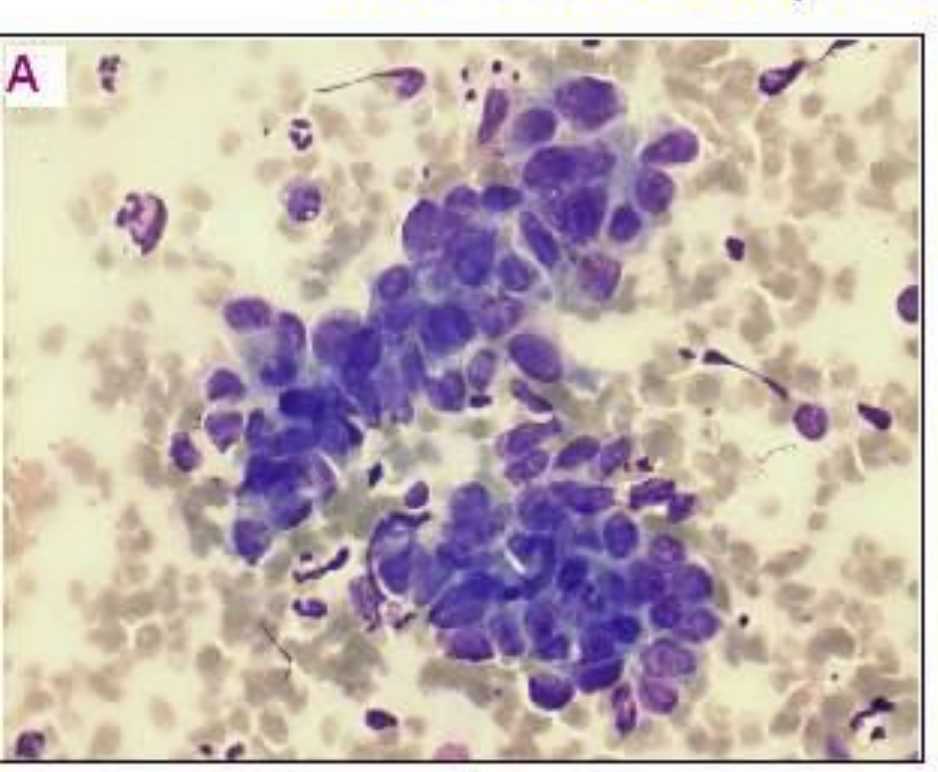
РАК ШЕЙКИ МАТКИ-

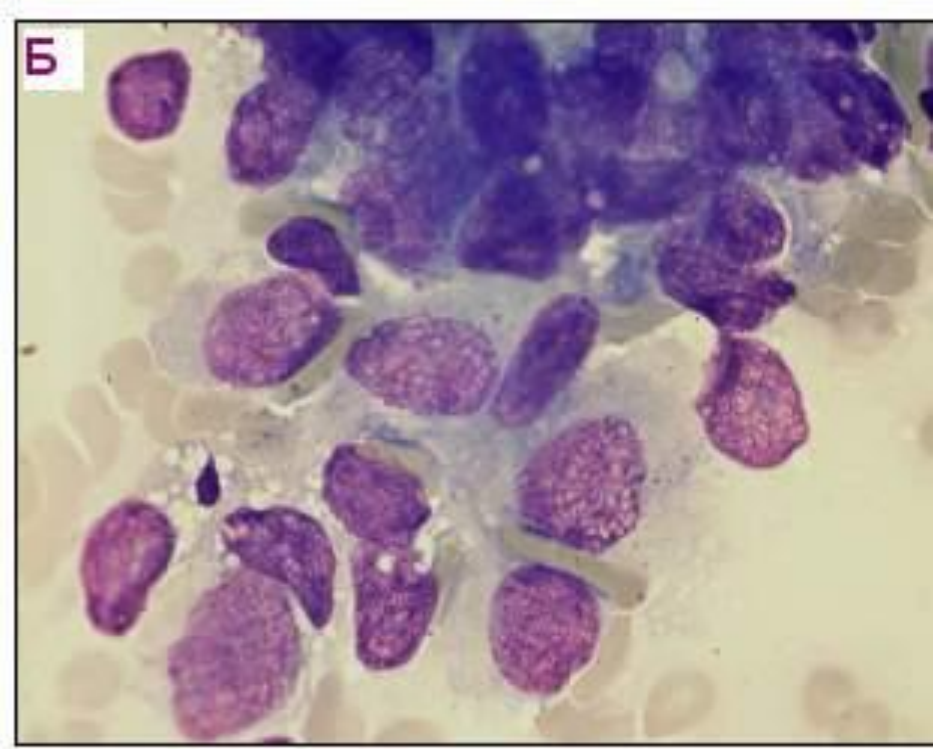
Инвазивный рак

- Плоскоклеточный рак (TBS)
- Плоскоклеточный рак с ороговением
- Плоскоклеточный рак из мелких клеток

Плоскоклеточный рак без ороговения. Примеры



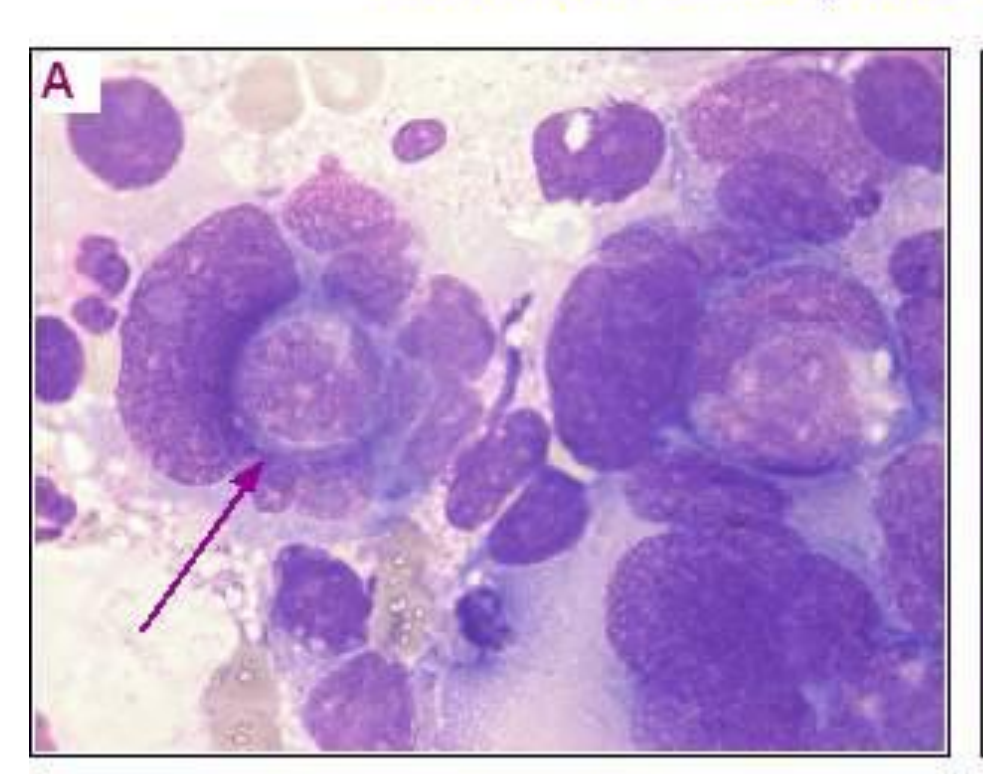


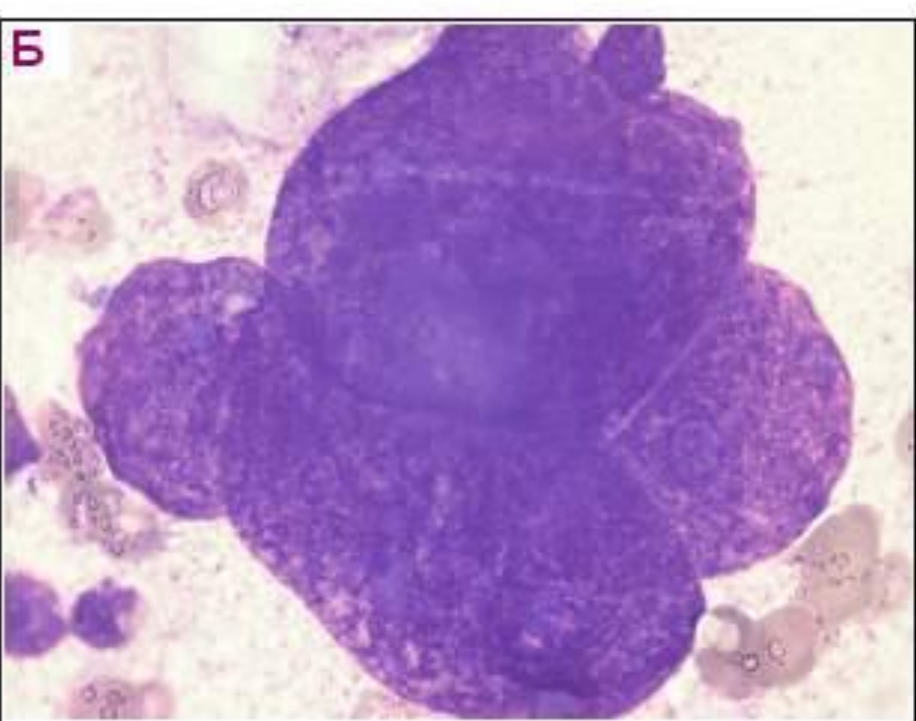


Мазки из эктоцервикса. Комплексы из клеток рака: клетки разных размеров и формы, ориентированы в разных направлениях с полиморфными ядрами. Хроматин грубозернистый, тяжистый, распределен неравномерно, выражены ядрышки. Окрашивание по Романовскому, А – ×400, Б– ×1000.

Плоскоклеточный рак без ороговения. Примеры



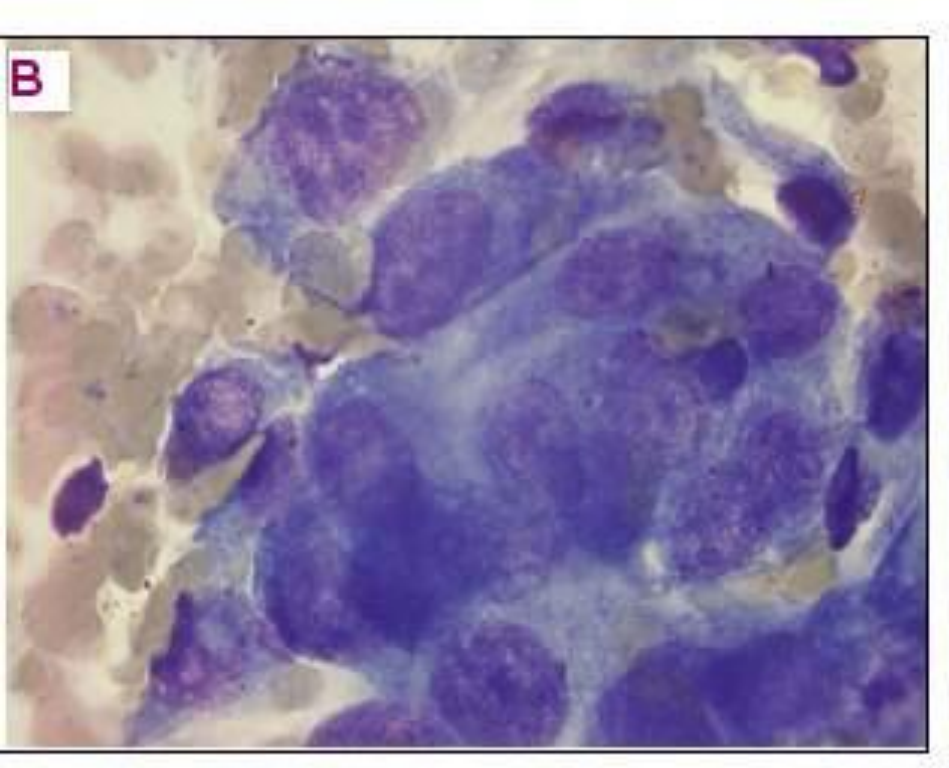


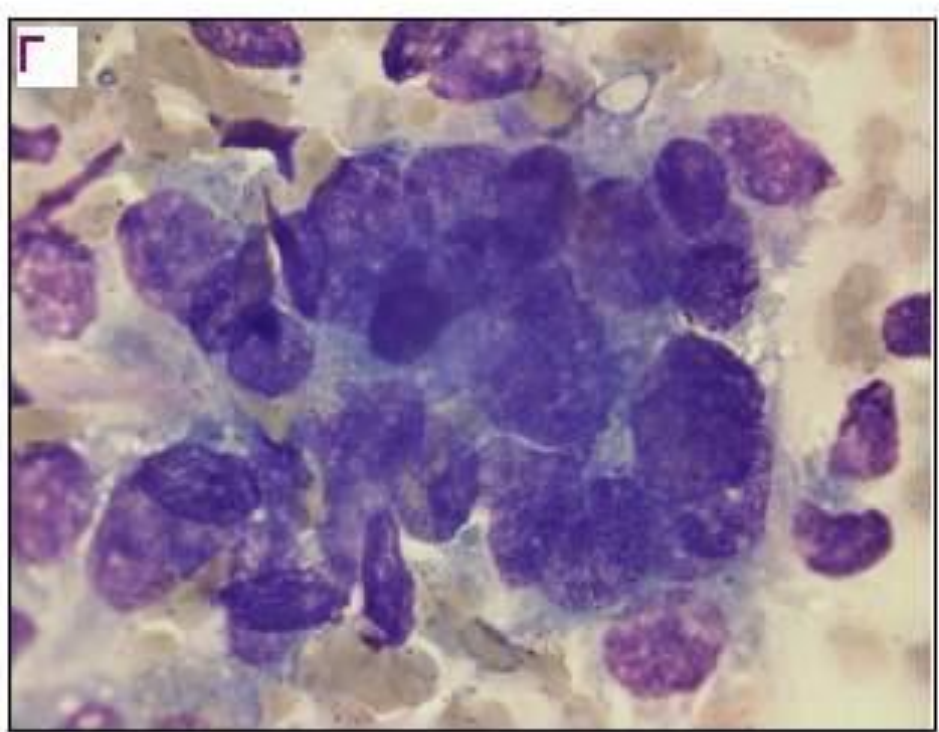


Мазки из эктоцервикса. Выраженный клеточный и ядерный полиморфизм, многоядерные клетки, «голые» ядра гигантских размеров, признаки аутофагии (отмечены стрелкой). Выраженный опухолевый диатез. Окрашивание по Романовскому, ×1000

Плоскоклеточный рак без ороговения. Примеры

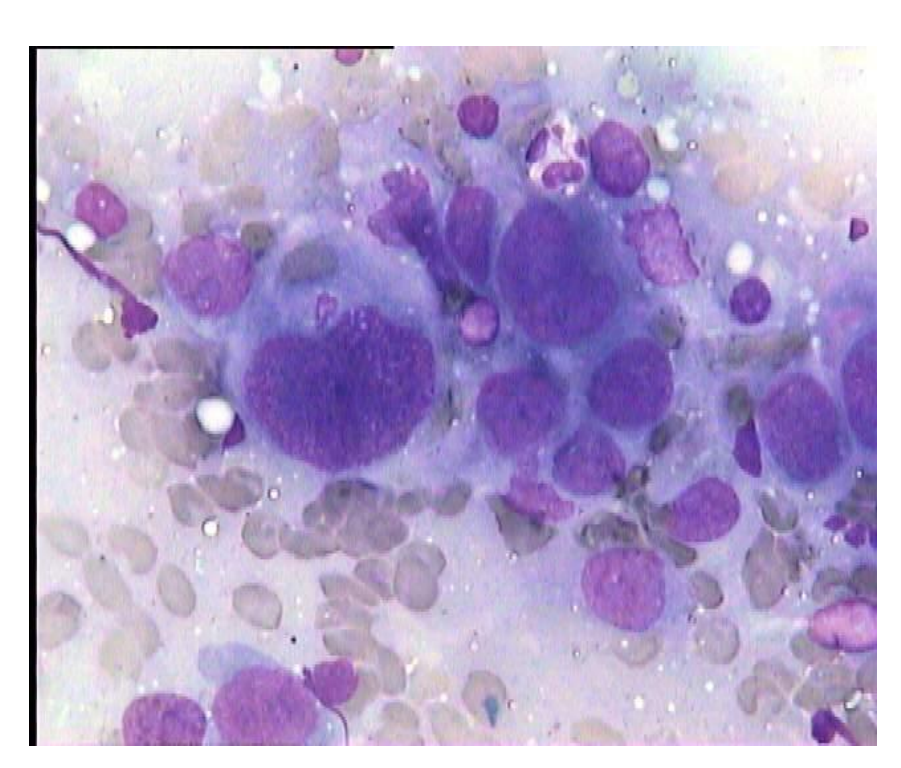


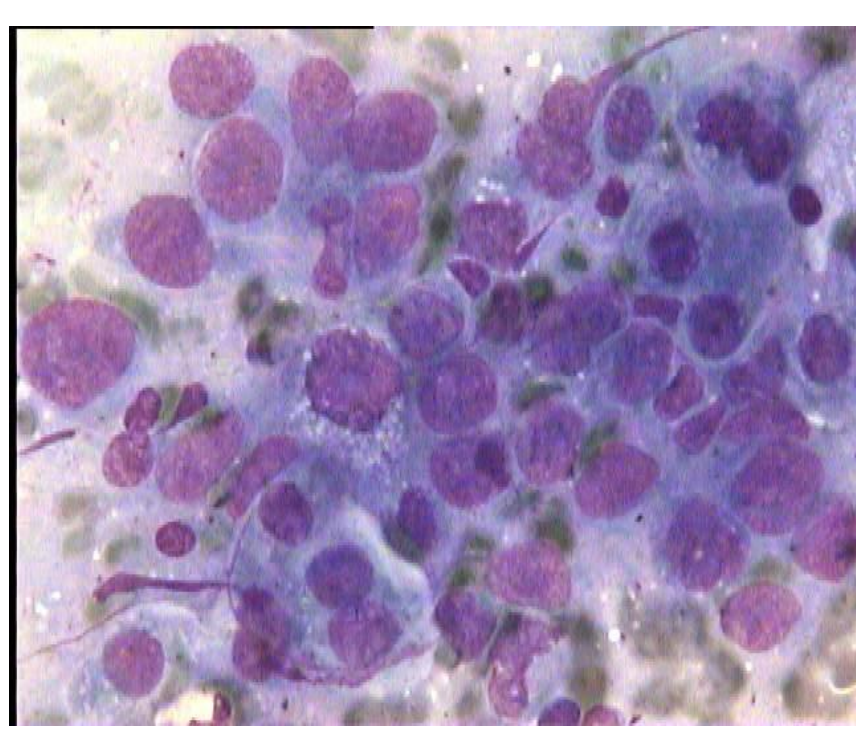




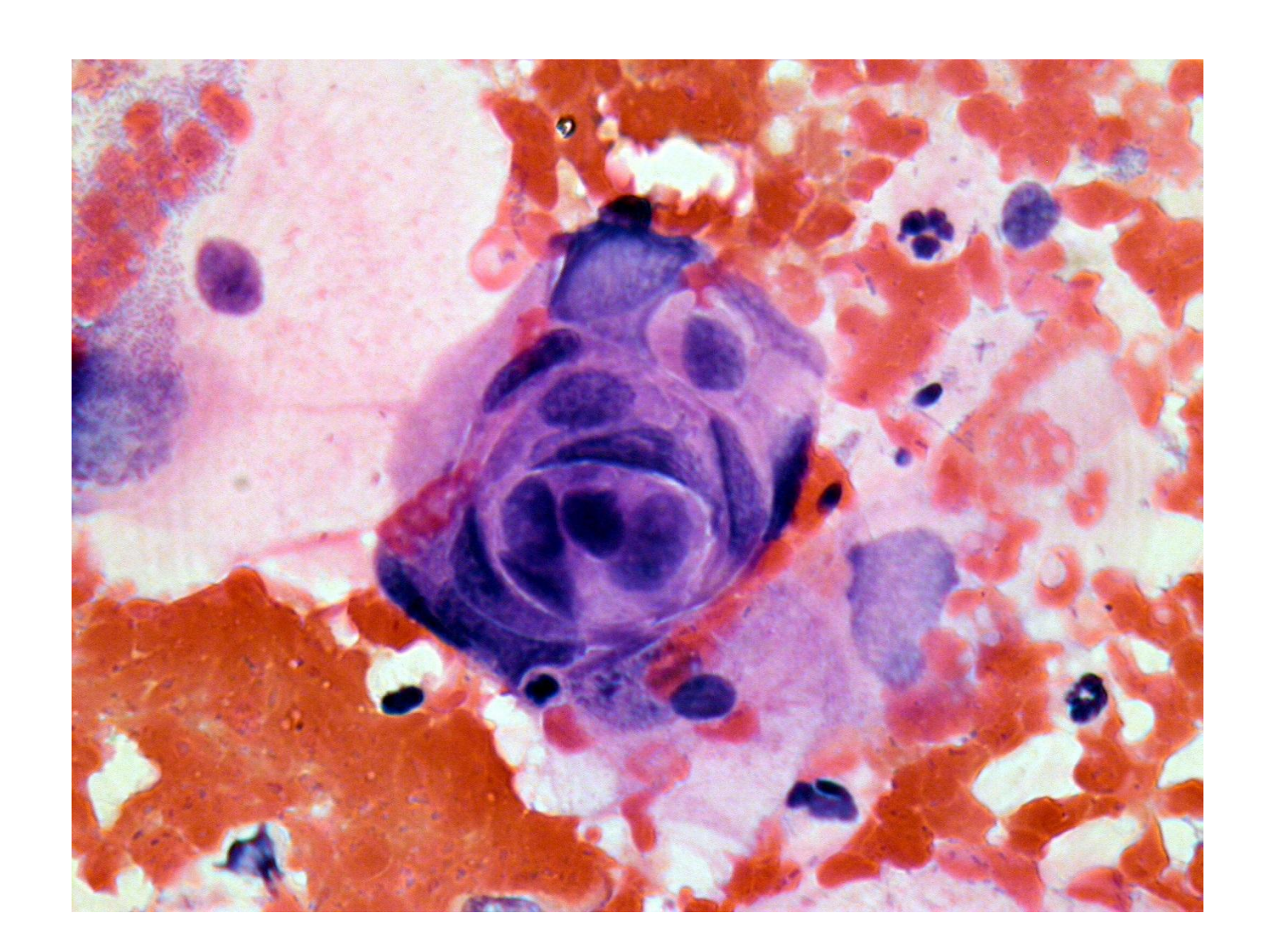
Мазки из эктоцервикса. Комплексы из клеток рака: клетки разных размеров и формы, ориентированы в разных направлениях с полиморфными ядрами. Хроматин грубозернистый, тяжистый, распределен неравномерно, выражены ядрышки. Окрашивание по Романовскому, ×1000

Плоскоклеточный рак, вероятно без ороговения



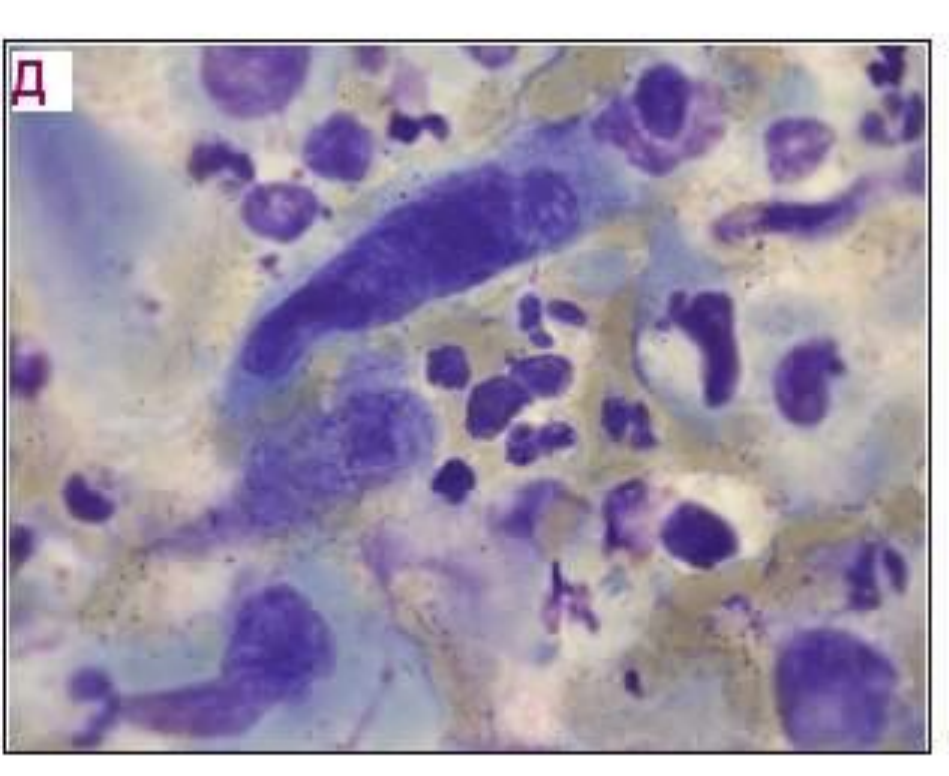


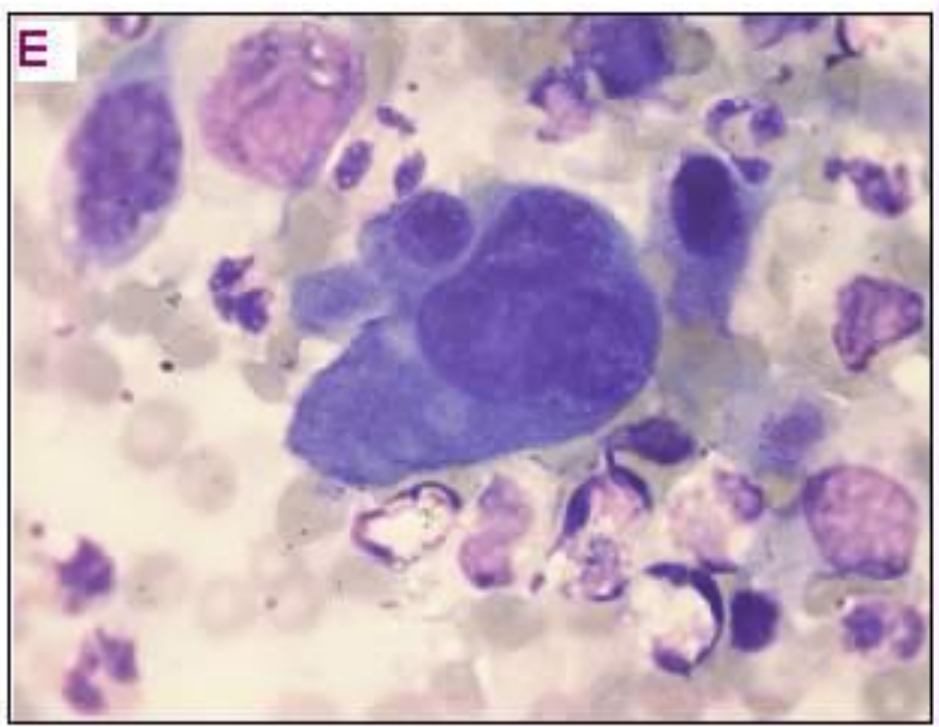
Плоскоклеточный рак с ороговением



Плоскоклеточный рак с ороговением. Примеры



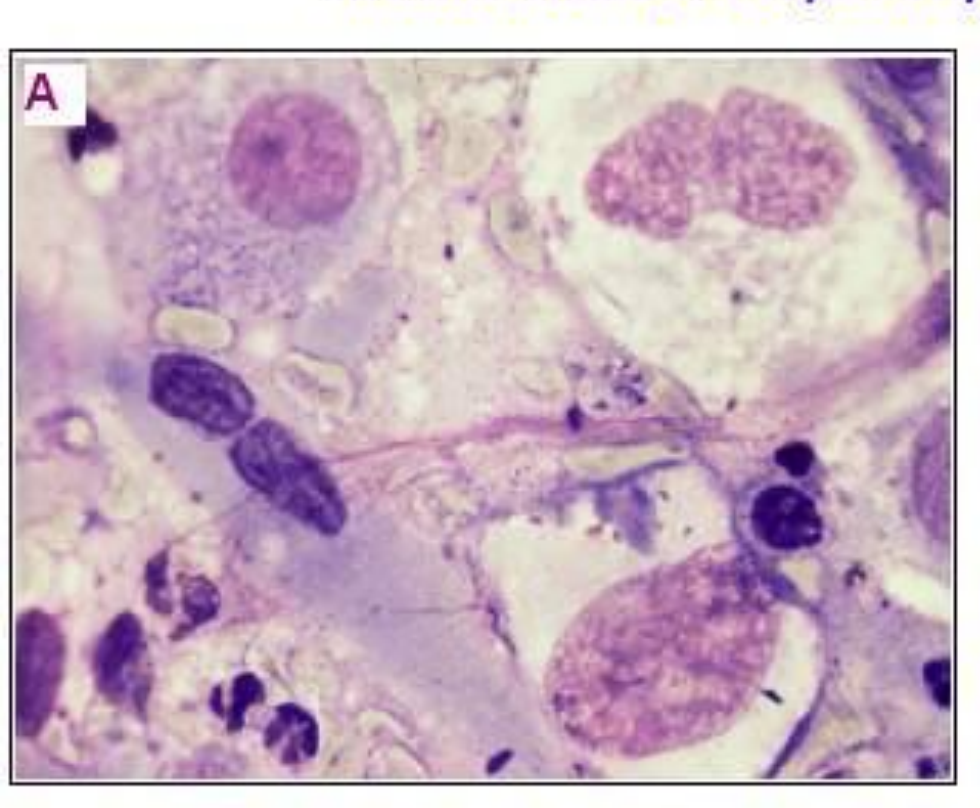


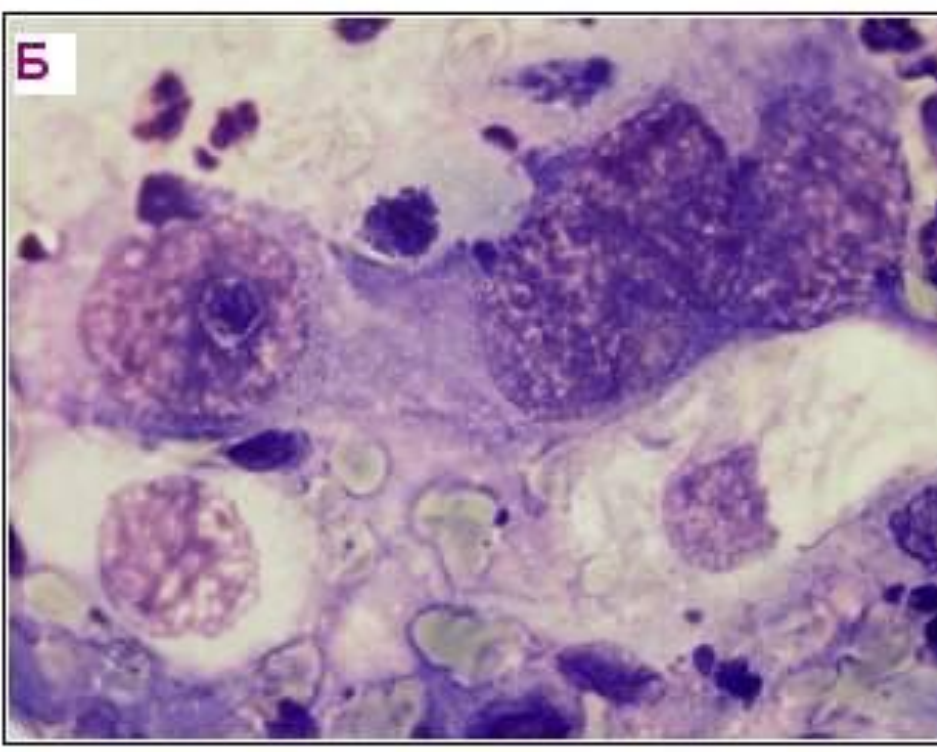


Клетки разного размера и формы. Веретенообразные клетки с полиморфными гиперхромными ядрами. Клетки-"головастики": округлое ядро занимает большую часть клетки, цитоплазма в виде шлейфа у одного из полюсов. Многоядерные клетки неправильной формы с полиморфными ядрами. Признаки ороговения: плотная базофильная цитоплазма, гиперхромные ядра. Выражен «опухолевый диатез». Окрашивание по Романовскому, х1000

Плоскоклеточный рак с ороговением. Примеры



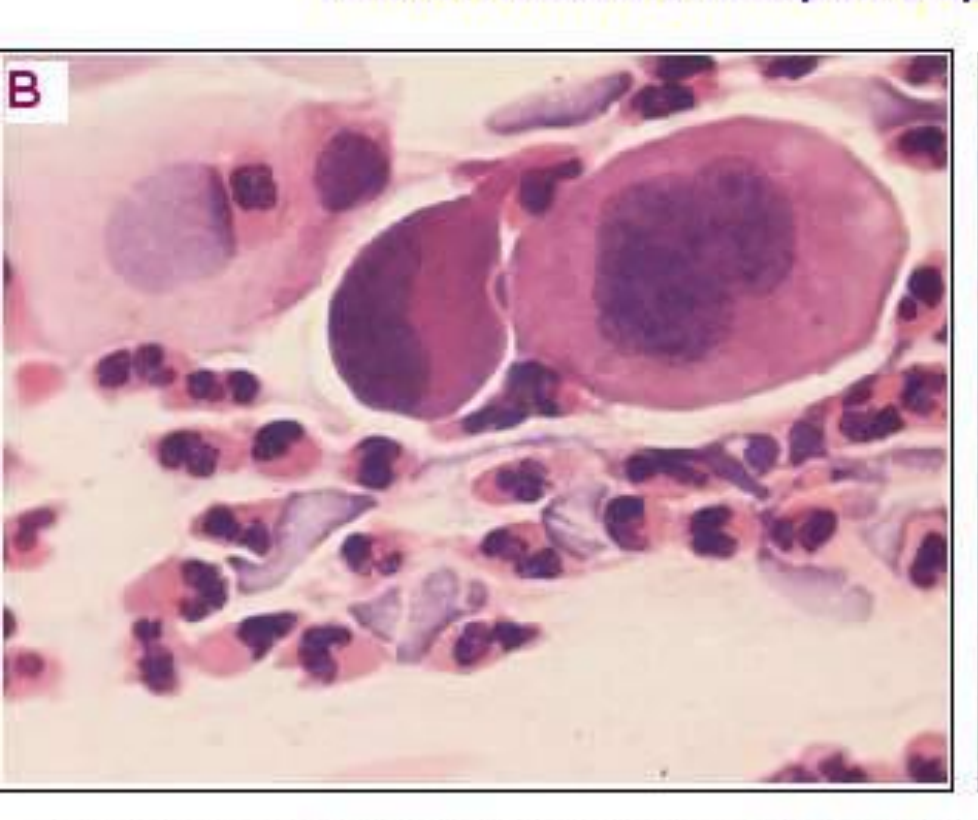


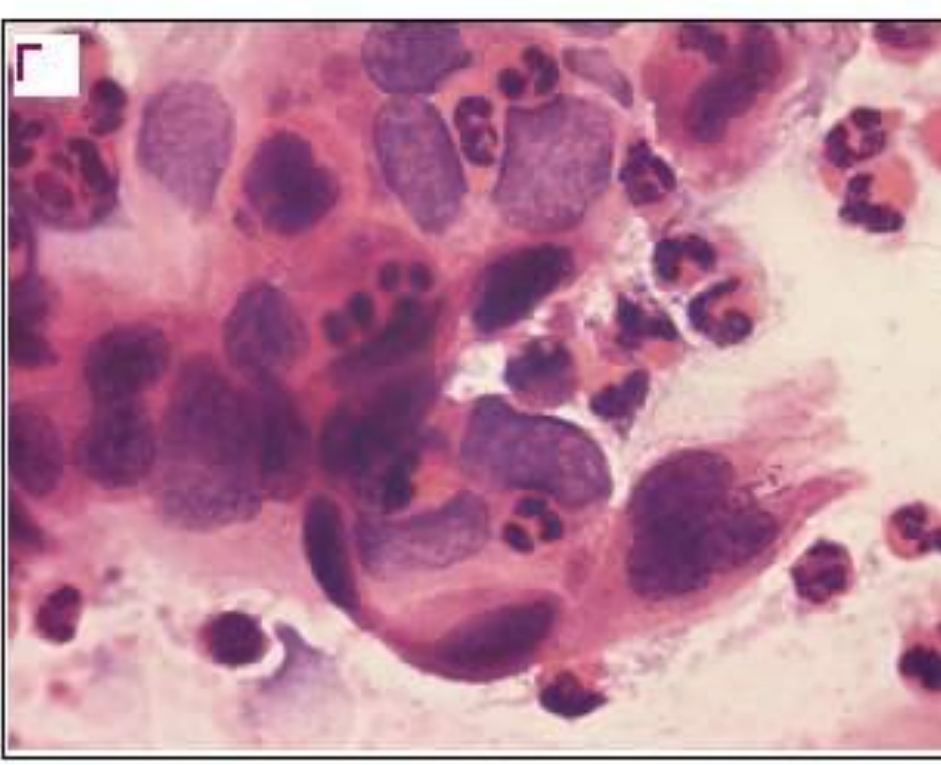


Плоскоклеточный рак с ороговением в атрофическом типе мазка. Атипия в поверхностных клетках и клетках глубоких слоев. Много клеток вытянутой и веретенообразной формы с гиперхромией ядер, плотной цитоплазмой. Окрашивание по Романовскому, ×1000

Плоскоклеточный рак с ороговением. Примеры



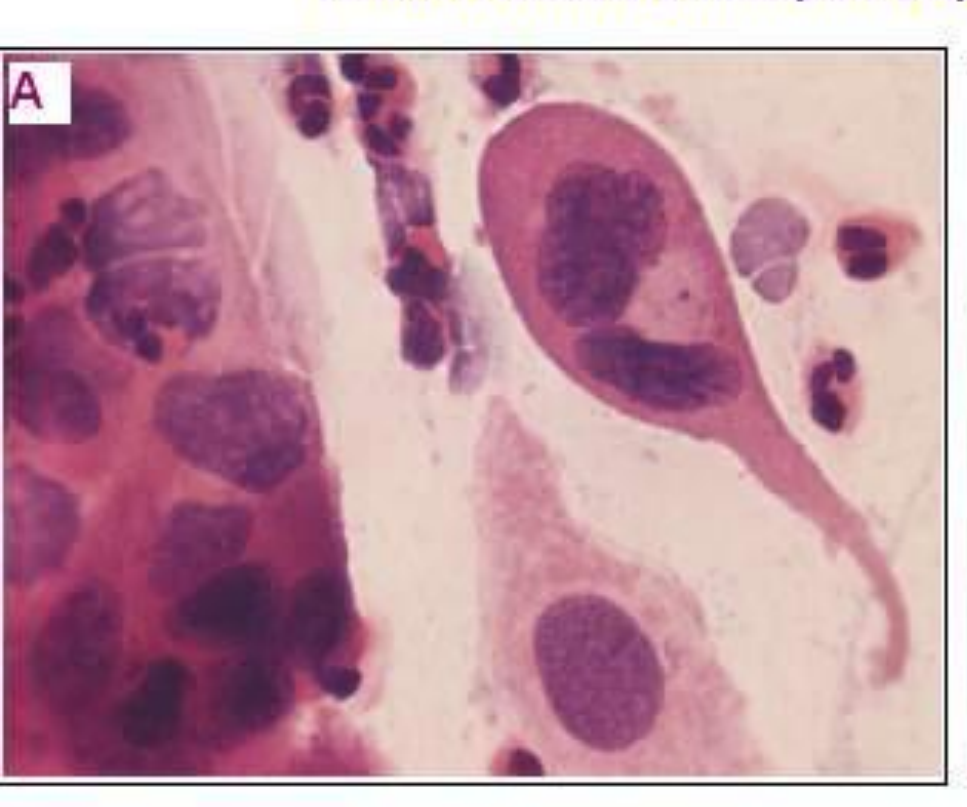


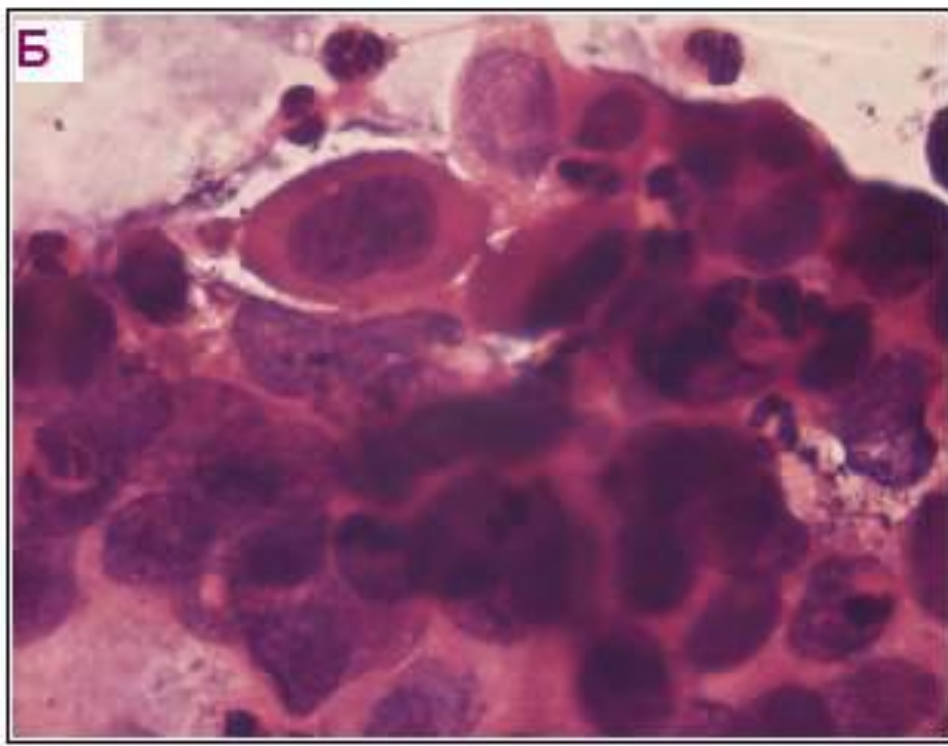


Клетки с атипией разного размера и формы: полигональной, веретенообразной, «клетки-головастики», многоядерные. Располагаются в скоплениях, комплексах, разрозненно. Цитоплазма плотная, ядра в части клеток гиперхромные. Окрашивание гематоксилин-эозином, ×1000

Плоскоклеточный рак с ороговением. Примеры





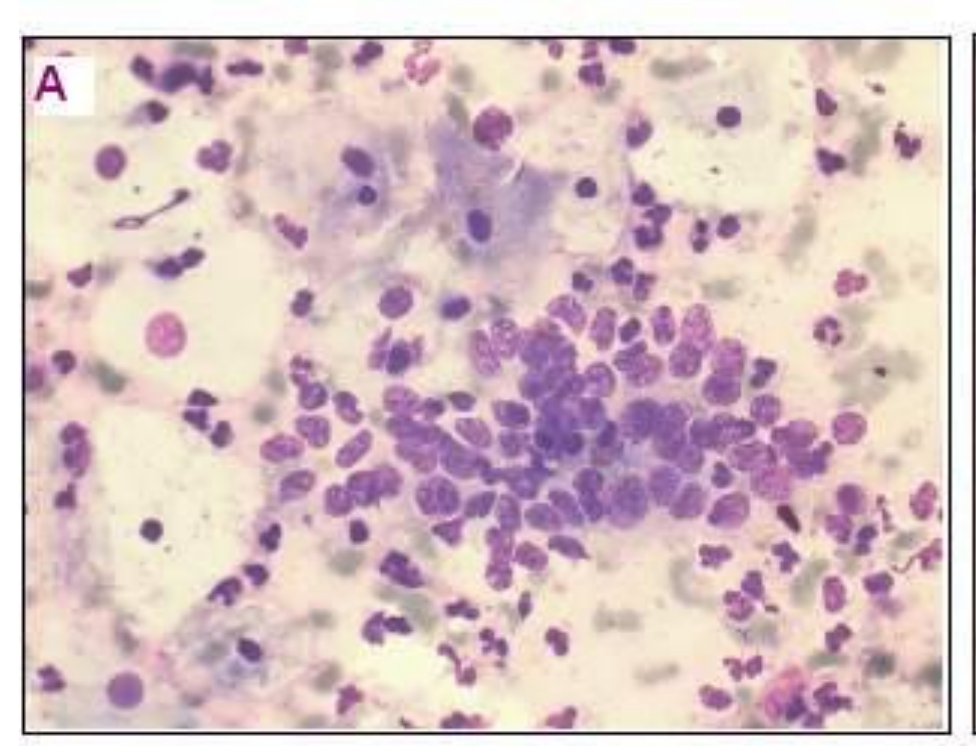


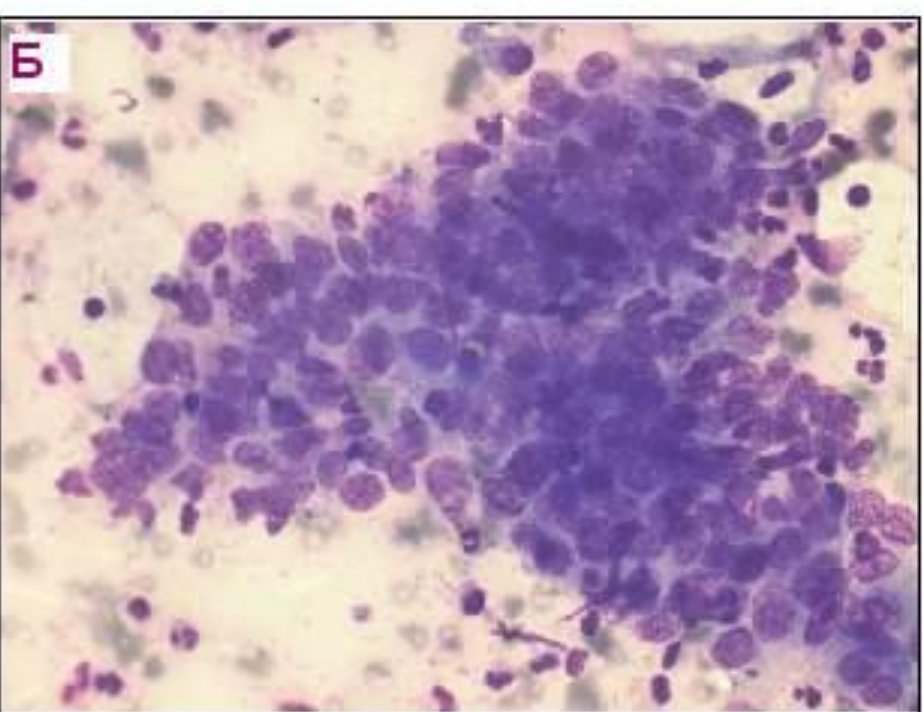
Клетки с атипией разного размера и формы: полигональной, веретенообразной, «клетки-головастики», многоядерные. Располагаются в скоплениях, комплексах, разрозненно. Цитоплазма плотная, ядра в части клеток гиперхромные. Окрашивание гематоксилин-эозином, ×1000

Плоскоклеточный рак из мелких клеток

Плоскоклеточный рак из мелких клеток. Примеры



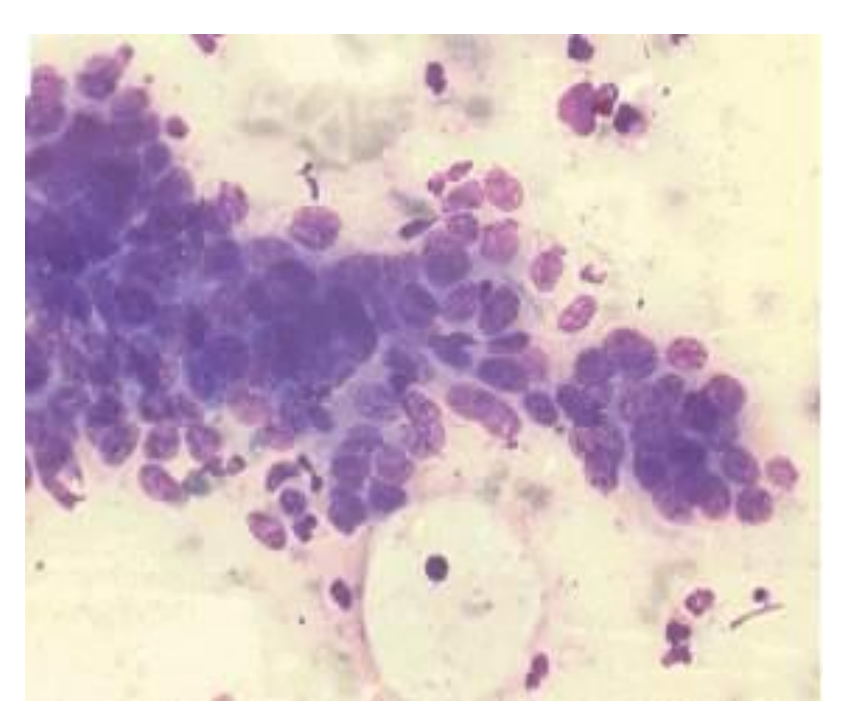


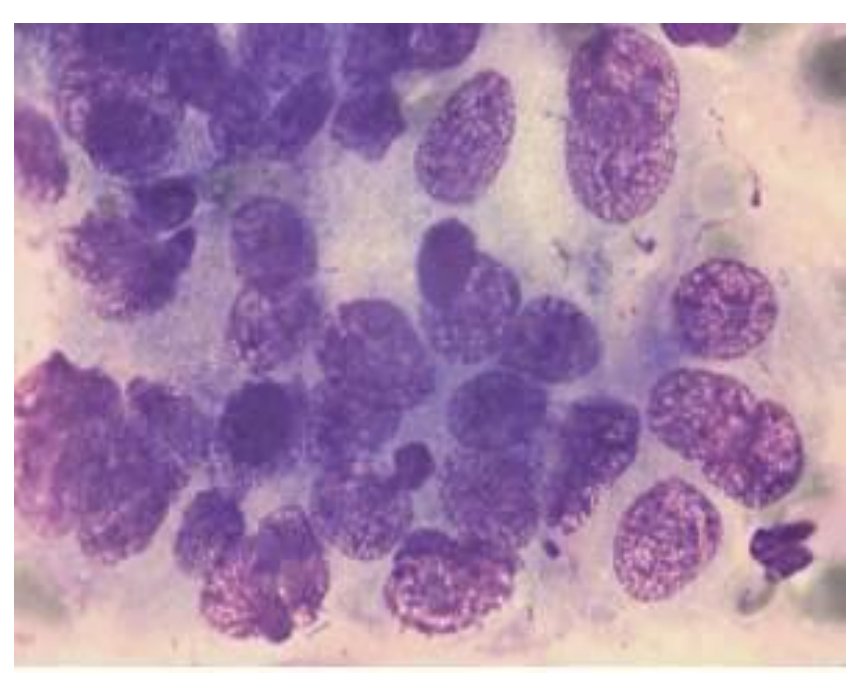


Мазки из эктоцервикса. Окрашивание по Паппенгейму.А, Б — структуры неопределенной формы из мелких клеток, распределение клеток хаотичное. Фон - выражен опухолевый диатез, присутствуют клетки плоского эпителия поверхностного и промежуточного типа. x400



Плоскоклеточный рак из мелких клеток





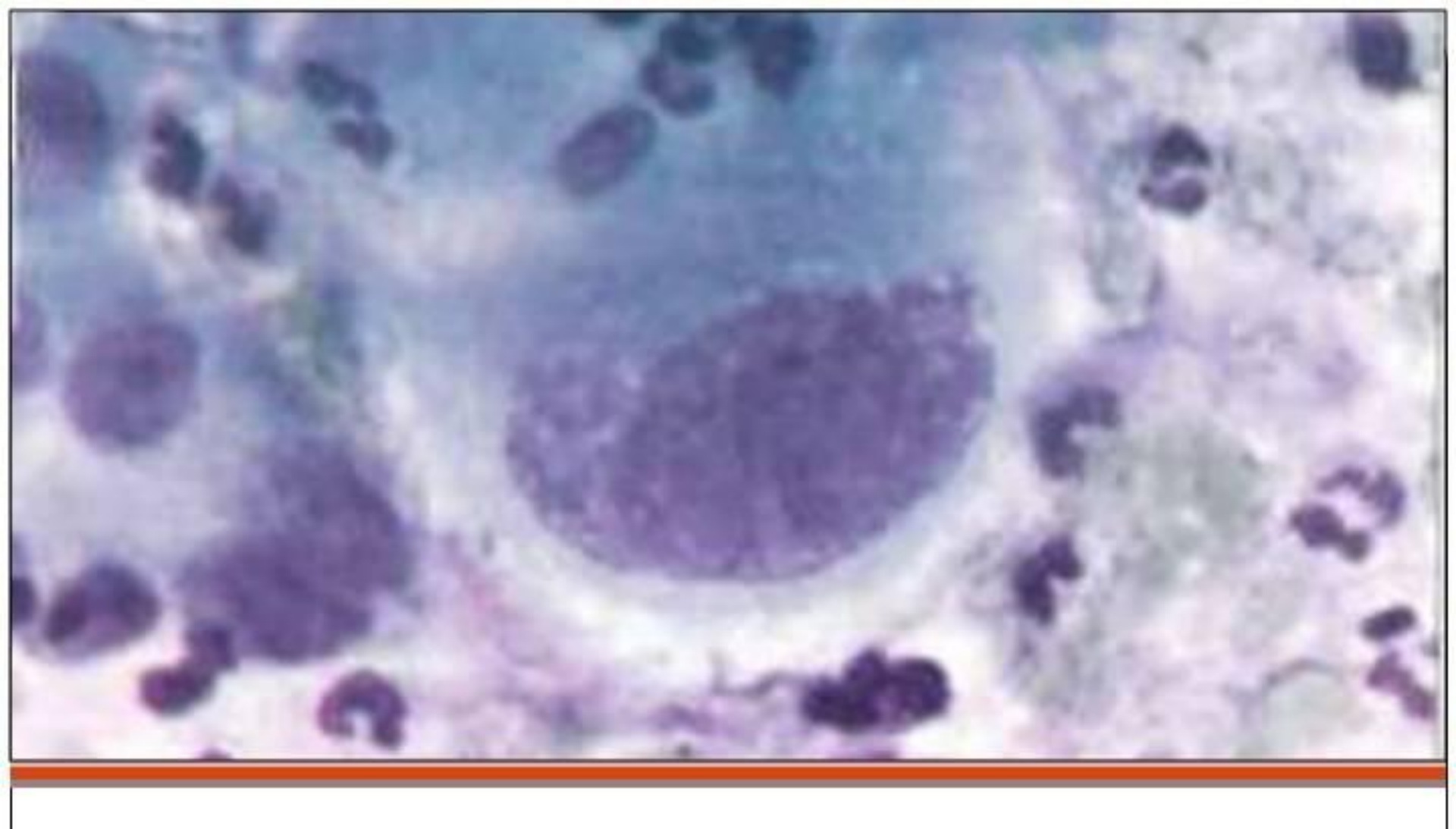
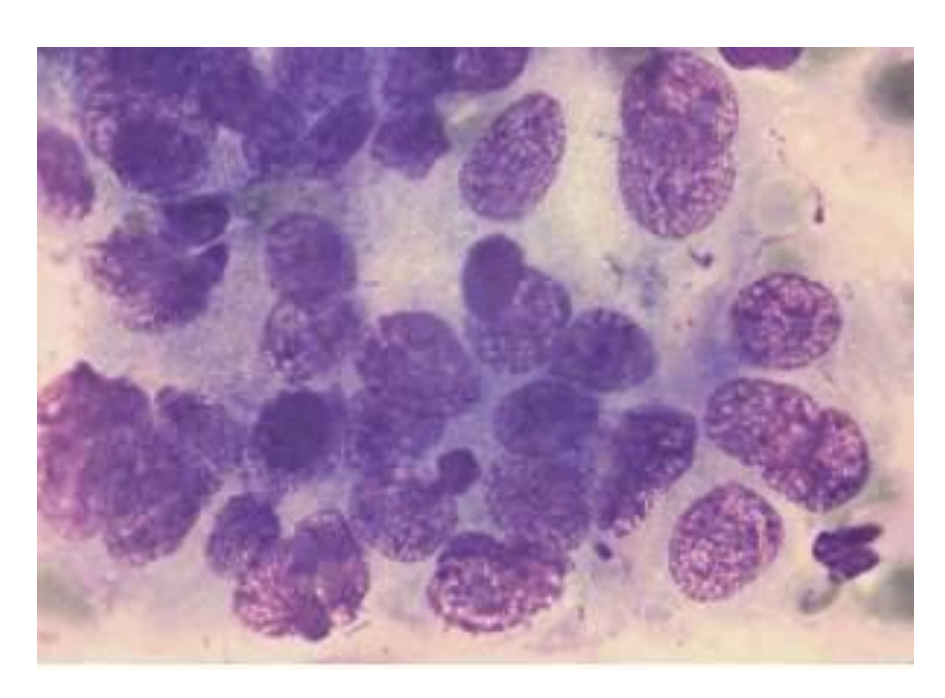
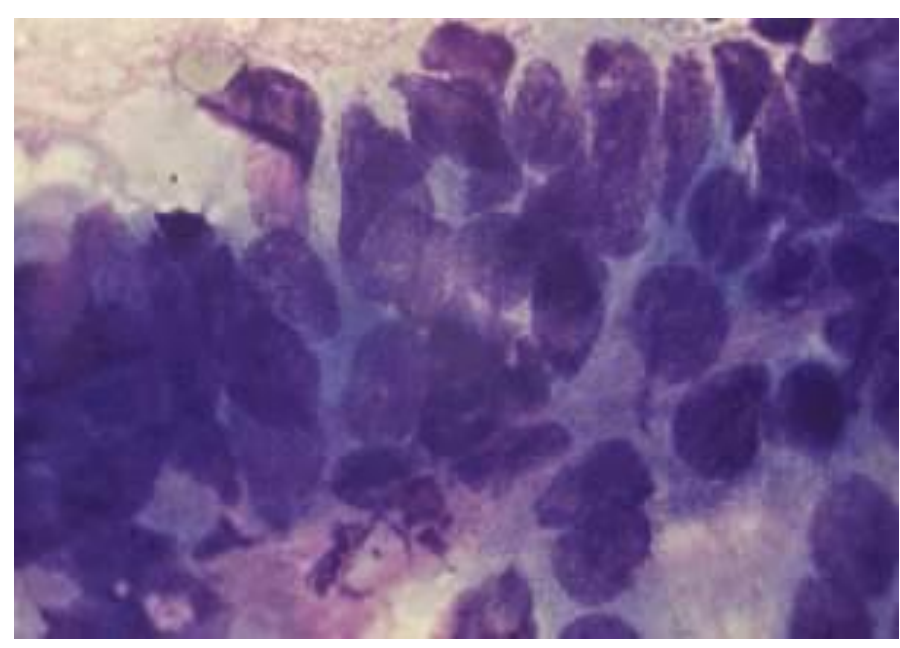


Рис. 144. Светлоклеточный рак. Мазок с опухоли шейки матки. Клетки крупных и гигантских размеров. Ядра округлые, полиморфные. Окрашивание по Романовскому. x600

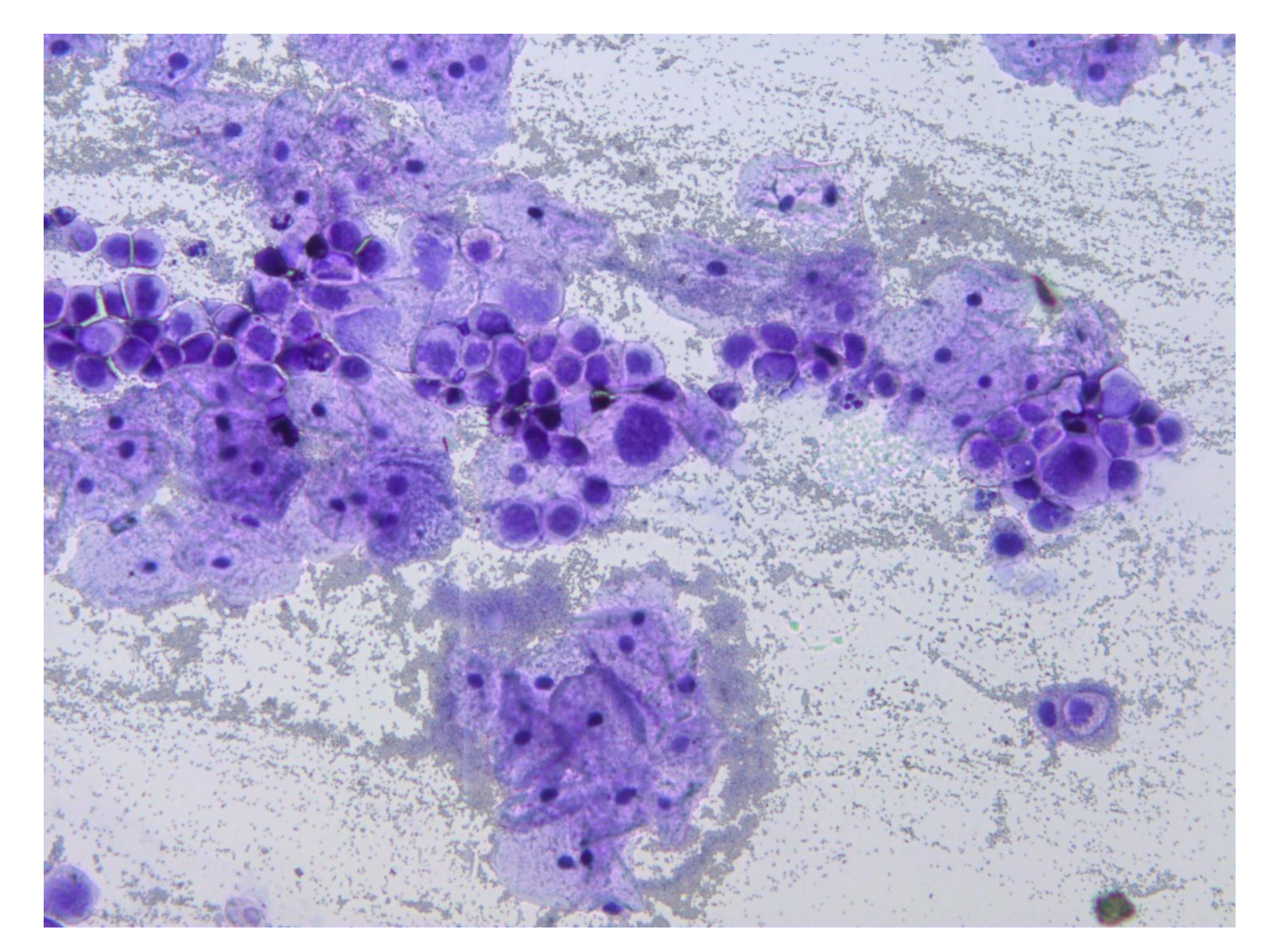
Диф. диагноз: плоскоклеточный рак из мелких клеток и атипическая гиперплазия

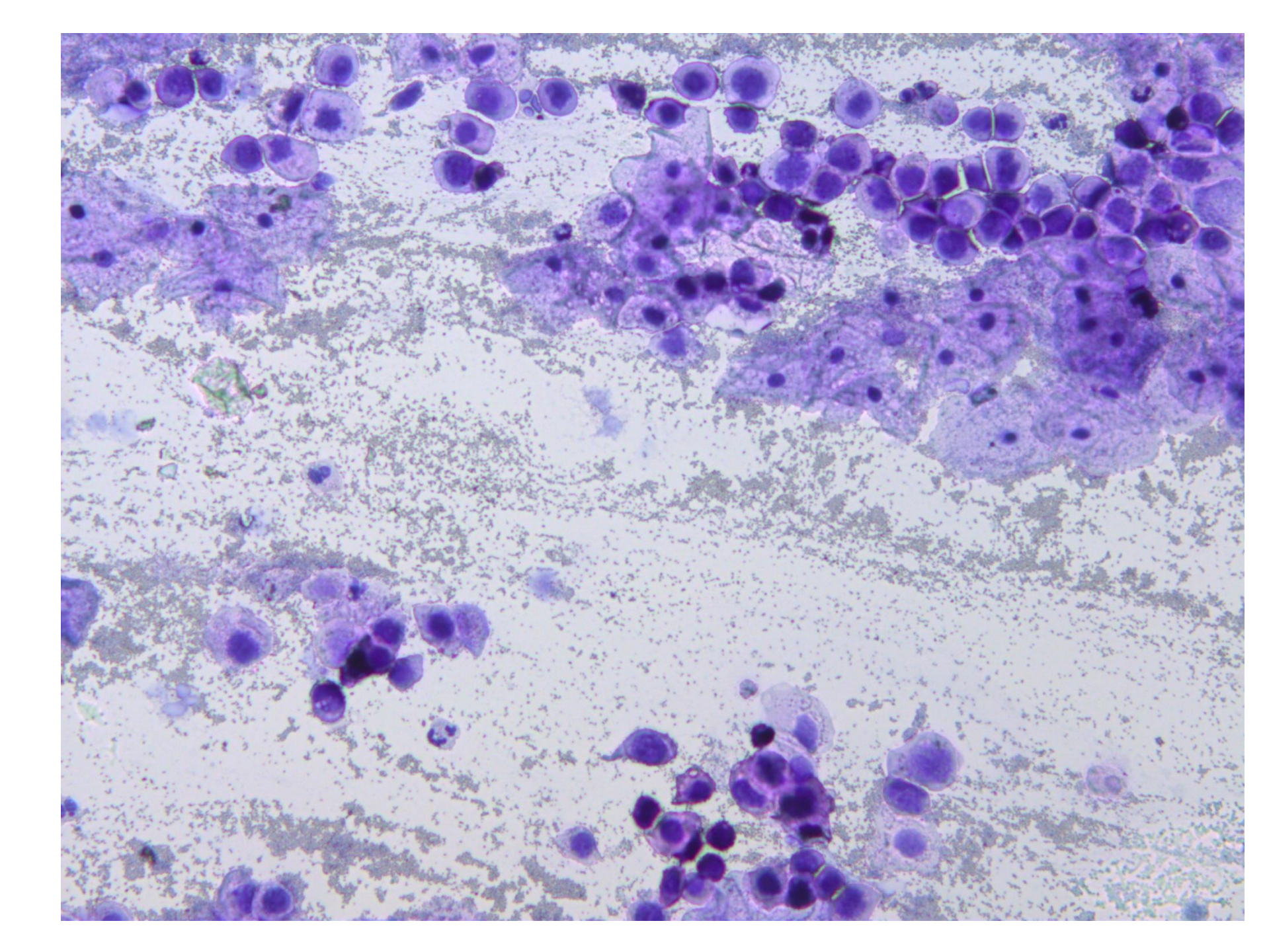


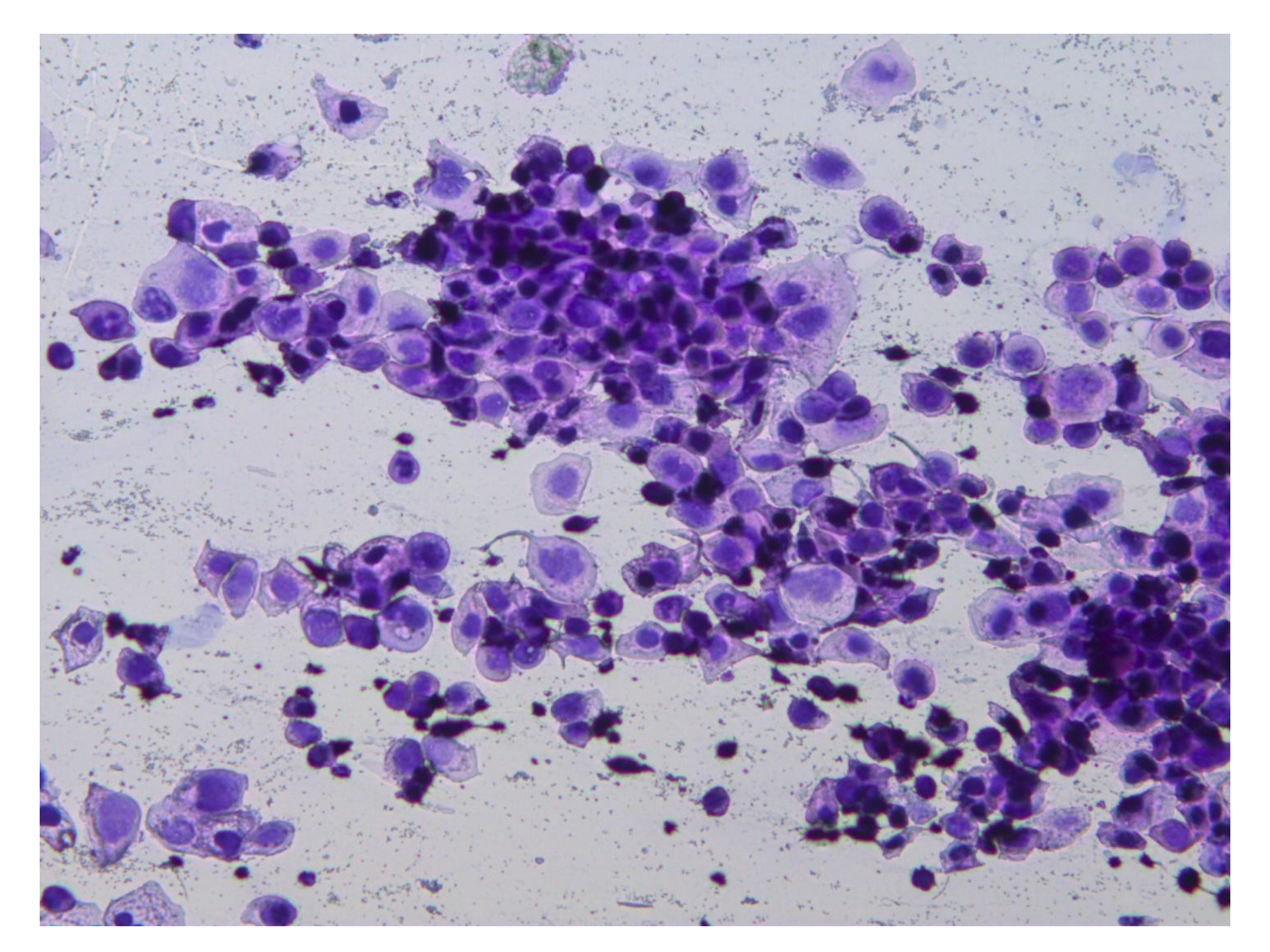


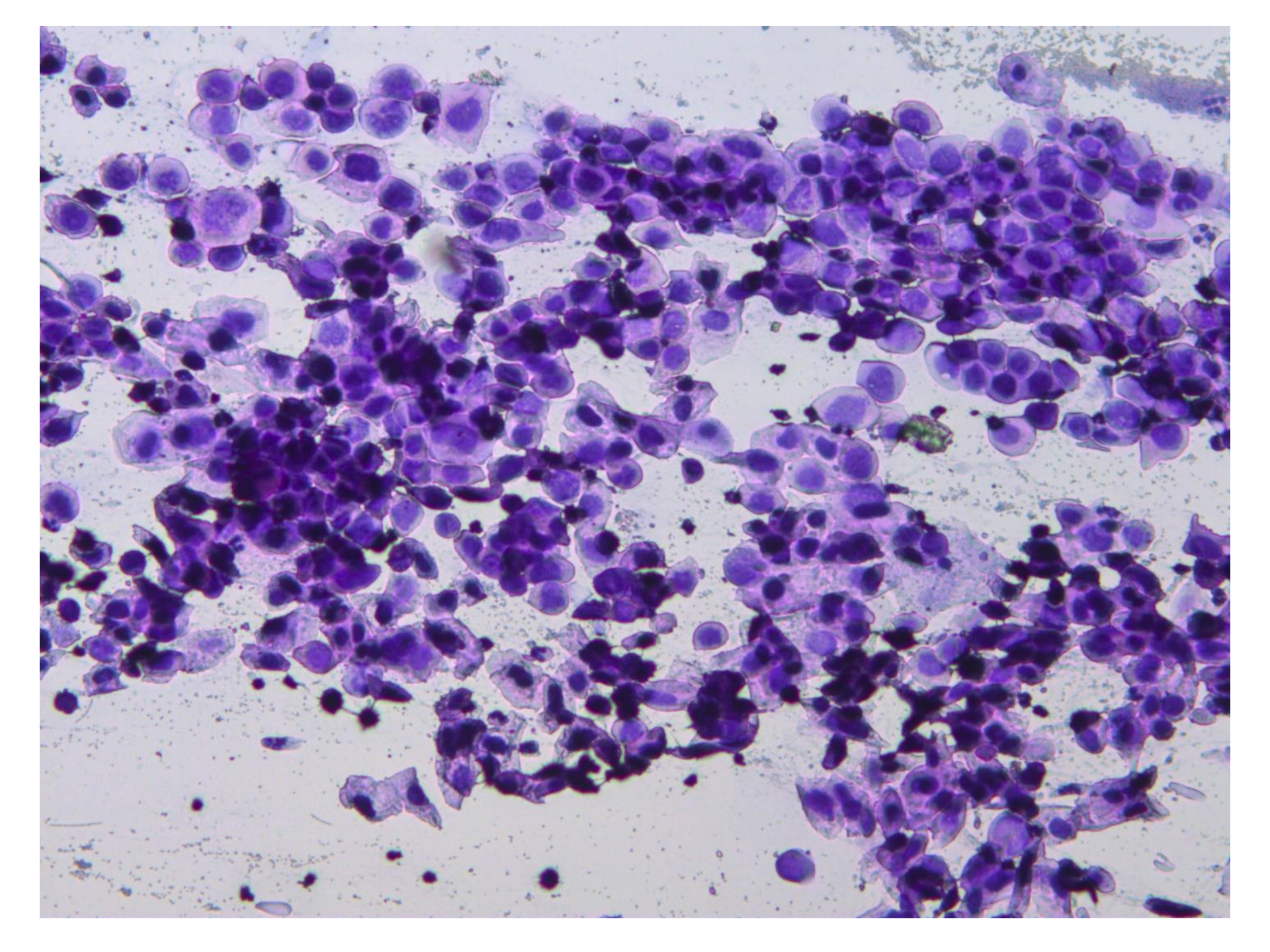
Пример

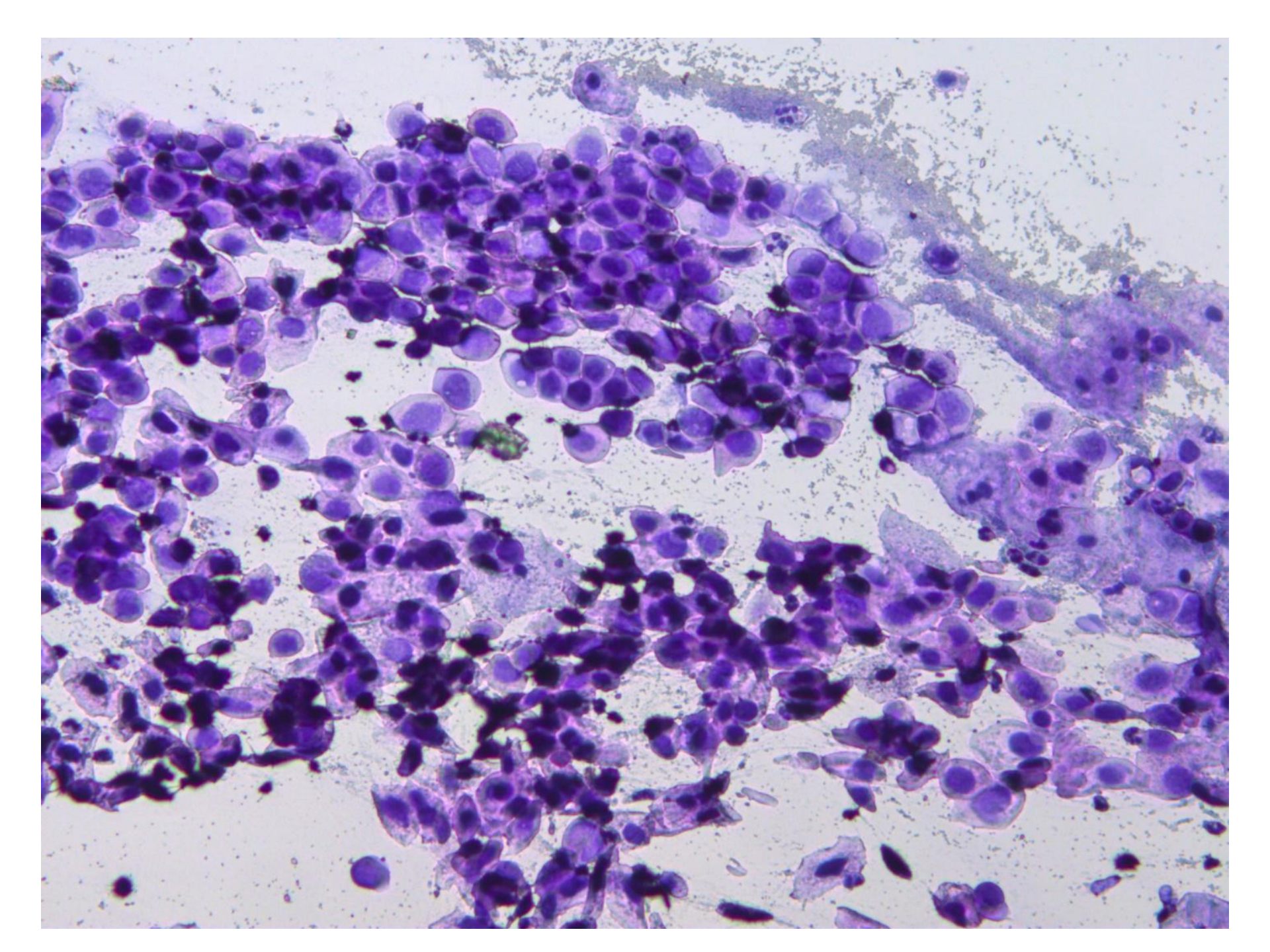
- Больная М, 1976г.р. Здорова, 12-й день цикла. Соскоб с эндоцервикса.
- На фоне бактериального вагиноза клетки плоского эпителия разных слоёв с признаками Д2. Признаки вирусного поражения. Плоскоклеточная метаплазия.

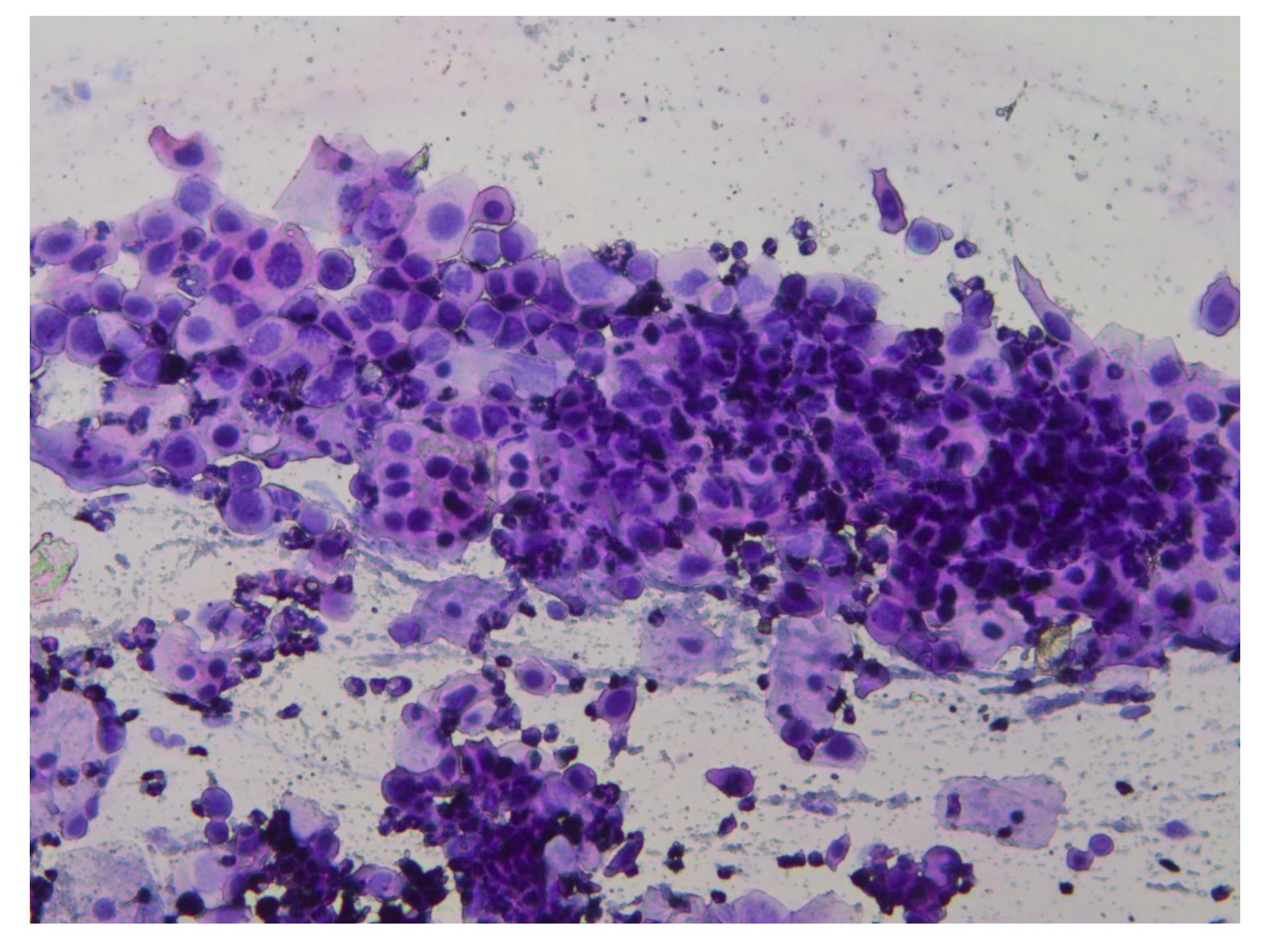










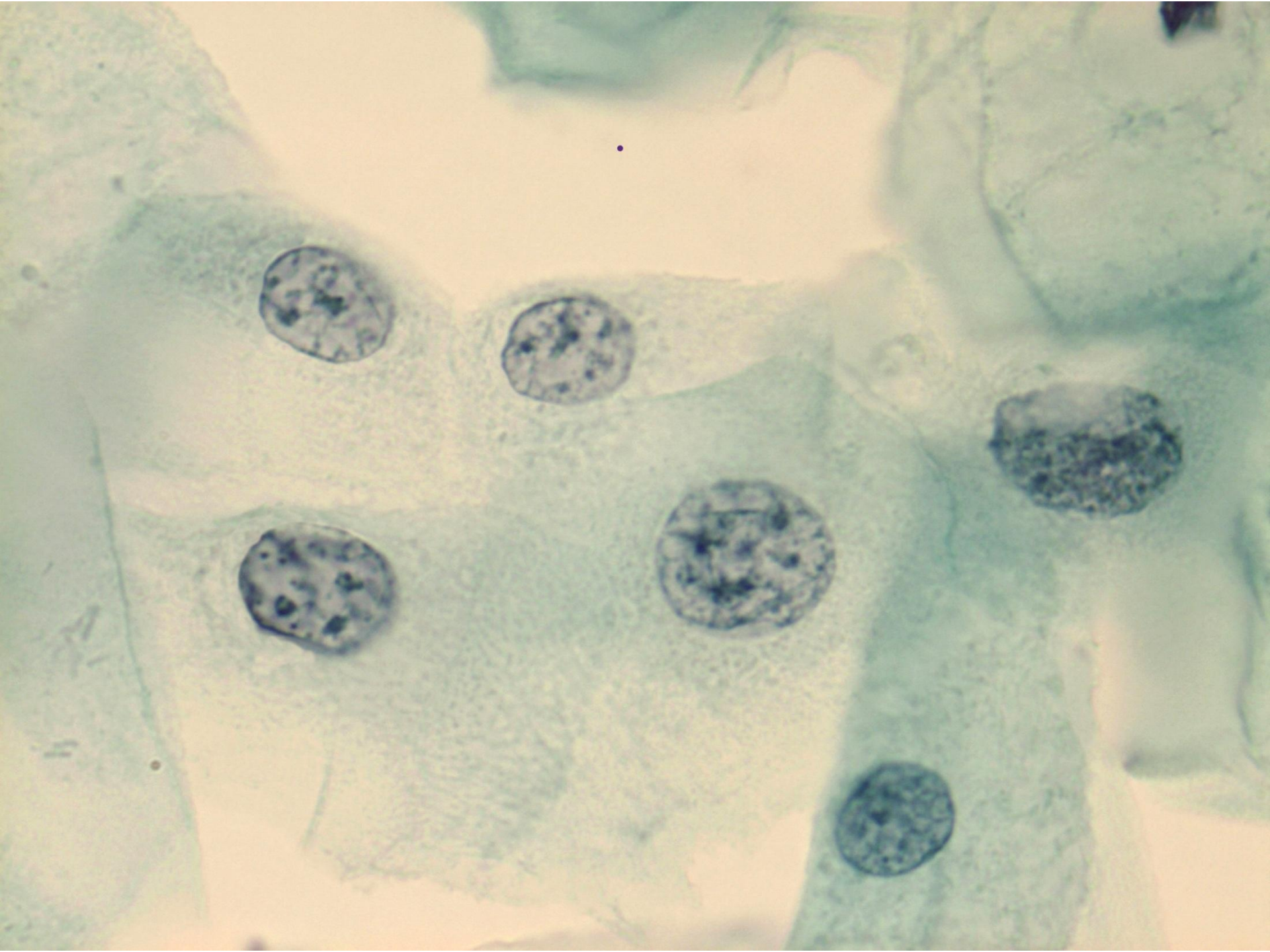


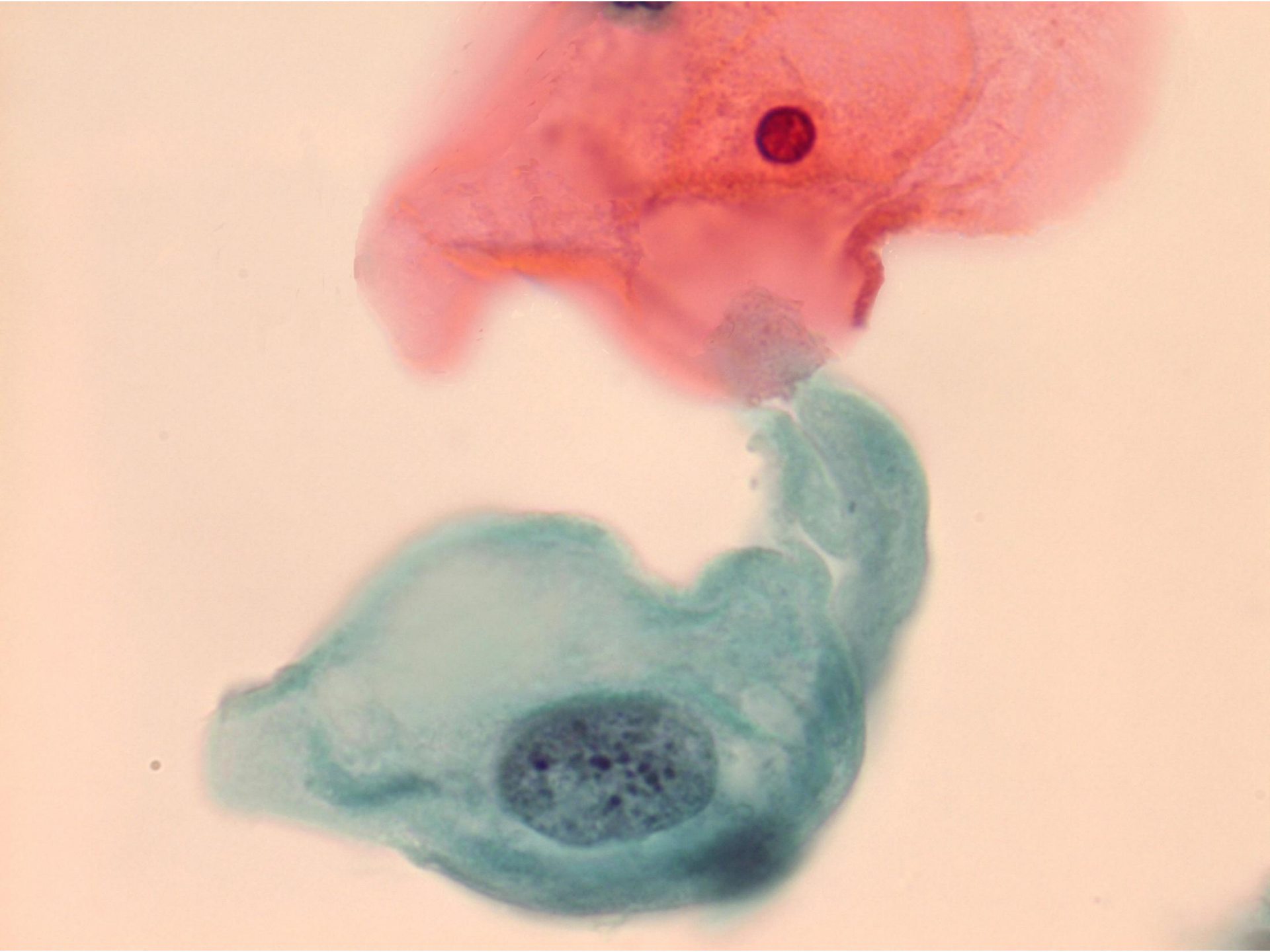
Контрольное задание № 1

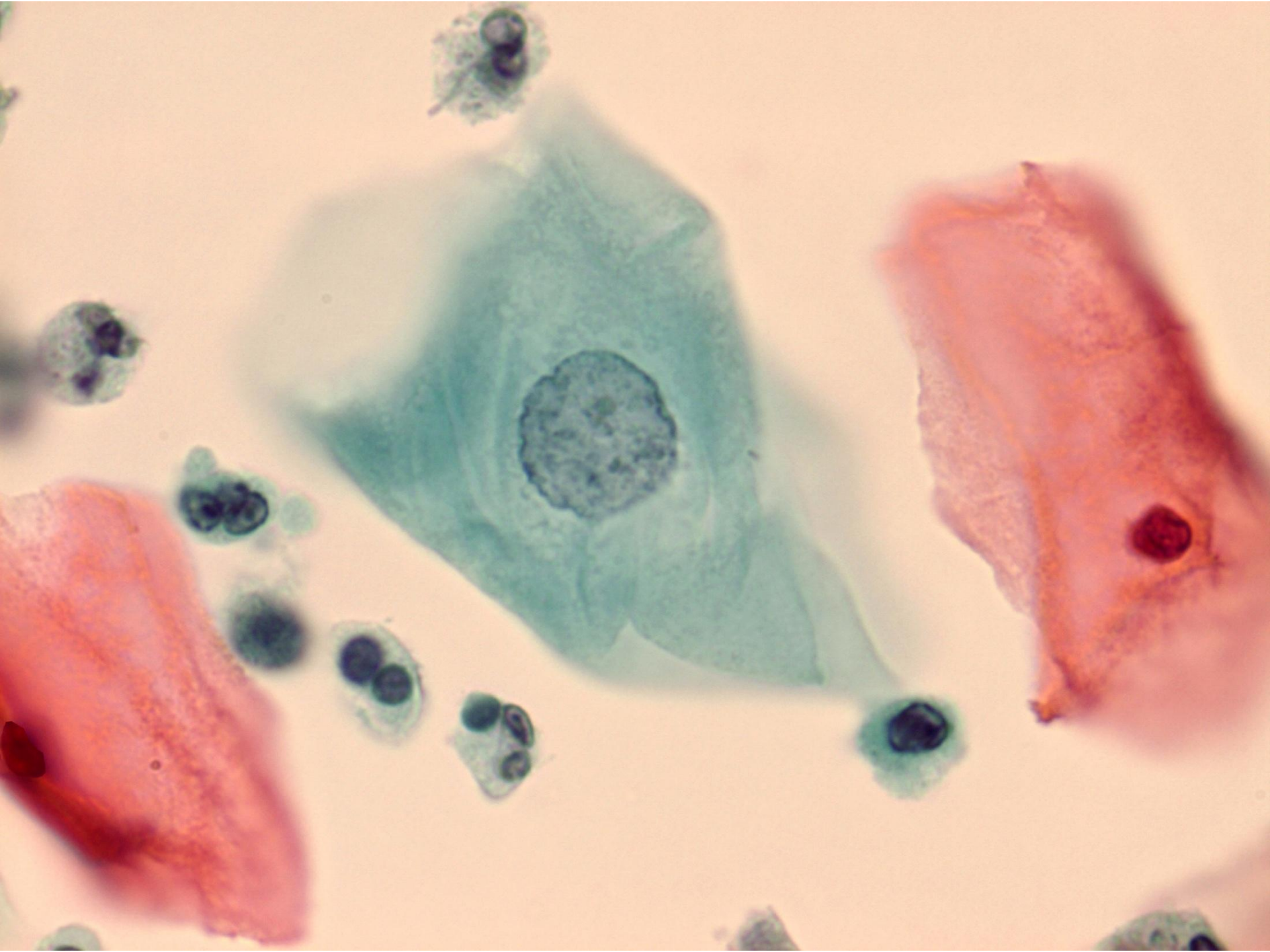
Женщина, 35 лет

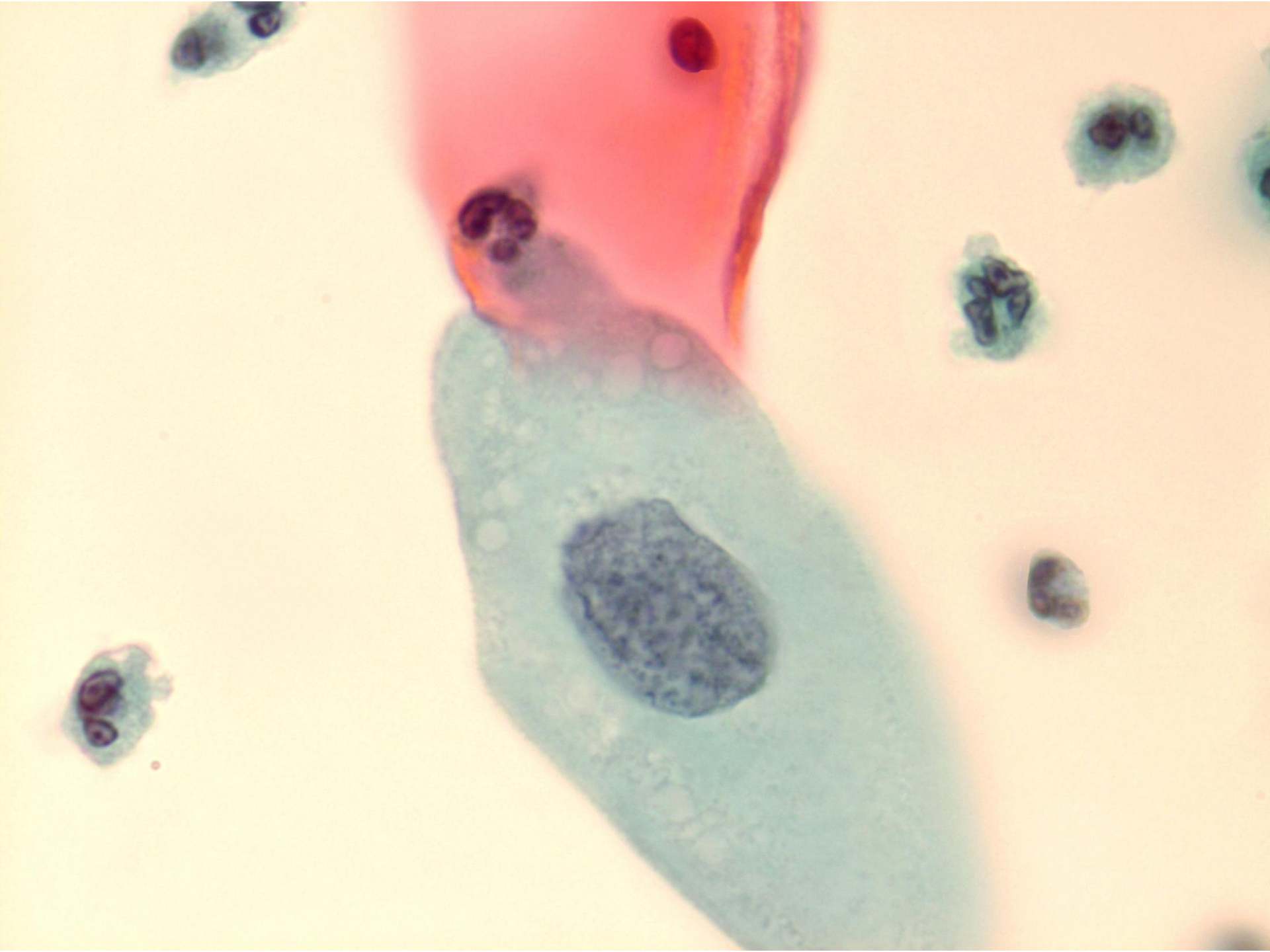
II фаза цикла

Профосмотр









Цитологический диагноз?

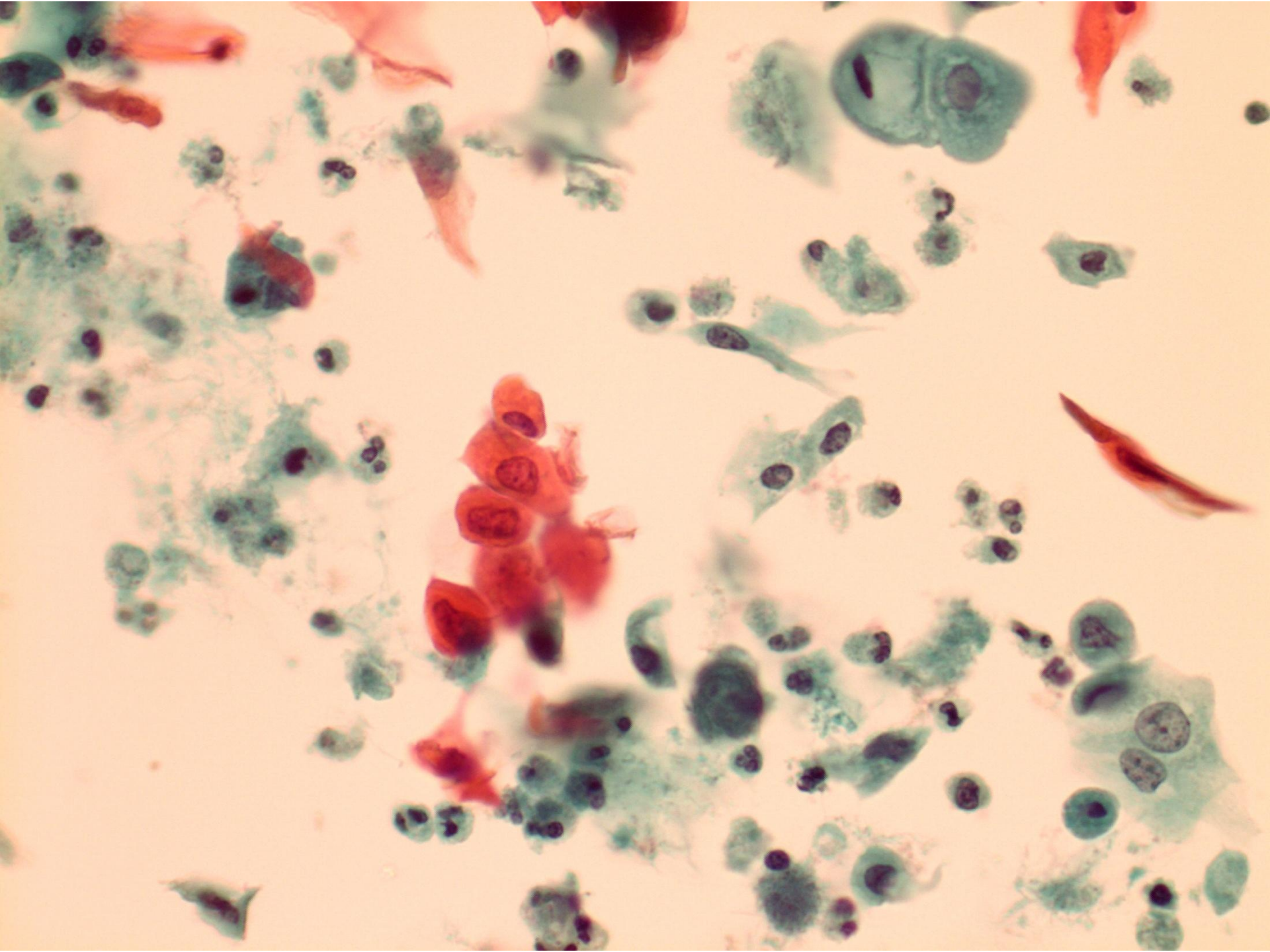
LSIL (CIN I)

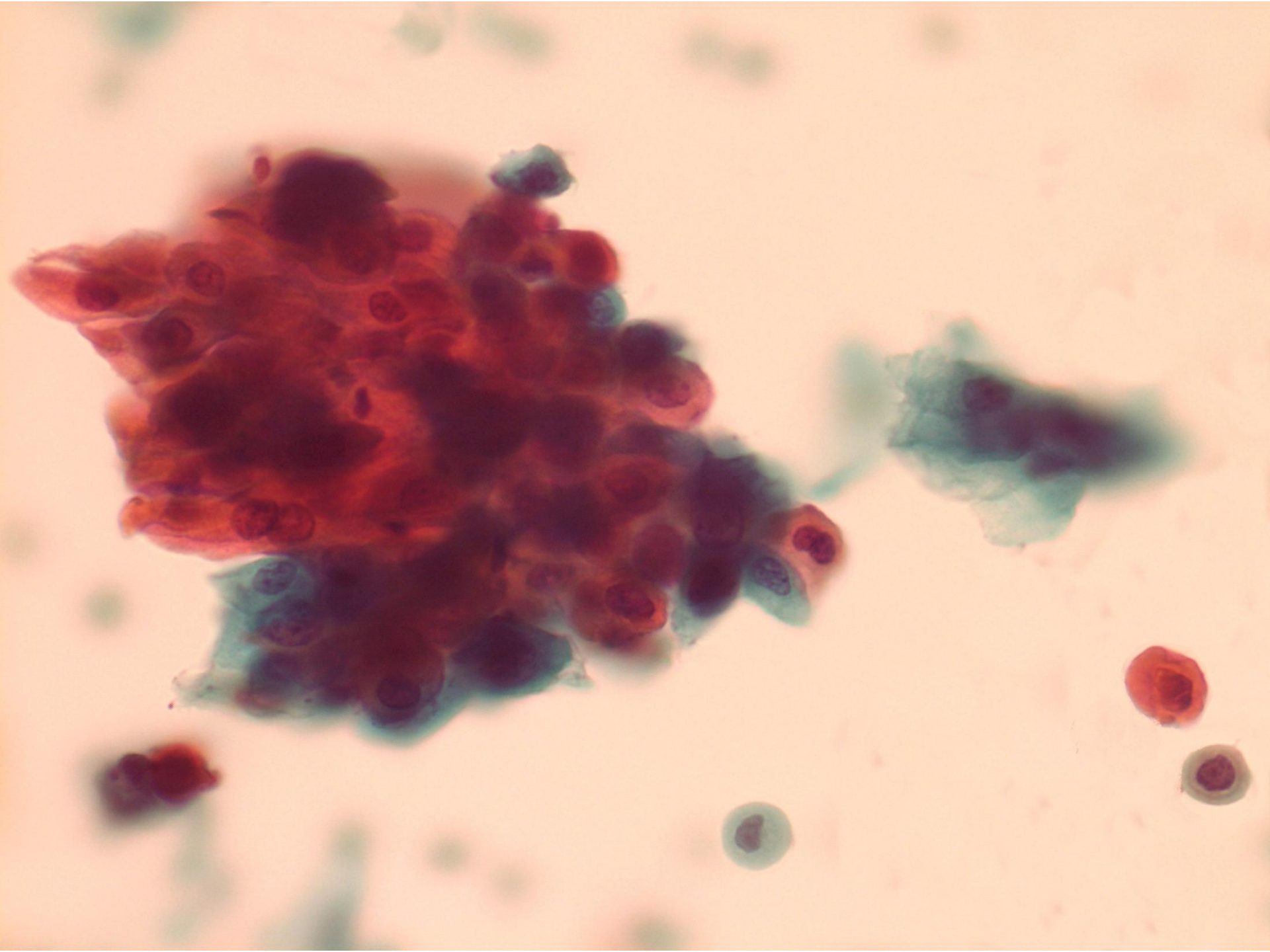
Контрольное задание № 2

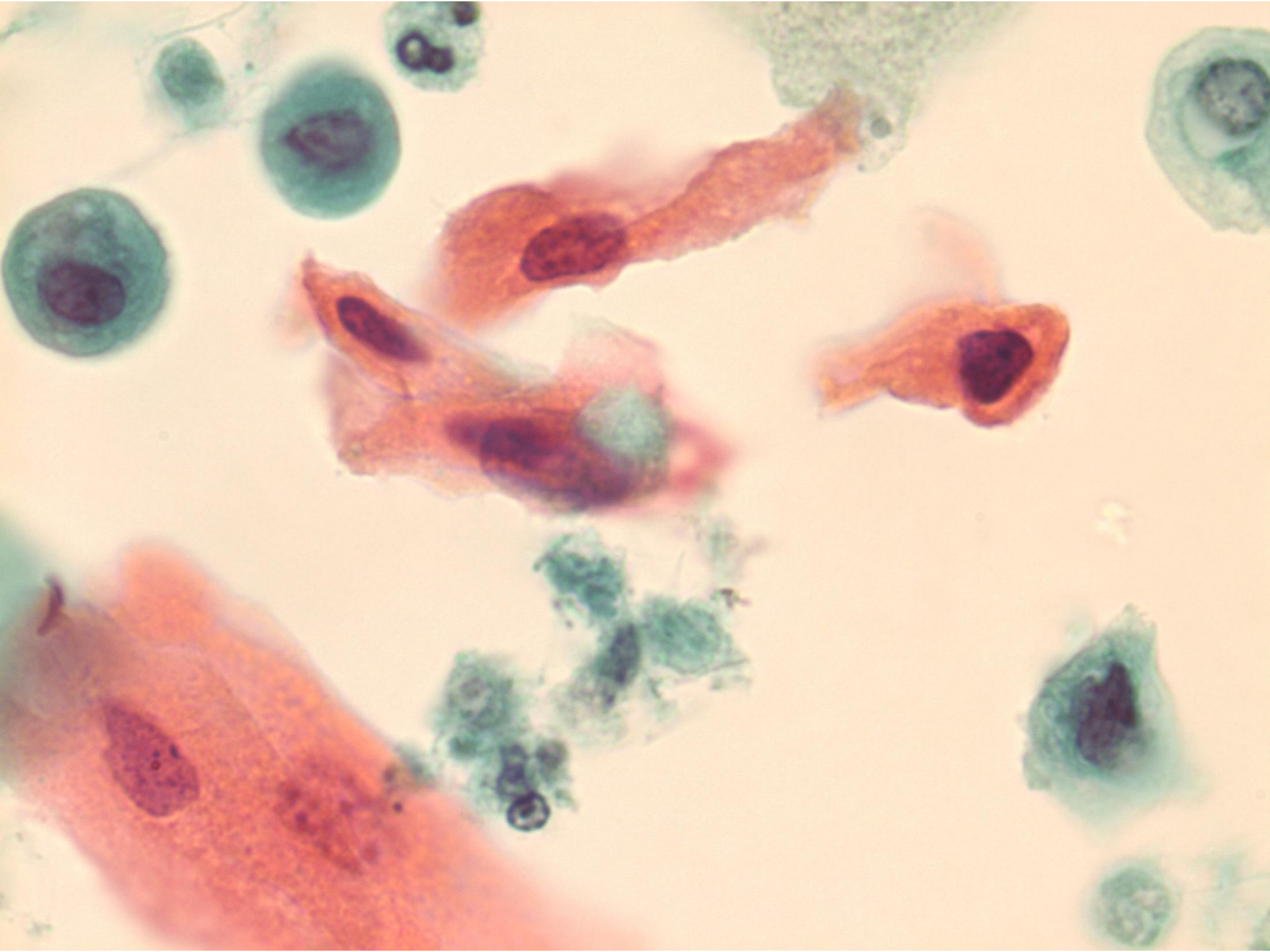
Женщина, 43 года

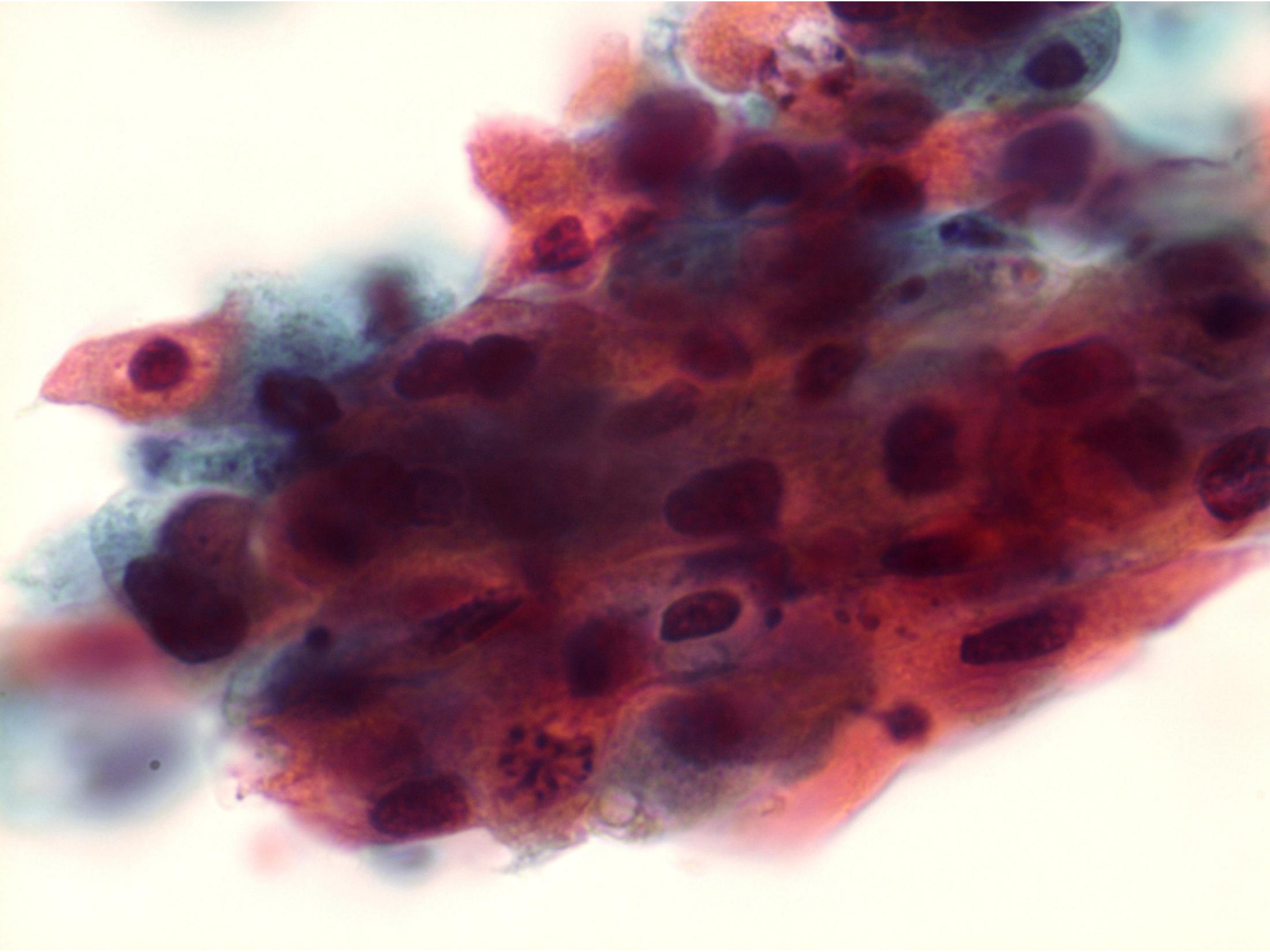
II фаза цикла

Лейкоплакия









Цитологический диагноз?

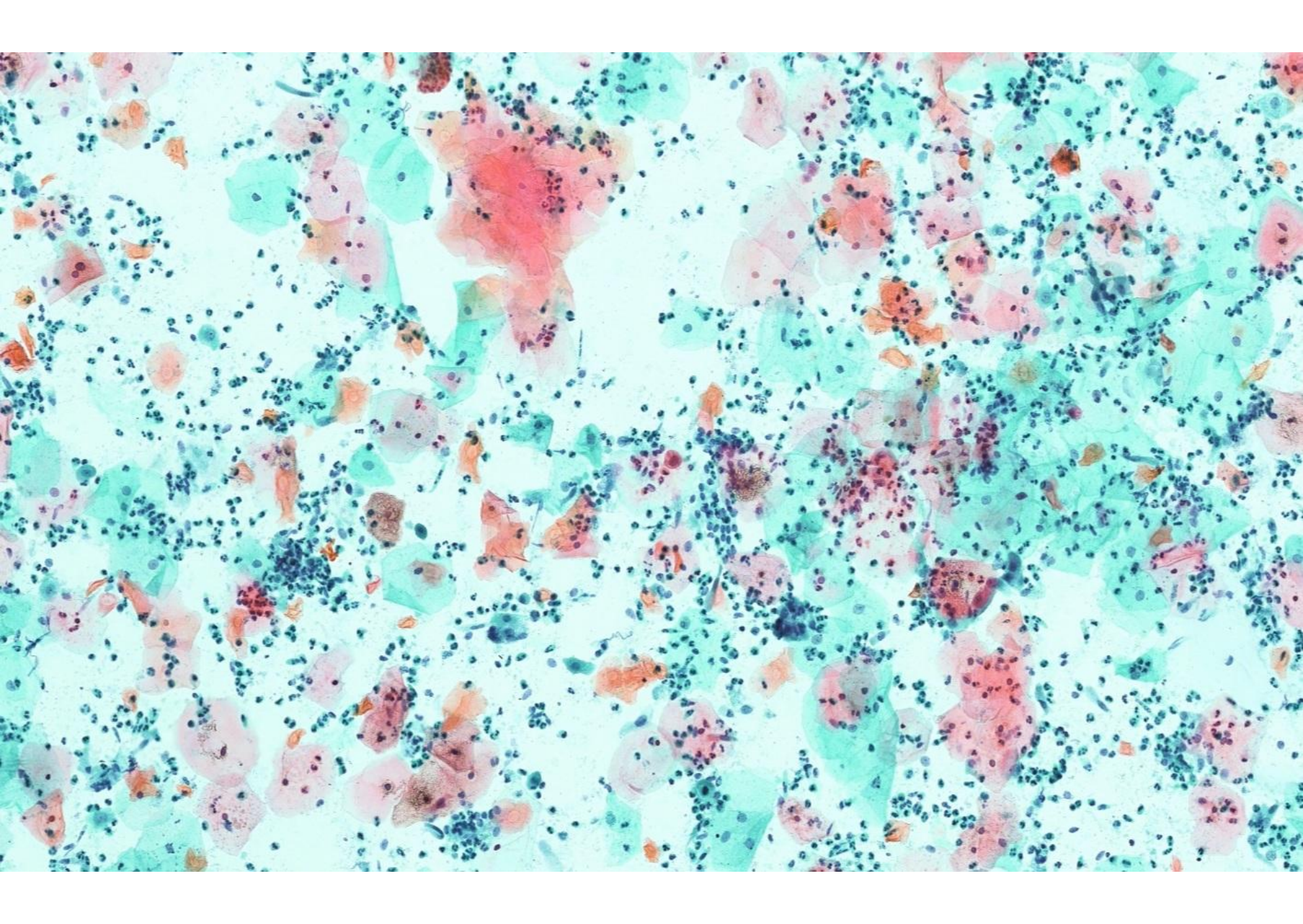
Плоскоклеточный рак с ороговением

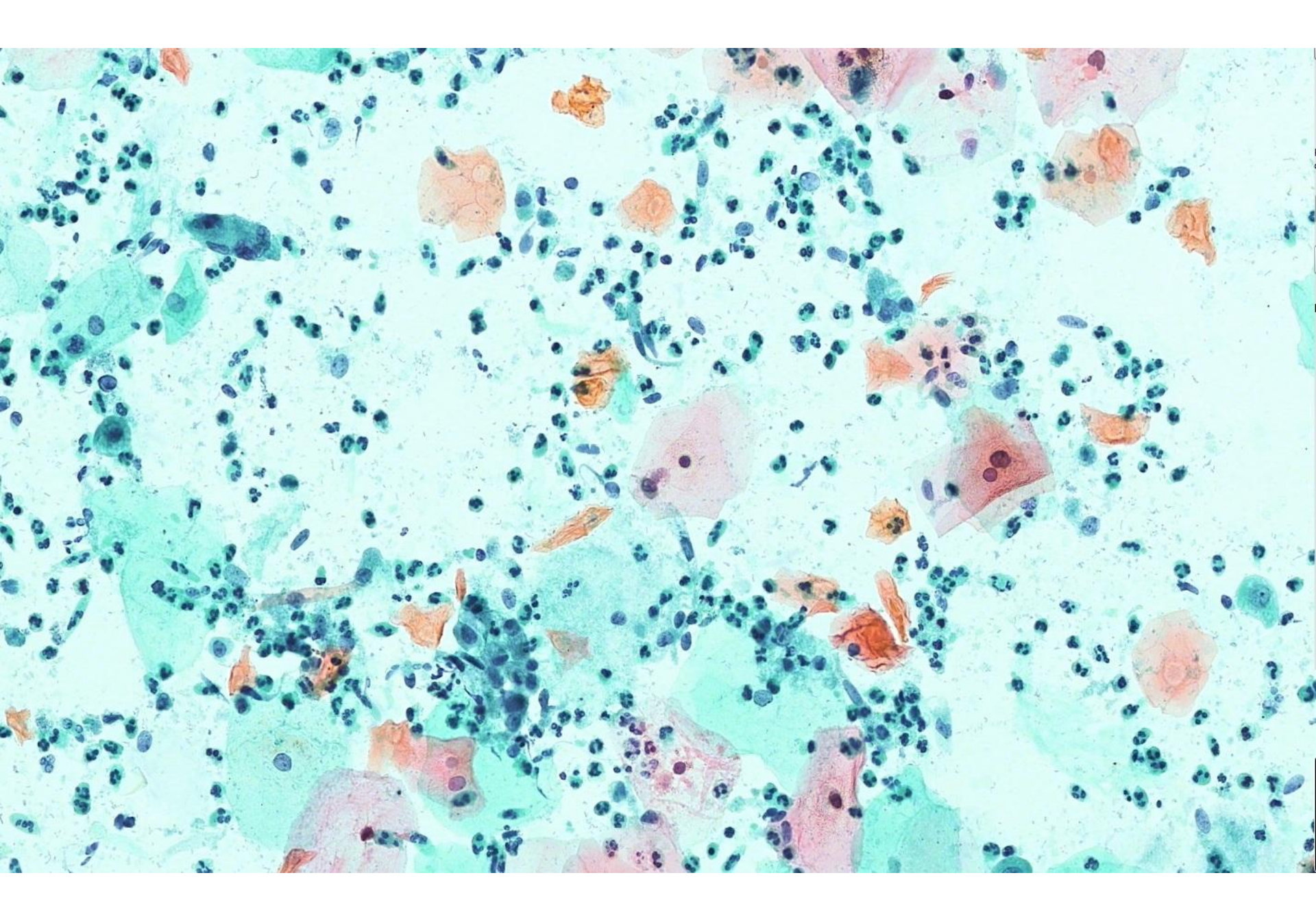
Контрольное задание № 3

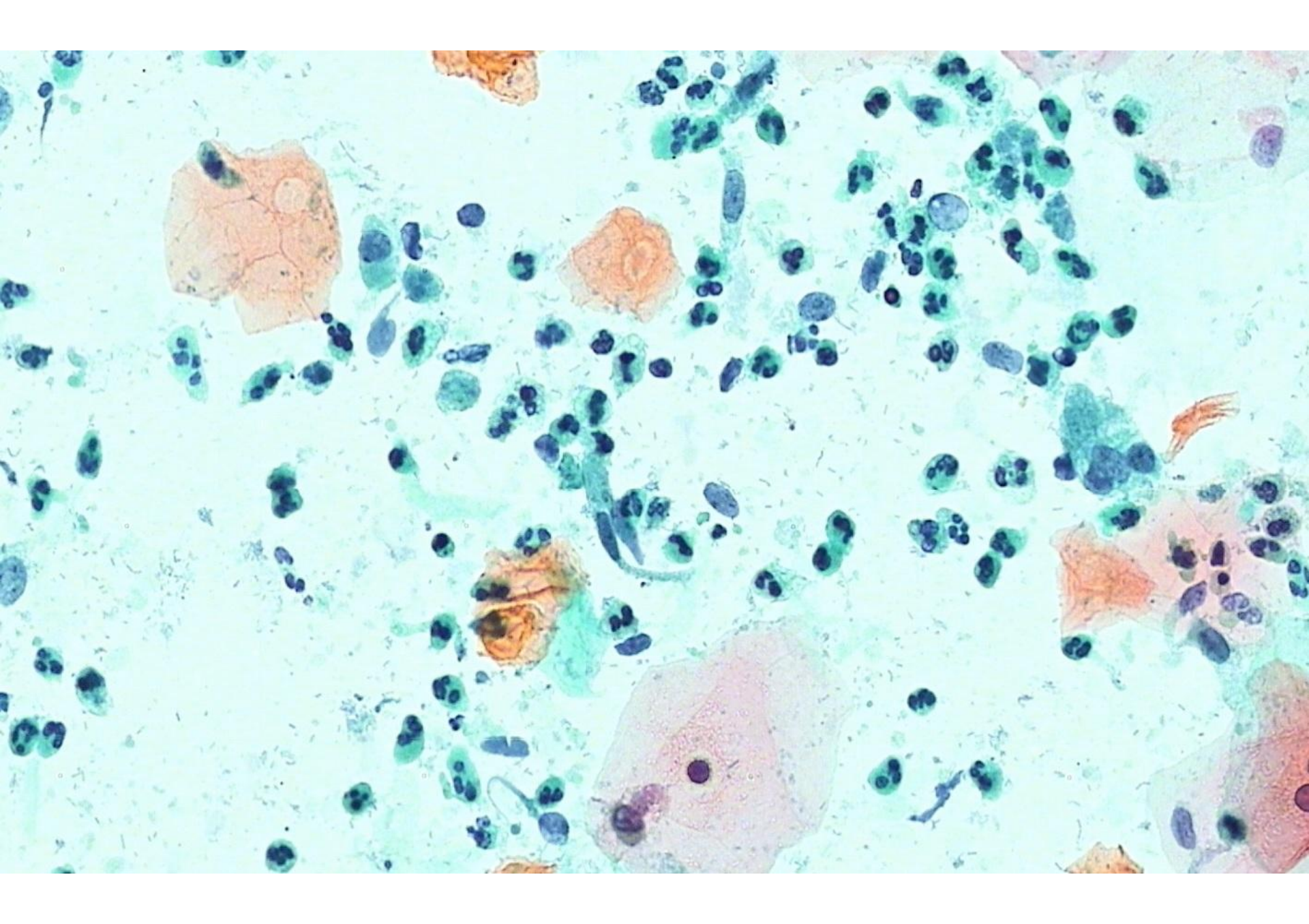
Женщина, 43 года

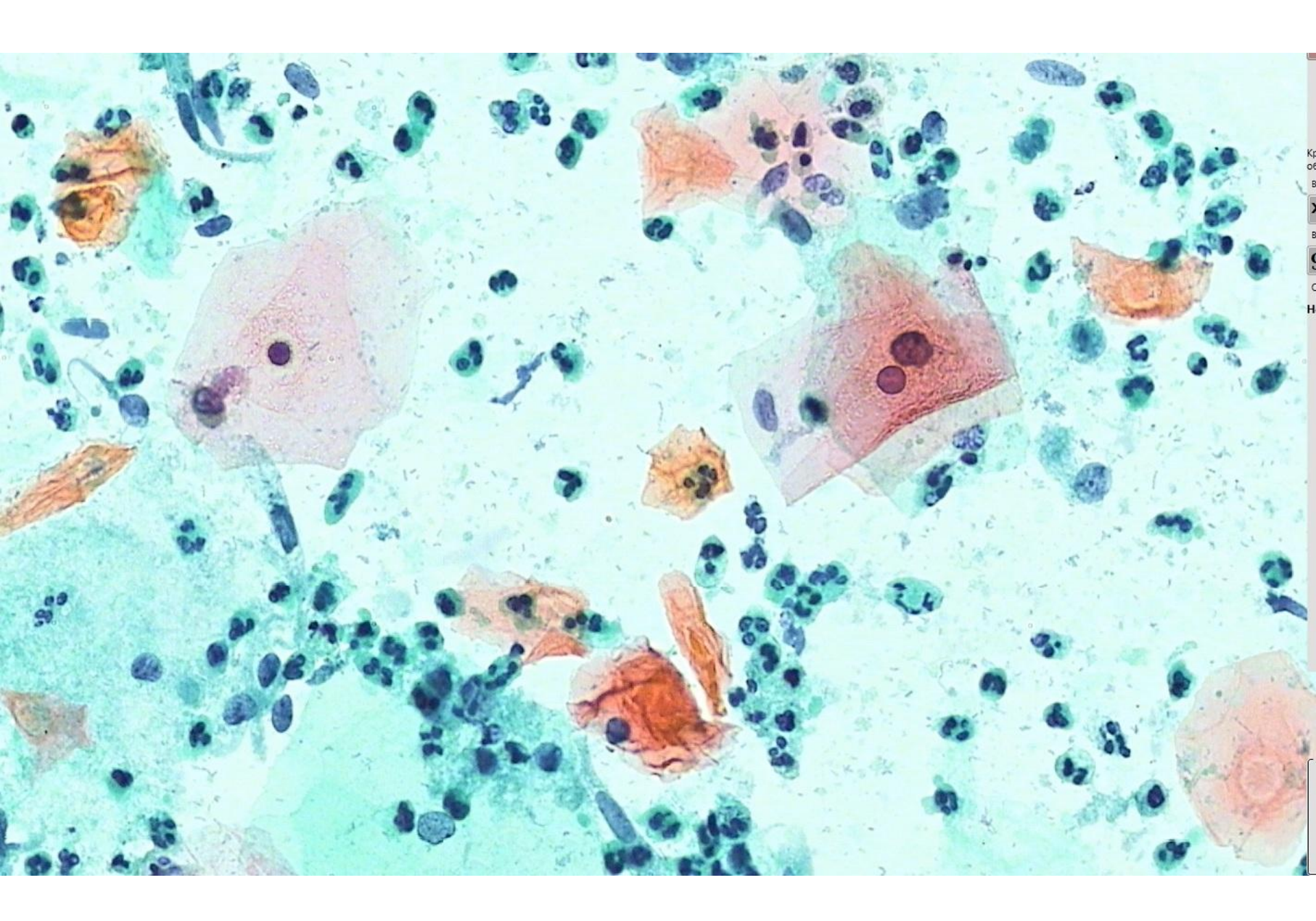
I фаза цикла

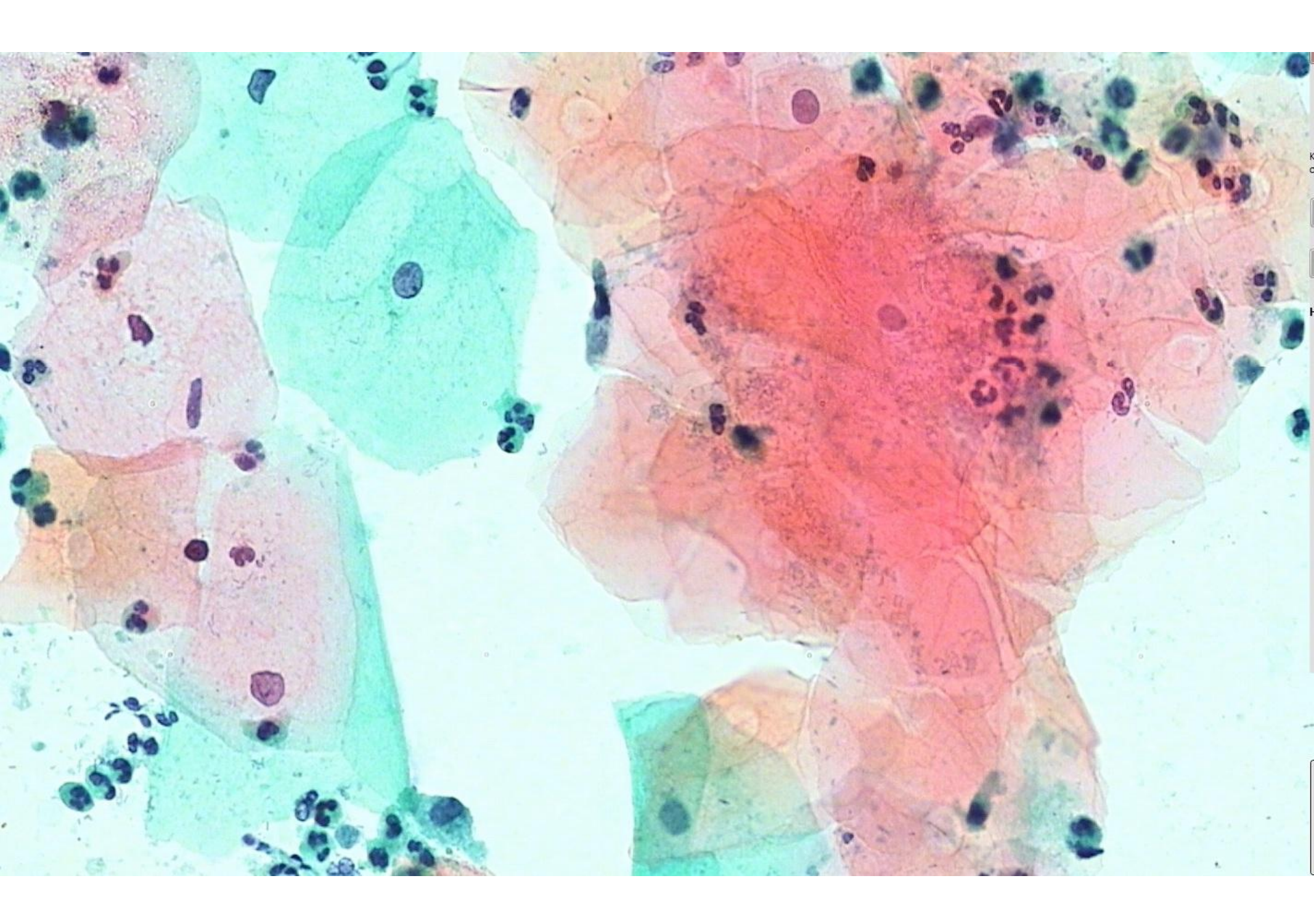
Лейкоплакия











Цитологический диагноз?

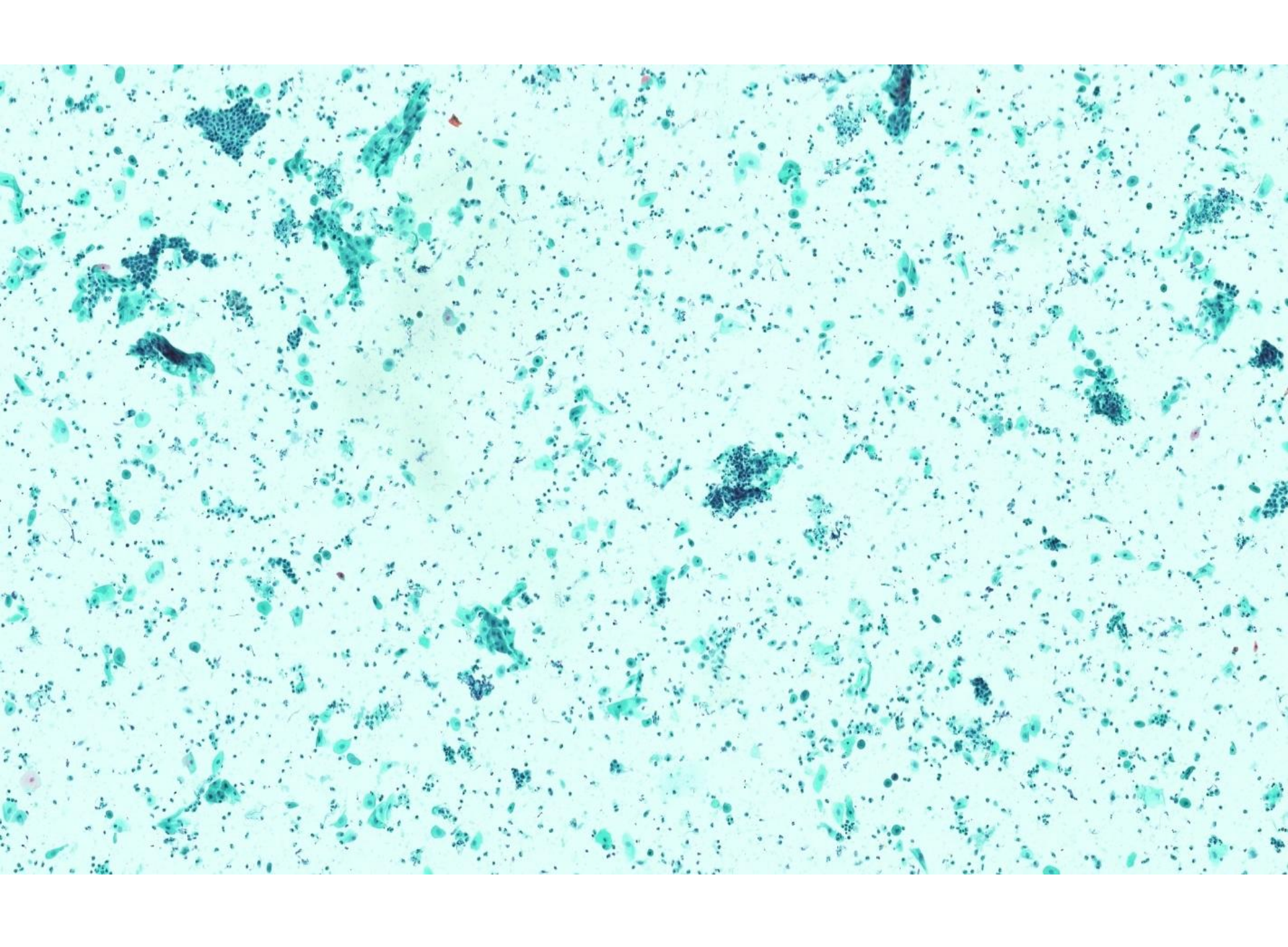
Цитограмма воспаления с явлениями гиперкератоза

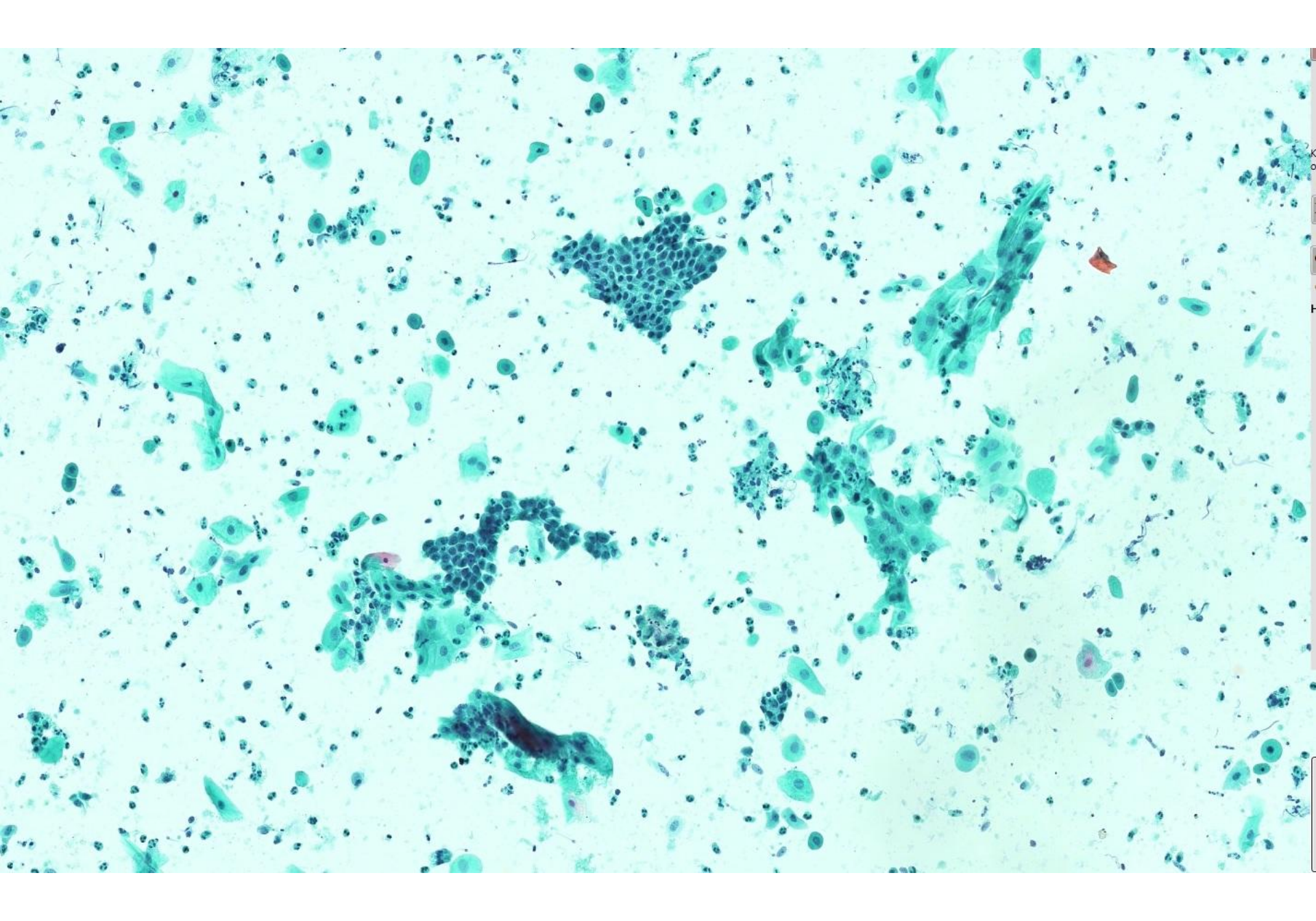
Контрольное задание № 4

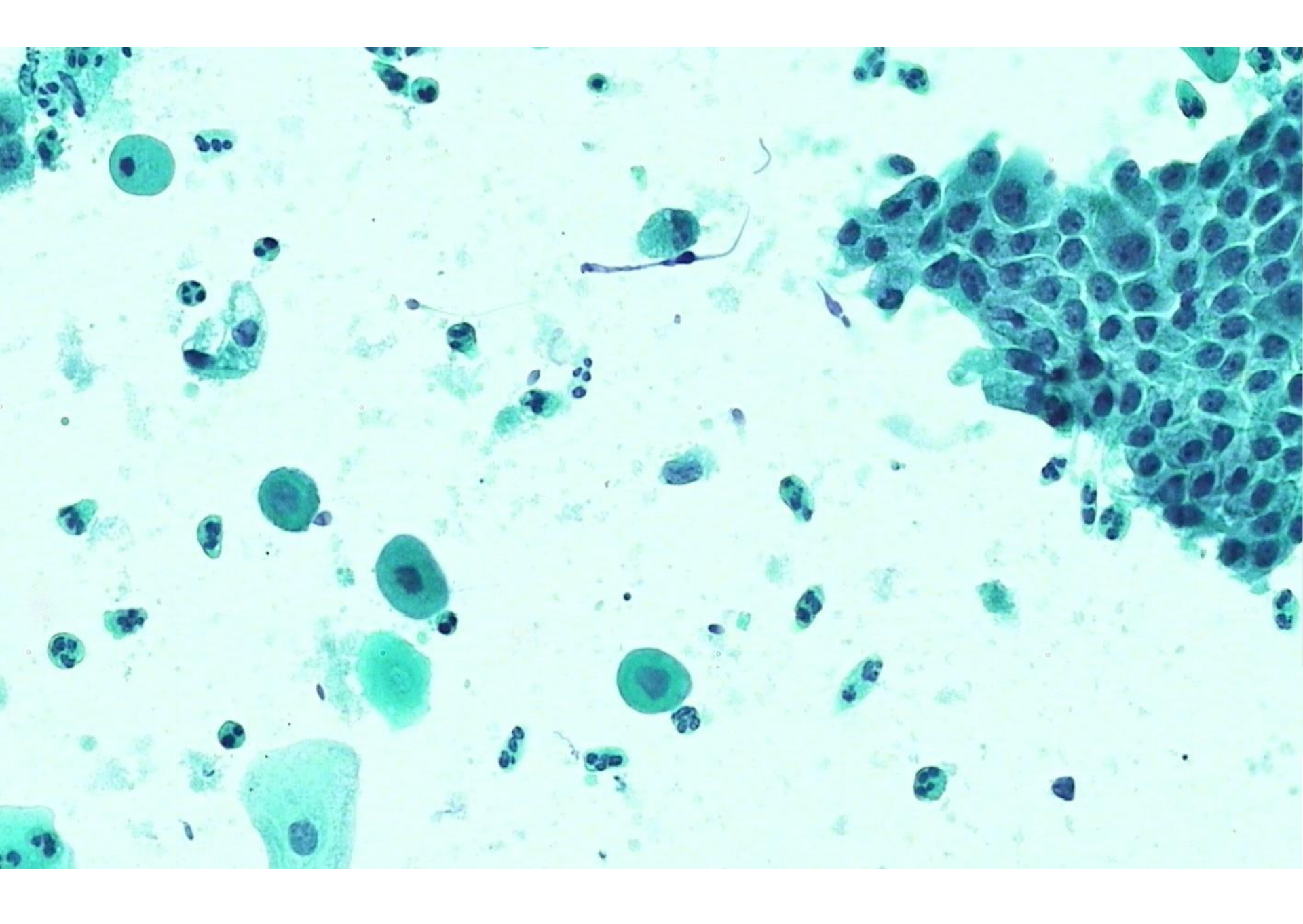
Женщина, 65 лет

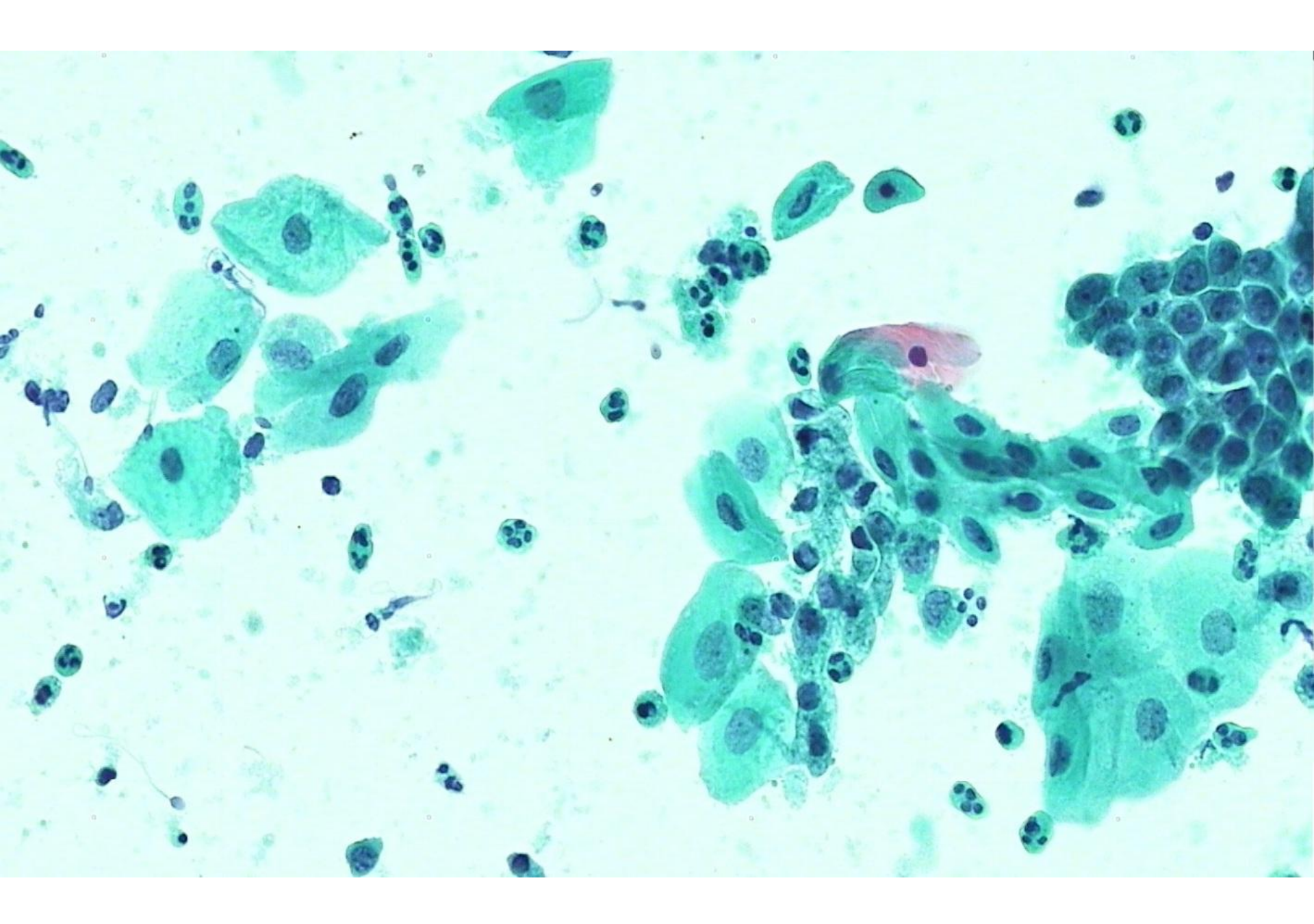
Менопауза

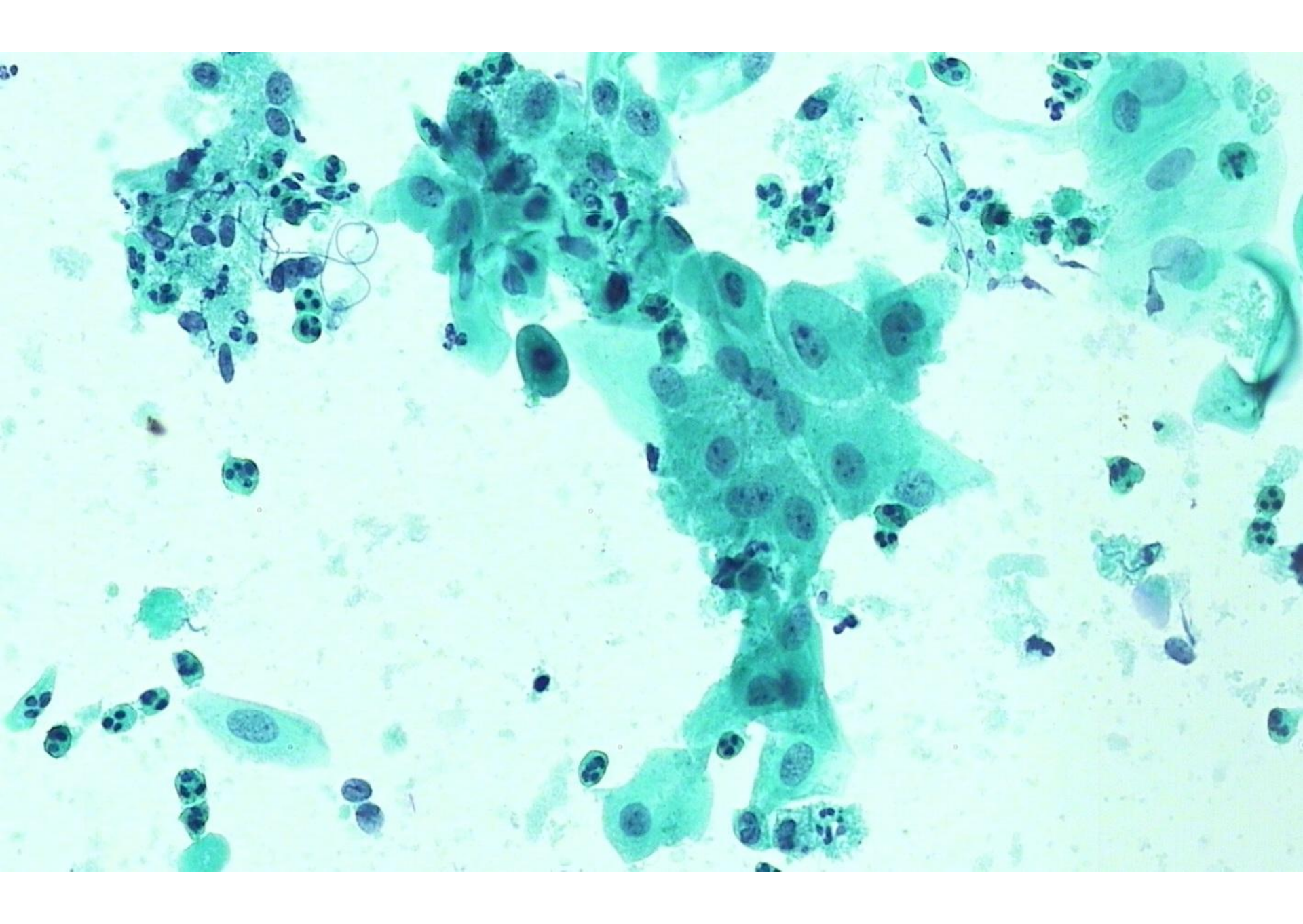
Обследование











Цитологический диагноз?

Эпителий слизистой оболочки атрофического типа